L'AMPLIFICATEUR DIFFERENTIEL



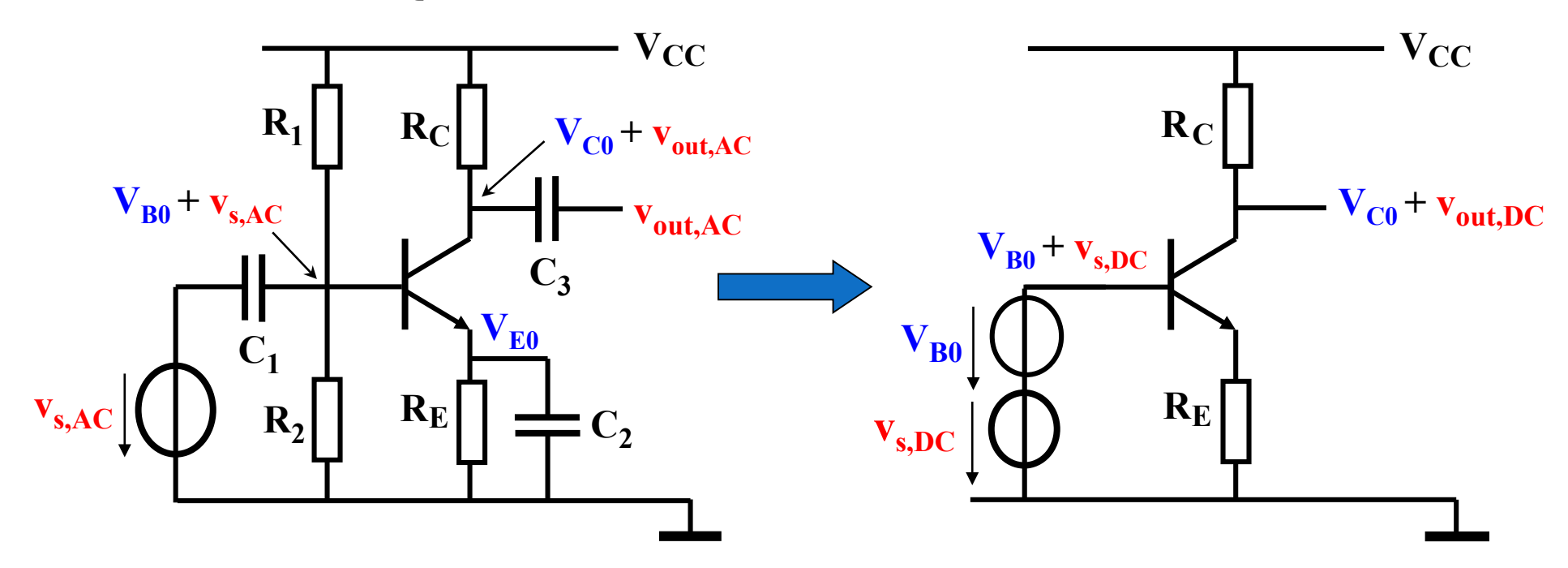
L'AMPLIFICATEUR DIFFERENTIEL

- 1. INTRODUCTION
- 2. SCHÉMA ET PRINCIPE DE FONCTIONNEMENT
- 3. CARACTÉRISTIQUE DE TRANSFERT "GRANDS SIGNAUX"
- 4. COMPORTEMENT "PETITS SIGNAUX« AVEC CHARGES RÉSISTIVES
- 5. AMPLI DIFFÉRENTIEL À CHARGES ACTIVES
- 6. APPLICATION PARTICULIÈRE DE L'AMPLI DIFFÉRENTIEL: LE MULTIPLIEUR ANALOGIQUE

1. INTRODUCTION

1. PROBLÈME DE L'AMPLIFICATION DE PETITS SIGNAUX DC

POLARISATION "CLASSIQUE"



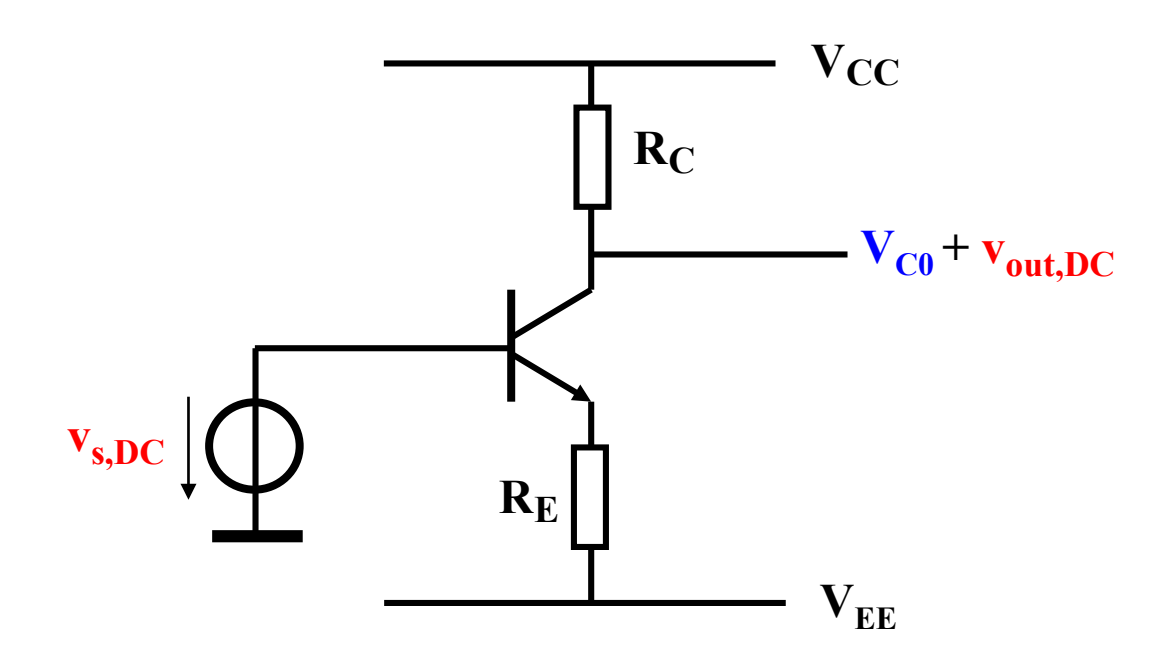
Problèmes:

- 1. polarisation d'entrée inacceptable (flottante et ultra-précise)
- 2. sensible à la température
- 3. gain en tension très faible-> R_C/R_E

1. INTRODUCTION

1. PROBLÈME DE L'AMPLIFICATION DE PETITS SIGNAUX DC

POLARISATION À 2 SOURCES ?

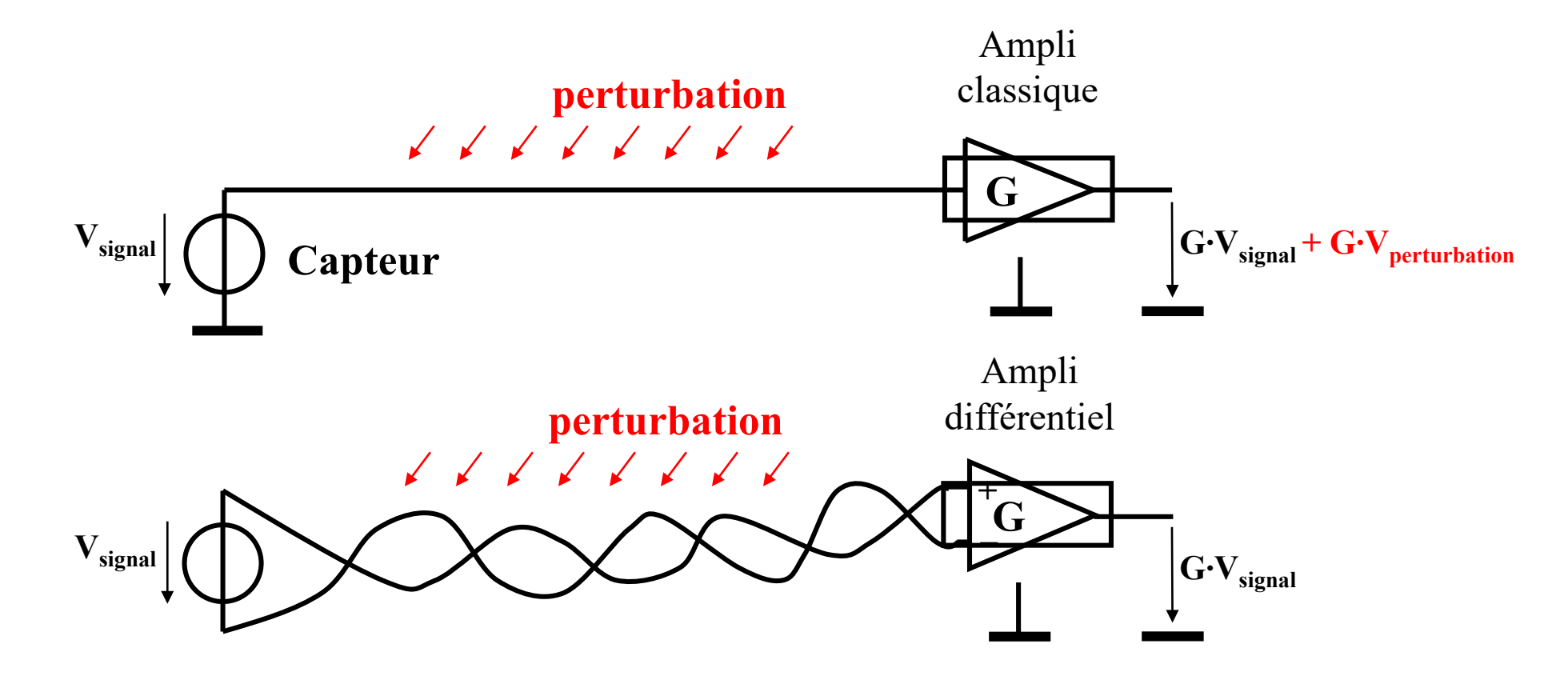


Problèmes:

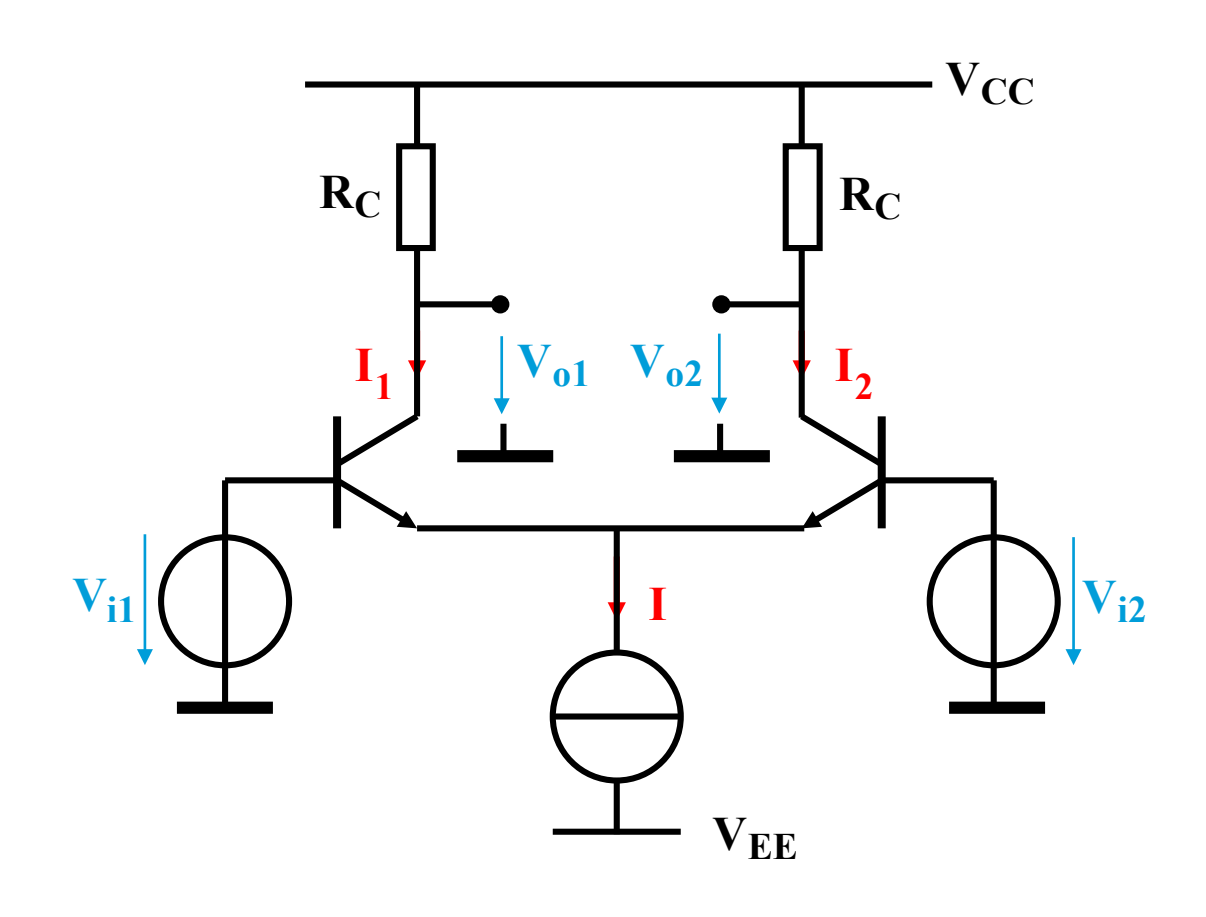
- ullet sensibilité aux variations de l'alimentation ${f V}_{
 m EE}$
- sensibilité à la température
- gain très faible $\rightarrow R_C/R_E$

1. INTRODUCTION

2. AMPLI DIFFÉRENTIEL OU AMPLI À ENTRÉE ASYMETRIQUE ?



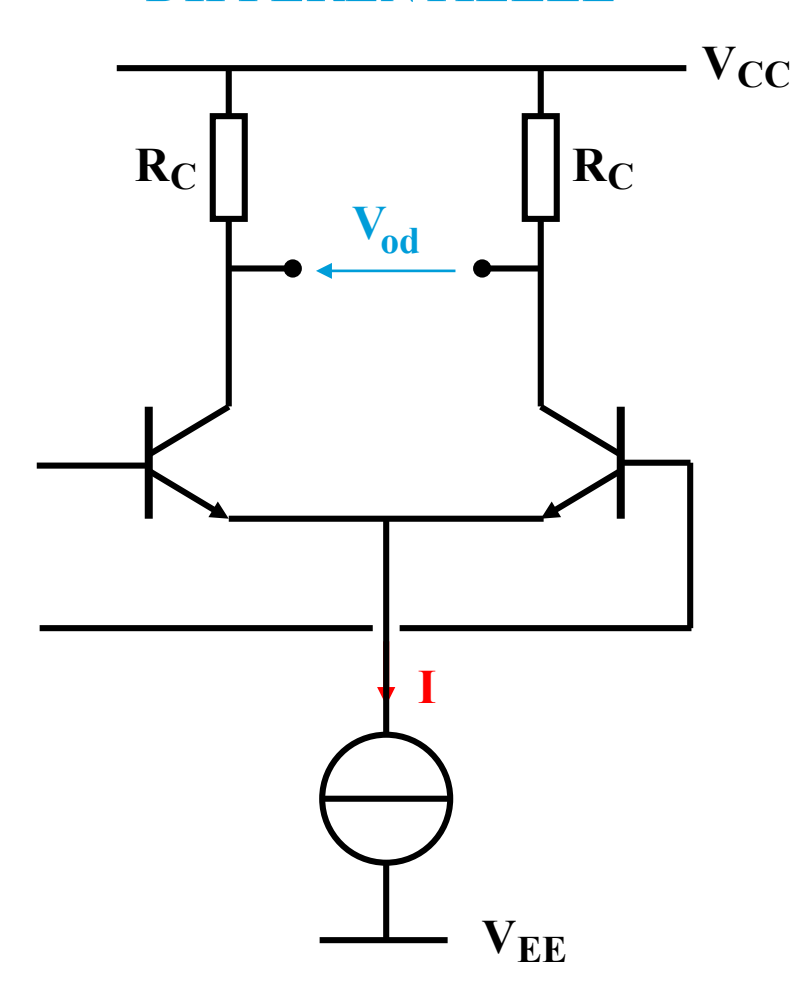
Dans le cas d'un signal différentiel, les perturbations affectent les deux fils de façon identique. Il s'agit d'un signal de "mode commun" qui n'est pas pris en compte par l'ampli différentiel.



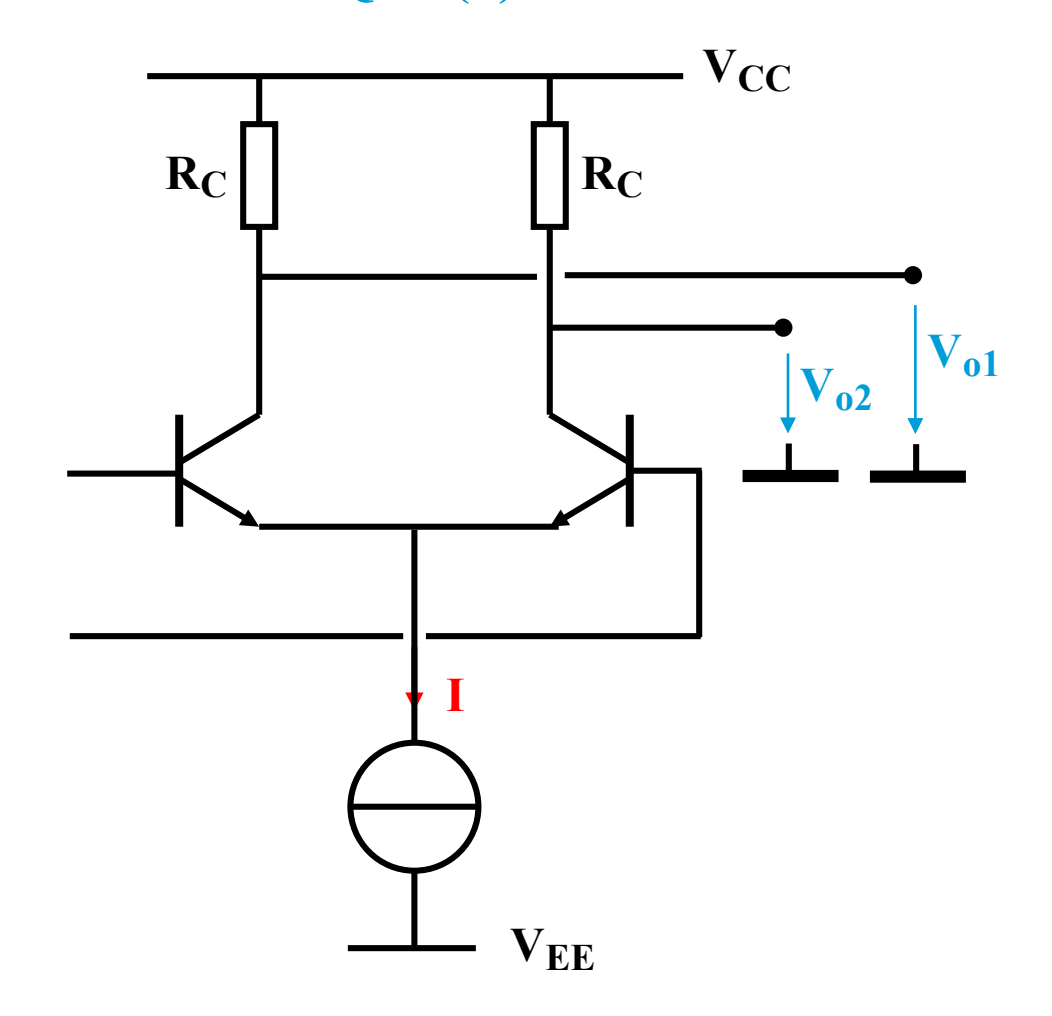
- Symétrie
- Couplage DC
- Amplifie $(V_{i1} V_{i2})$
- Tenue en température
- Techno Bipolaire ou MOS
- $I_1 + I_2 = I$ constant

DEUX MODES DE SORTIE

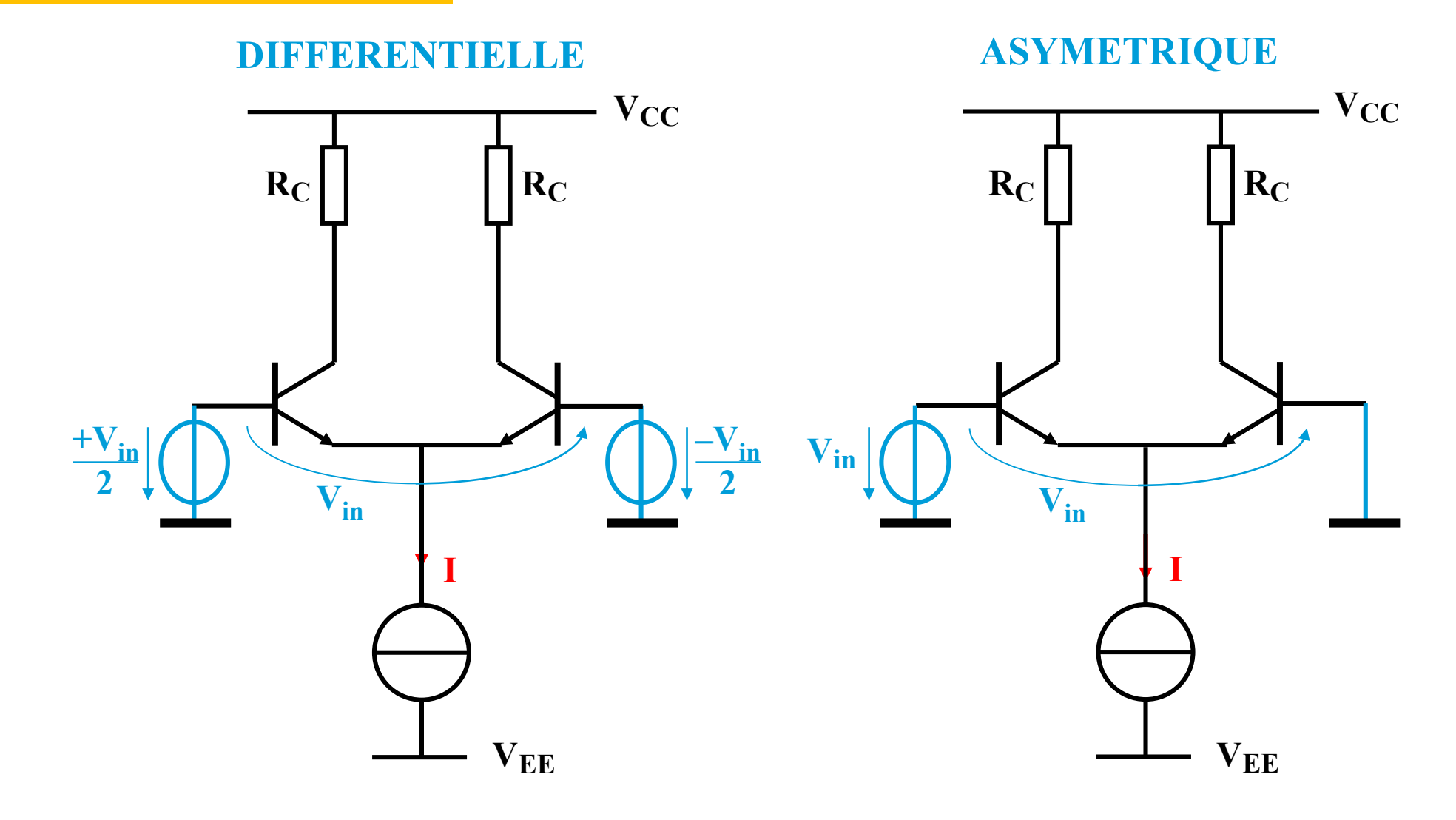
DIFFERENTIELLE



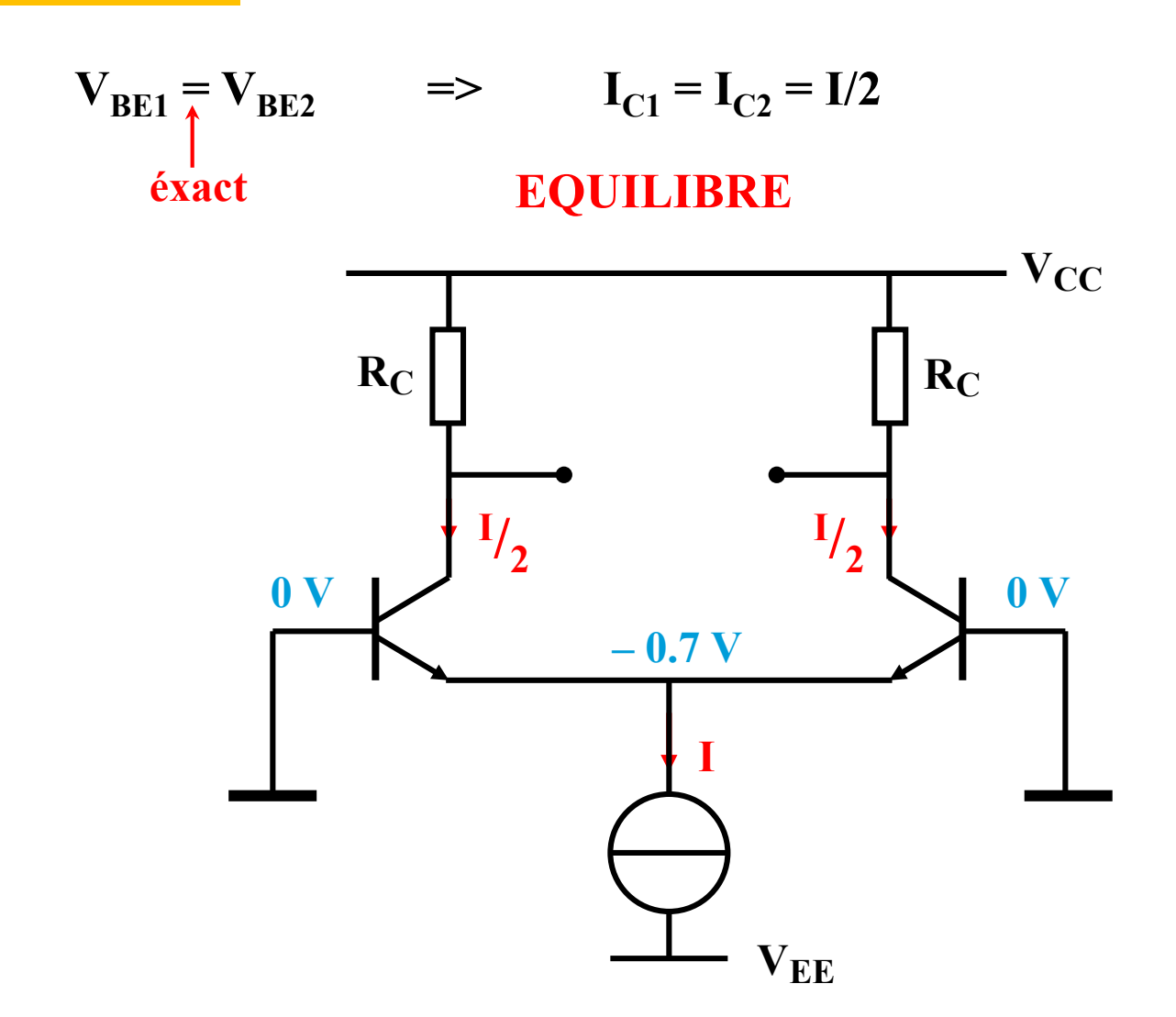
ASYMETRIQUE(S) "SINGLE ENDED"



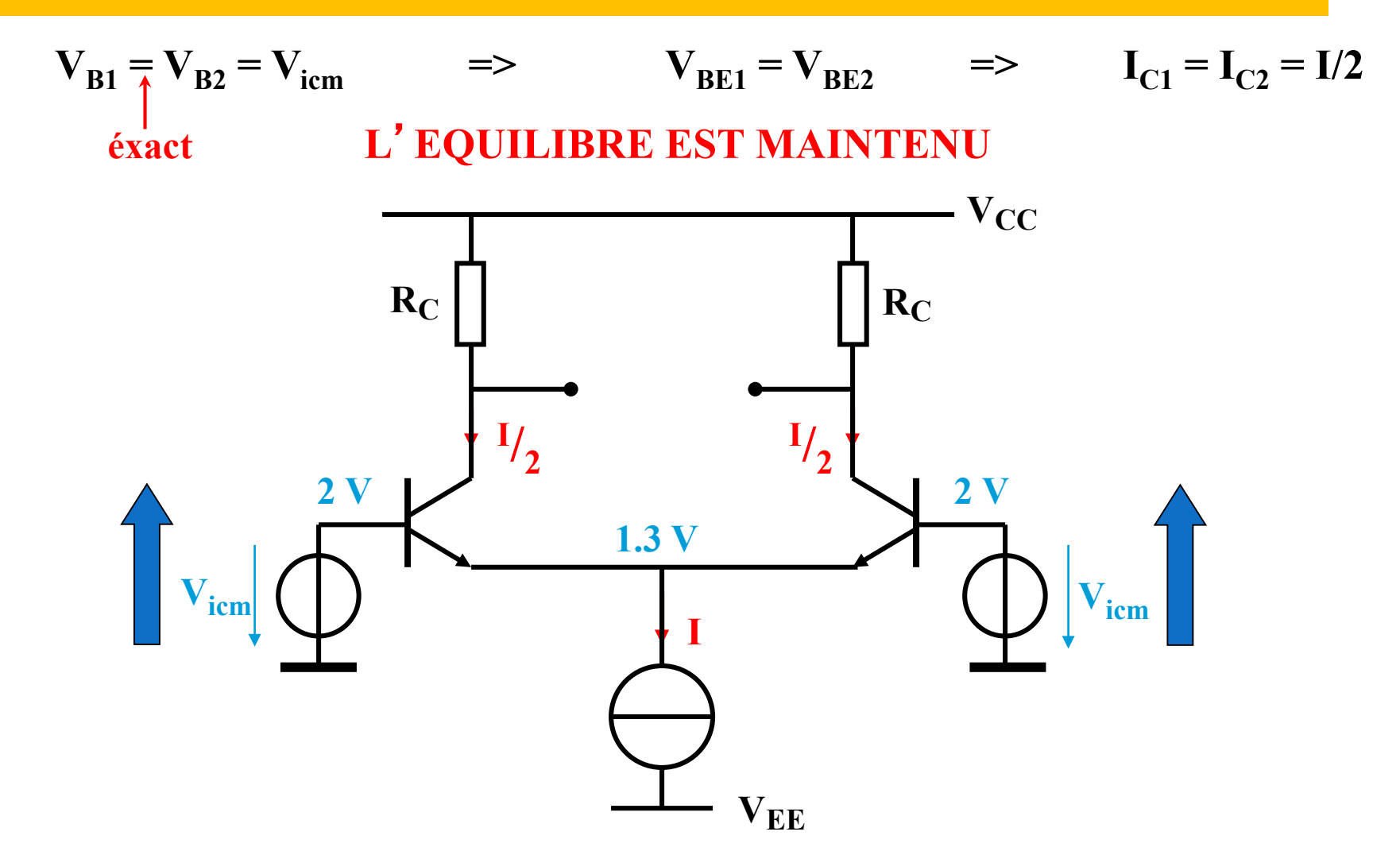
DEUX MODES D'ENTRÉE



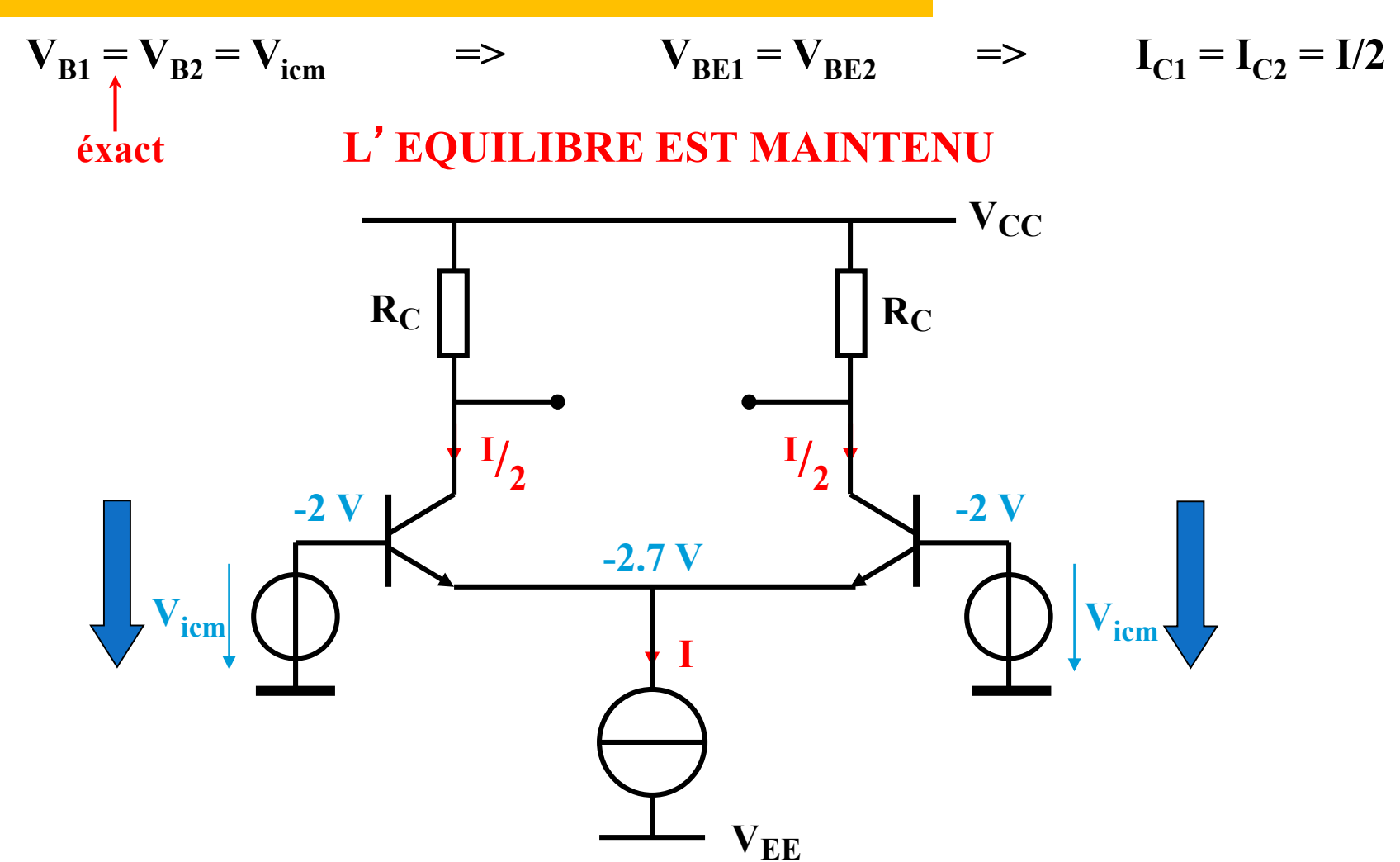
ENTRÉES NULLES:



SIGNAL D'ENTRÉE DIFFÉRENTIEL NUL SIGNAL D'ENTRÉE DE MODE COMMUN NON-NUL:



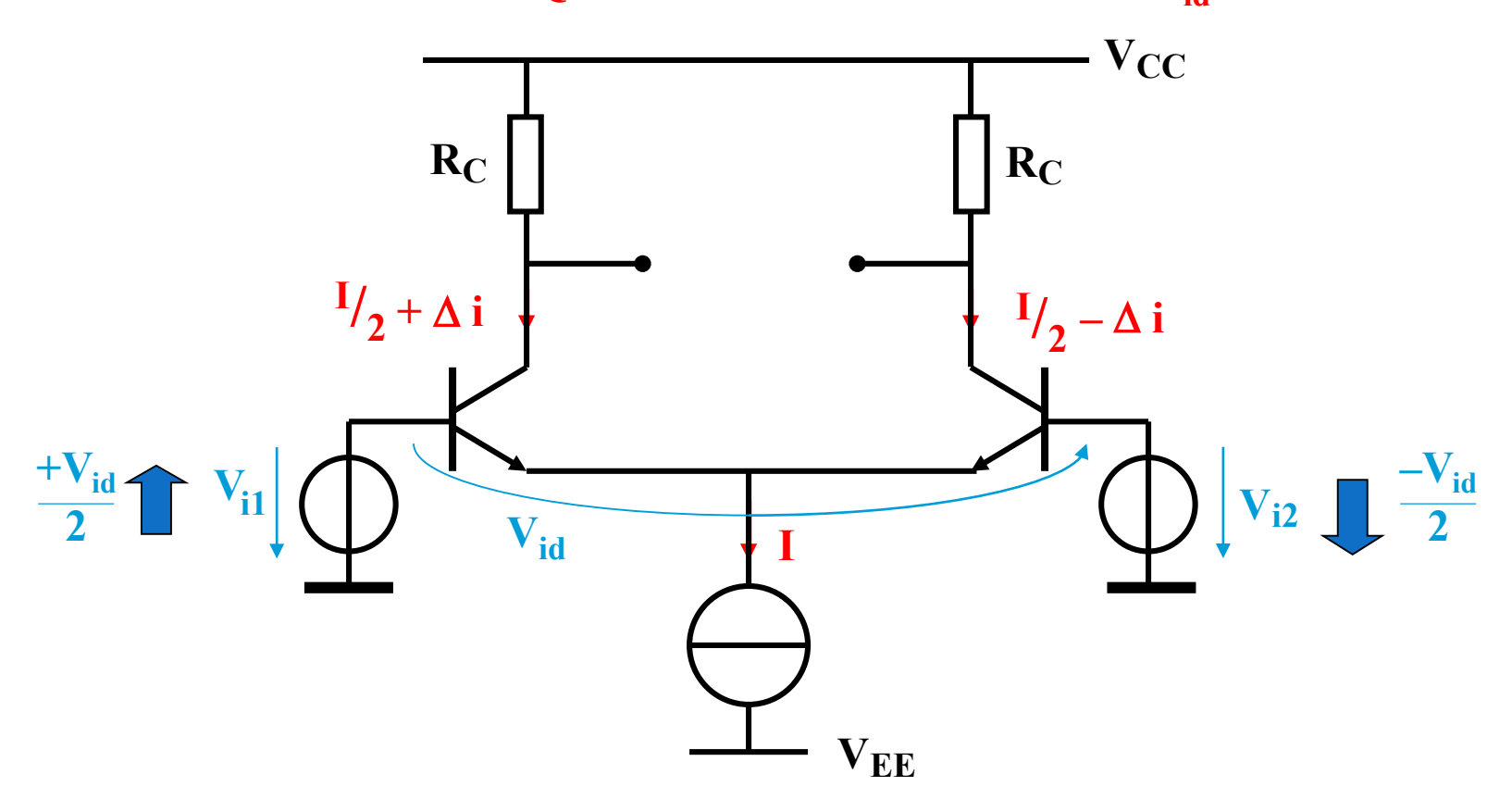
SIGNAL D'ENTRÉE DIFFÉRENTIEL NUL SIGNAL D'ENTRÉE DE MODE COMMUN NON-NUL :



SIGNAL D'ENTRÉE DIFFÉRENTIEL NON-NUL "FAIBLE"

$$V_{i1} - V_{i2} = V_{BE1} - V_{BE2} = V_{id}$$
 => $I_{C1} \neq I_{C2}$ mais: $I_{C1} + I_{C2} = I = cst$

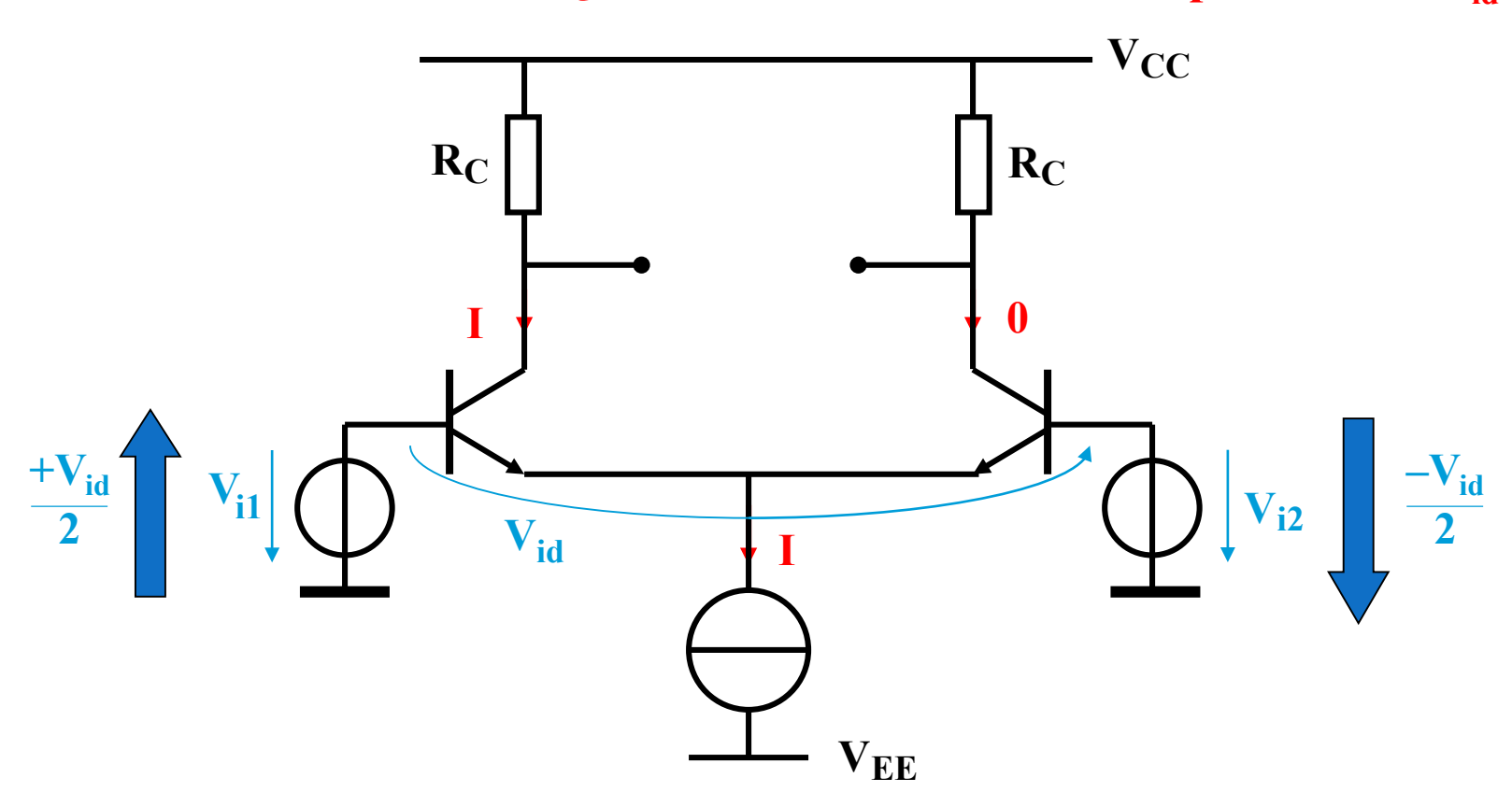
DESEQUILIBRE FONCTION DE Vid



SIGNAL D'ENTRÉE DIFFÉRENTIEL NON-NUL "FORT"

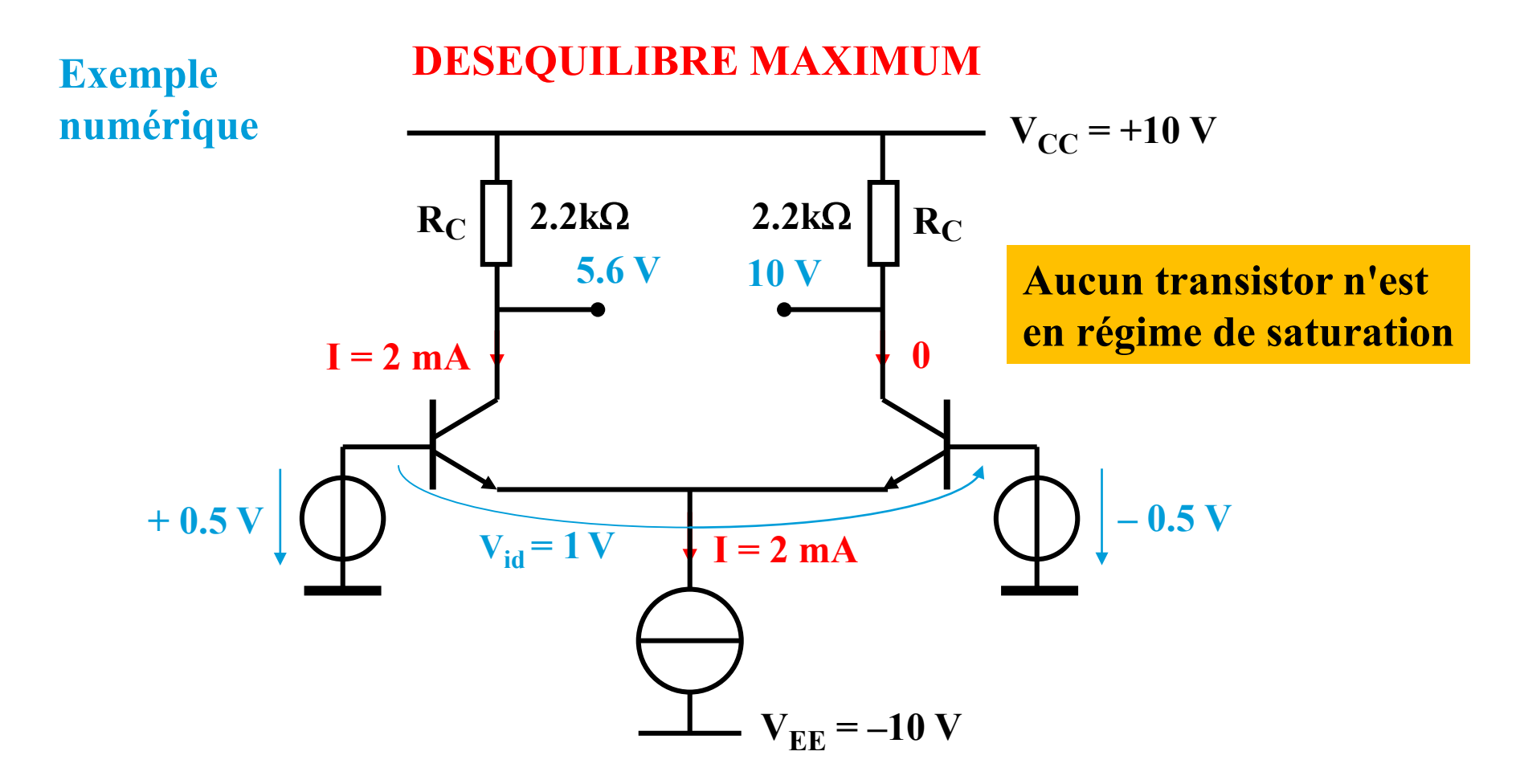
Pour $V_{i1} >> V_{i2}$ la totalité du courant I passe par l'une des deux branches

DESEQUILIBRE MAXIMUM indépendant de Vid



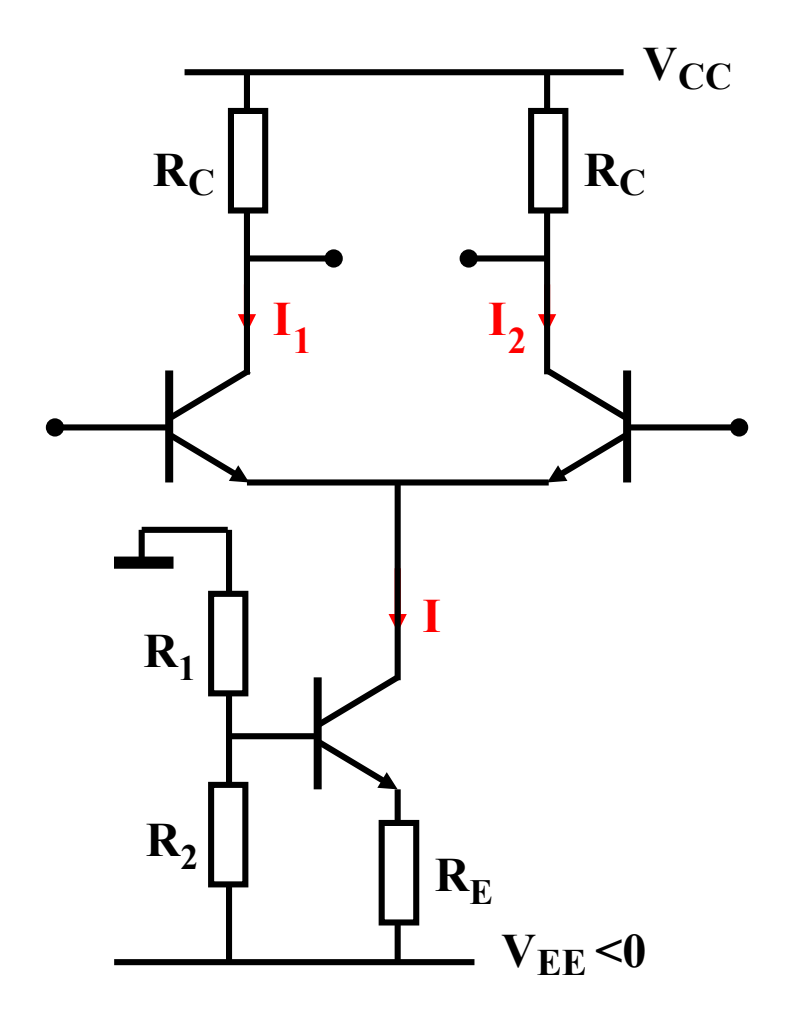
SIGNAL D'ENTRÉE DIFFÉRENTIEL NON-NUL "FORT"

Pour $V_{i1} >> V_{i2}$ la totalité du courant I passe par l'une des deux branches

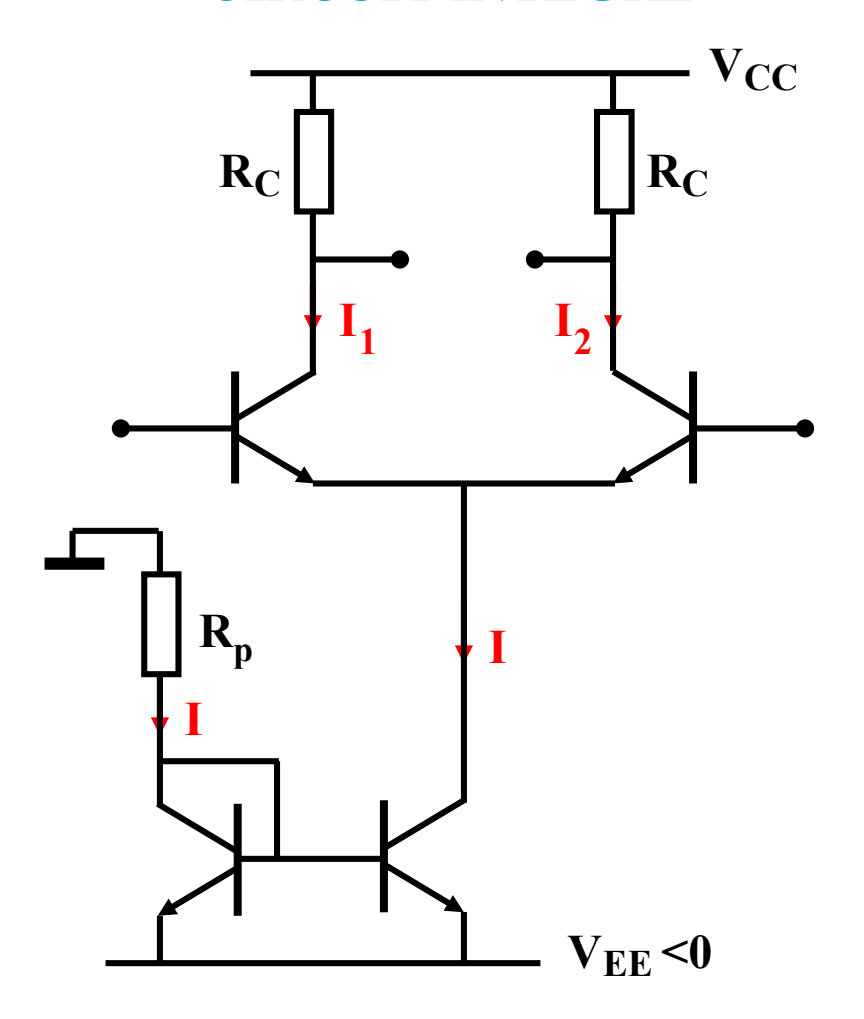


EXEMPLES DE RÉALISATION DE LA SOURCE DE COURANT

ELÉMENTS DISCRETS

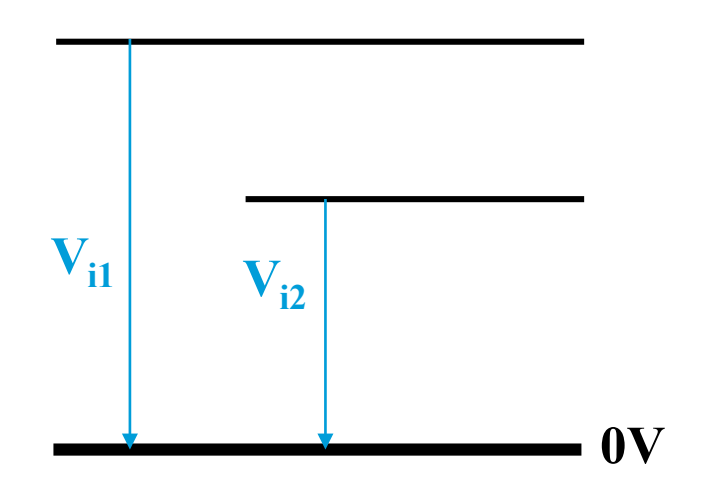


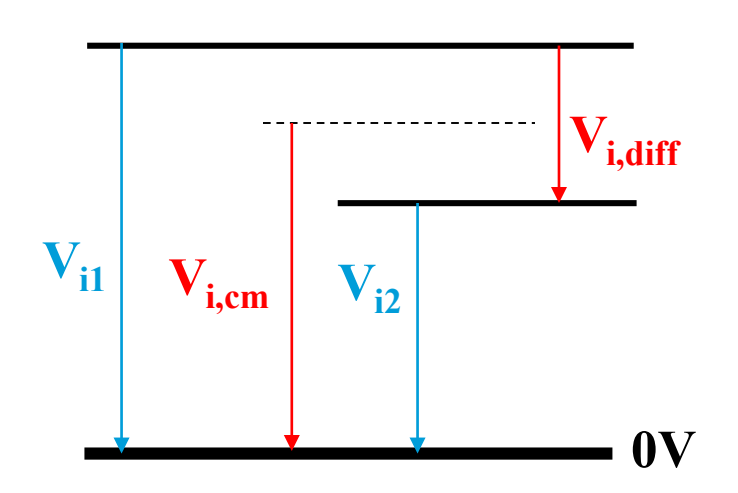
CIRCUIT INTÉGRÉ



SIGNAUX D'ENTRÉE QUELCONQUES

On peut toujours décomposer des signaux d'entrée quelconques en une composante de mode commun et une composante différentielle



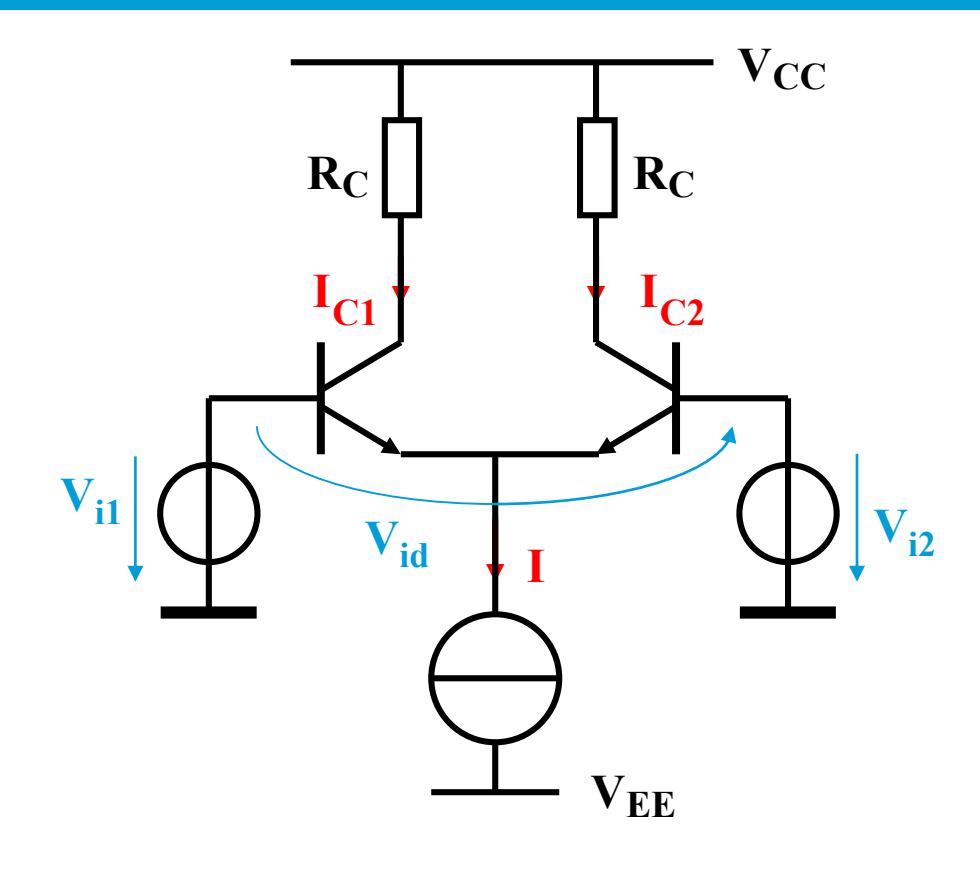


$$V_{i,cm} = \frac{V_{i1} + V_{i2}}{2} \qquad V_{i,diff} = V_{i1} - V_{i2}$$

$$V_{i1} = V_{i,cm} + \frac{V_{i,dif}}{2} \qquad V_{i2} = V_{i,cm} - \frac{V_{i,dif}}{2}$$

FICATEUR DIFFEREN

CARACTÉRISTIQUE DE TRANSFERT "GRANDS SIGNAUX"



$$I_{C1} = I_S \cdot e^{V_{BE1}/U_T} \implies V_{BE1} = U_T \cdot \ln \frac{I_{C1}}{I_S}$$

$$I_{C2} = I_S \cdot e^{V_{BE2}/U_T} \implies V_{BE2} = U_T \cdot ln \frac{I_{C2}}{I_S}$$

$$V_{id} = V_{i1} - V_{i2} = V_{BE1} - V_{BE2} = U_T \cdot ln \frac{I_{C1}}{I_{C2}}$$

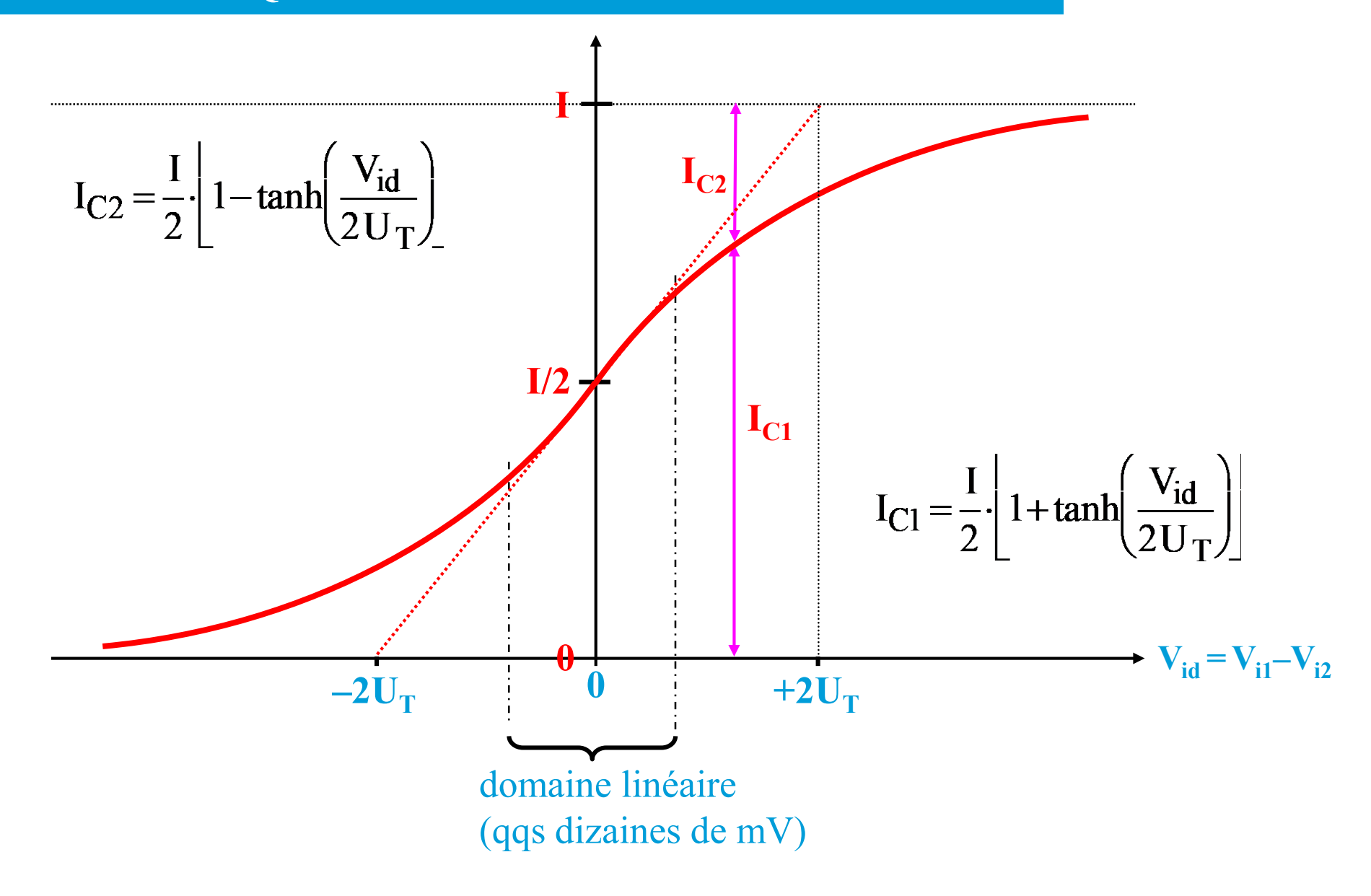
$$I_{C1} + I_{C2} = I$$
 => $\begin{cases} I_{C1} = I/2 + \Delta I \\ I_{C2} = I/2 - \Delta I \end{cases}$

solution:
$$\Delta I = \frac{I}{2} \cdot \tanh(\frac{V_{id}}{2 \cdot U_{T}})$$

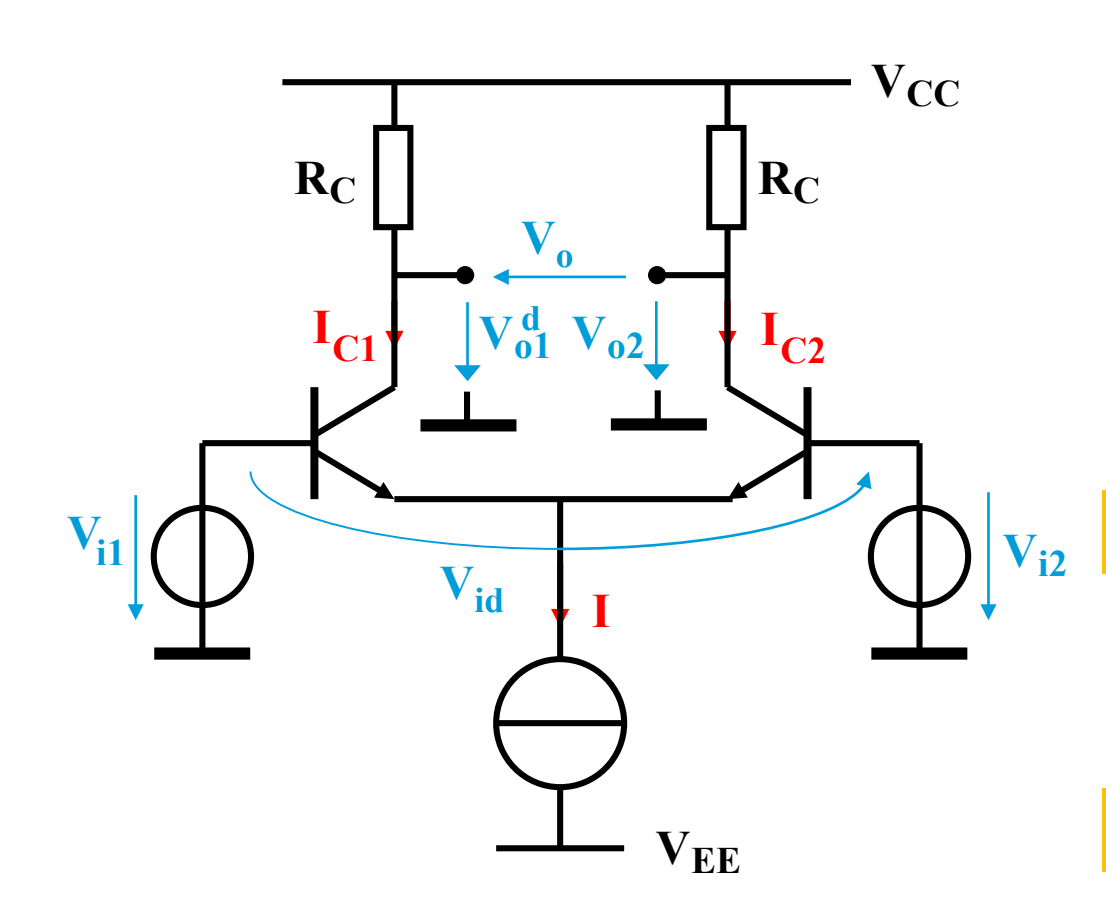
$$I_{C1} = \frac{I}{2} \cdot \left(1 + \tanh\left(\frac{V_{id}}{2 \cdot U_{T}}\right)\right) \qquad I_{C2} = \frac{I}{2} \cdot \left(1 - \tanh\left(\frac{V_{id}}{2 \cdot U_{T}}\right)\right)$$

$$I_{C2} = \frac{I}{2} \cdot \left(1 - \tanh(\frac{V_{id}}{2 \cdot U_{T}})\right)$$

3. L'AMPLIFICATEUR DIFFERENTIEL : CARACTÉRISTIQUE DE TRANSFERT "GRANDS SIGNAUX"



3. L'AMPLIFICATEUR DIFFERENTIEL : CARACTÉRISTIQUE DE TRANSFERT "GRANDS SIGNAUX"



$$I_{C1} = \frac{I}{2} \cdot \left(1 + \tanh\left(\frac{V_{id}}{2 \cdot U_{T}}\right)\right)$$

$$I_{C2} = \frac{I}{2} \cdot \left(1 - \tanh\left(\frac{V_{id}}{2 \cdot U_{T}}\right)\right)$$

$$V_{01} = V_{CC} - I_{C1} \cdot R_C$$

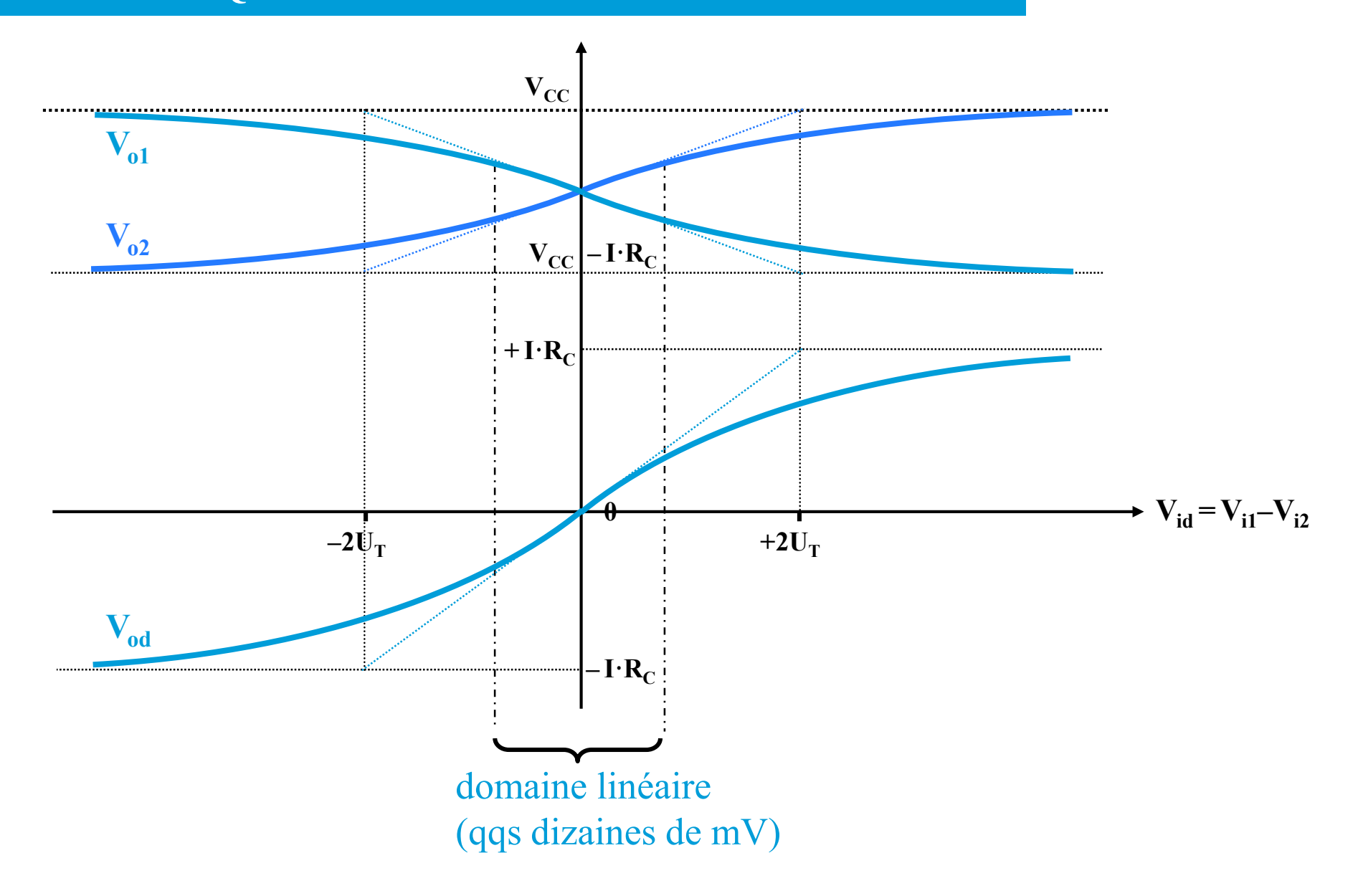
$$V_{o1} = V_{CC} - \frac{I \cdot R_C}{2} - \frac{I \cdot R_C}{2} \cdot \tanh(\frac{V_{id}}{2 \cdot U_T})$$

$$\mathbf{V}_{02} = \mathbf{V}_{CC} - \mathbf{I}_{C2} \cdot \mathbf{R}_{C}$$

$$V_{o2} = V_{CC} - \frac{I \cdot R_C}{2} + \frac{I \cdot R_C}{2} \cdot \tanh(\frac{V_{id}}{2 \cdot U_T})$$

$$V_{od} = V_{o2} - V_{o1} = + I \cdot R_C \cdot \tanh(\frac{V_{id}}{2 \cdot U_T})$$

3. L'AMPLIFICATEUR DIFFERENTIEL : CARACTÉRISTIQUE DE TRANSFERT "GRANDS SIGNAUX"

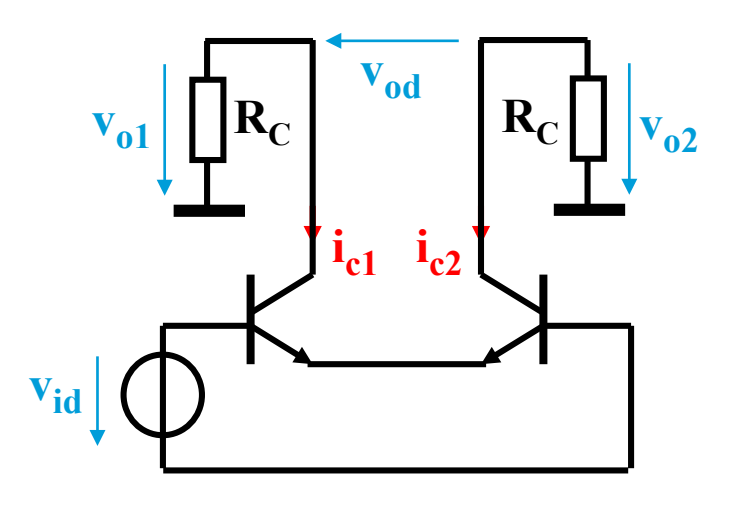


4.1. GAIN EN TENSION DIFFÉRENTIEL A_d

MÉTHODE 1

 $Linéarisation \ (tangente) \ de \ la \ caractéristique \ de \ transfert \ "Grands \ Signaux" \ autour \ de \ l'origine \ V_{id} = 0$

Schéma "petits signaux"



au repos :
$$I_{C1,0} = I_{C2,0} = I/2$$

$$\Rightarrow \mathbf{g}_{m1} = \mathbf{g}_{m2} = \mathbf{g}_{m} = \frac{\mathbf{I}}{2 \cdot \mathbf{U}_{T}}$$

Grands Signaux:
$$V_{od} = + I \cdot R_C \cdot tanh(\frac{V_{id}}{2 \cdot U_T})$$

Pour x petit:
$$tanh(x) = x$$

Petits Signaux:
$$\mathbf{v}_{od} = + \mathbf{I} \cdot \mathbf{R}_{C} \cdot \frac{\mathbf{v}_{id}}{2 \cdot \mathbf{U}_{T}}$$

sortie diff.:
$$A_d = \frac{V_{od}}{V_{id}} = \frac{I}{2 \cdot U_T} \cdot R_C = g_m \cdot R_C$$

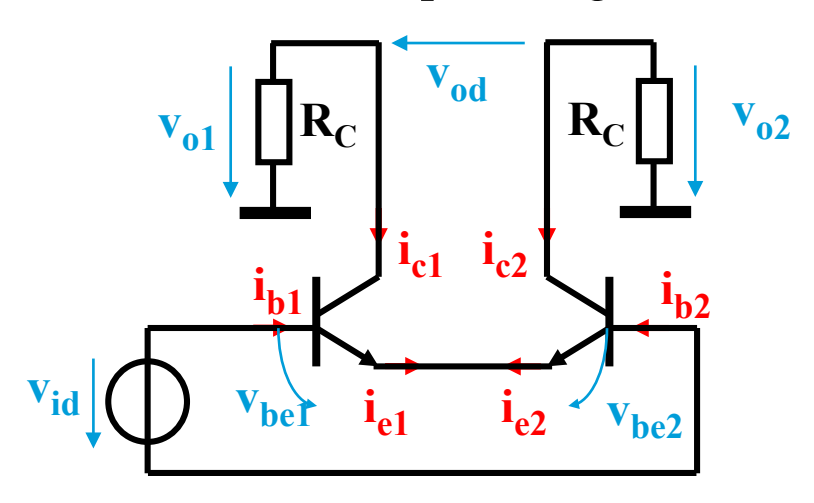
sortie asym. : gain en tension divisé par 2

4.1. GAIN EN TENSION DIFFÉRENTIEL A_d

MÉTHODE 2

Calcul direct sur le schéma "petits signaux"

Schéma "petits signaux"



au repos :
$$I_{C1,0} = I_{C2,0} = I/2$$

$$\Rightarrow$$
 $g_{m1} = g_{m2} = g_m = I/2U_T$

$$\begin{split} i_{e1} &\approx i_{c1} = g_m \cdot v_{be1} & i_{e2} \approx i_{c2} = g_m \cdot v_{be2} \\ i_{e1} + i_{e2} = 0 & \Rightarrow v_{be1} = -v_{be2} \\ v_{be1} - v_{be2} = v_{id} & \Rightarrow v_{be1} = +v_{id}/2 \\ v_{be2} = -v_{id}/2 \\ \end{split}$$

$$v_{o1} = -R_C \cdot i_{c1} = -g_m \cdot R_C \cdot v_{be1} = -\frac{g_m \cdot R_C}{2} \cdot v_{id} \\ v_{o2} = -R_C \cdot i_{c2} = -g_m \cdot R_C \cdot v_{be2} = +\frac{g_m \cdot R_C}{2} \cdot v_{id} \\ v_{od} = v_{o2} - v_{o1} = +g_m \cdot R_C \cdot v_{id} \end{split}$$

sortie diff.:
$$A_d = \frac{V_{od}}{V_{id}} = g_m \cdot R_C = \frac{I}{2 \cdot U_T} \cdot R_C$$

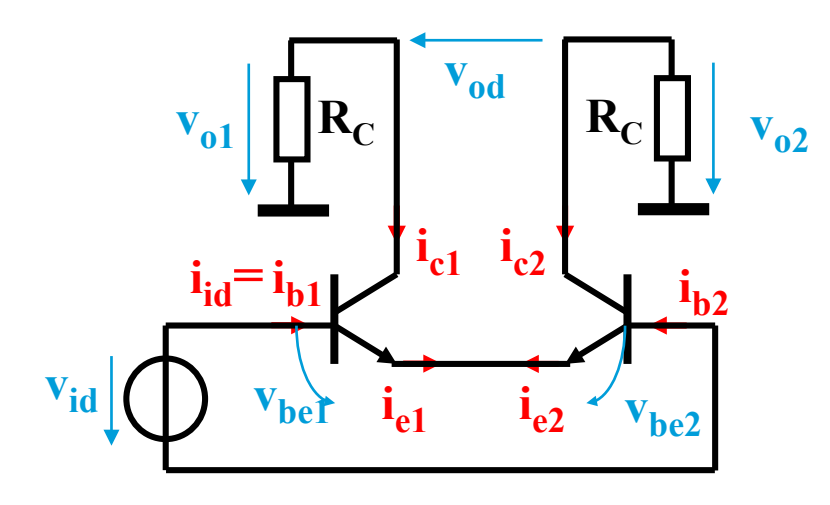
sortie asym. : gain en tension divisé par 2

4.1. RÉSISTANCE D'ENTRÉE DIFFÉRENTIELLE R_{id}

MÉTHODE 2

Calcul direct sur le schéma "petits signaux"

Schéma "petits signaux"



au repos :
$$I_{C1,0} = I_{C2,0} = I/2$$

$$\Rightarrow$$
 $g_{m1} = g_{m2} = g_m = I/2U_T$

$$si: \ \mathbf{\beta_1} = \mathbf{\beta_2} = \mathbf{\beta}$$

$$=> g_{be1} = g_{be2} = g_{be} = I/2\beta U_T$$

$$\begin{split} i_{e1} \approx & i_{c1} = g_m \cdot v_{be1} & i_{e2} \approx i_{c2} = g_m \cdot v_{be2} \\ i_{e1} + i_{e2} = 0 & \Rightarrow v_{be1} = -v_{be2} \\ v_{be1} - v_{be2} = v_{id} & \Rightarrow v_{be1} = +v_{id}/2 \\ v_{be2} = -v_{id}/2 & \\ i_{b1} = g_{be} \cdot v_{be1} = g_{be} \cdot \frac{+v_{id}}{2} \\ i_{b2} = g_{be} \cdot v_{be2} = g_{be} \cdot \frac{-v_{id}}{2} = -i_{b1} \end{split}$$

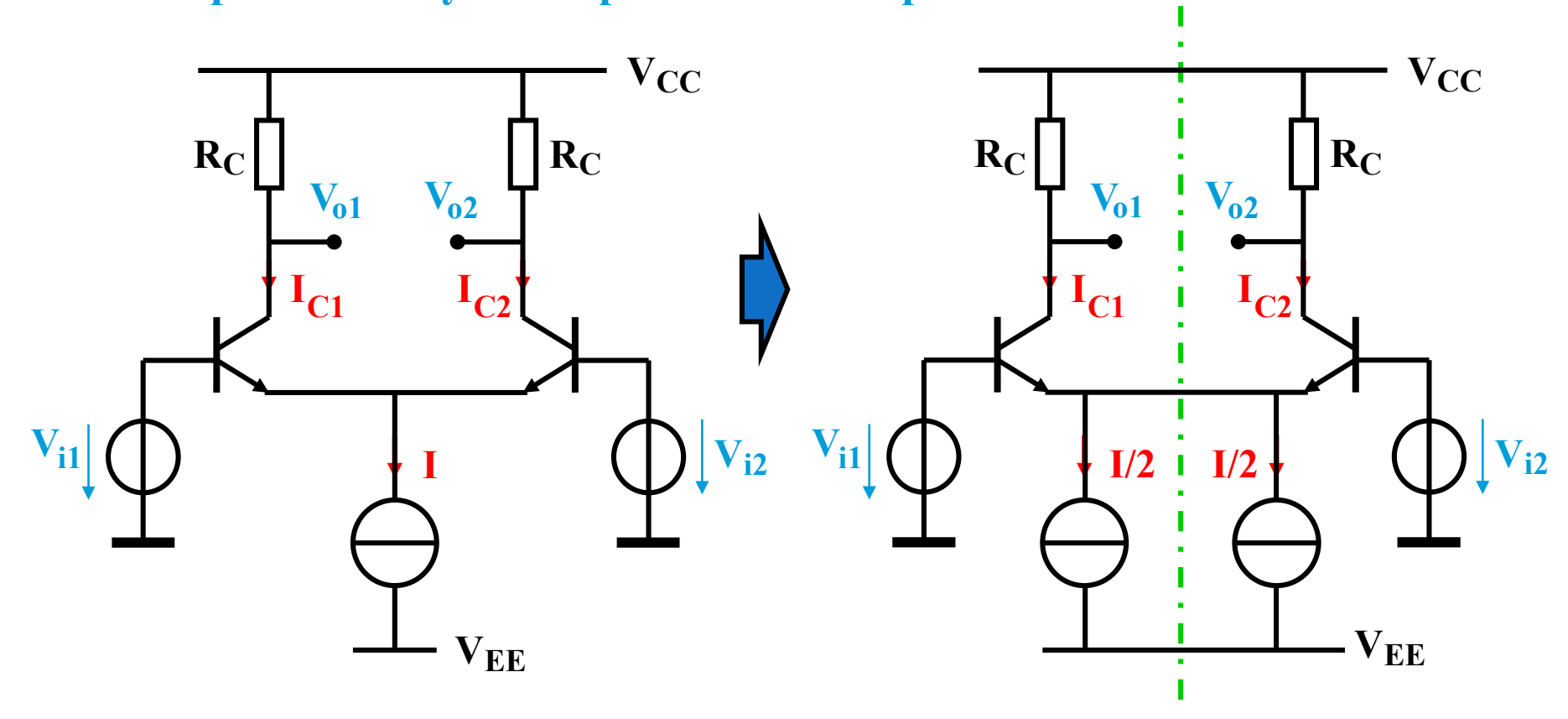
$$R_{id} = \frac{v_{id}}{i_{id}} = \frac{2}{g_{be}} = \frac{4 \cdot \beta \cdot U_T}{I}$$

4.1. GAIN EN TENSION DIFFÉRENTIEL A_d

MÉTHODE 3

Méthode du demi-circuit équivalent

Cette méthode repose sur la symétrie parfaite de l'ampli différentiel

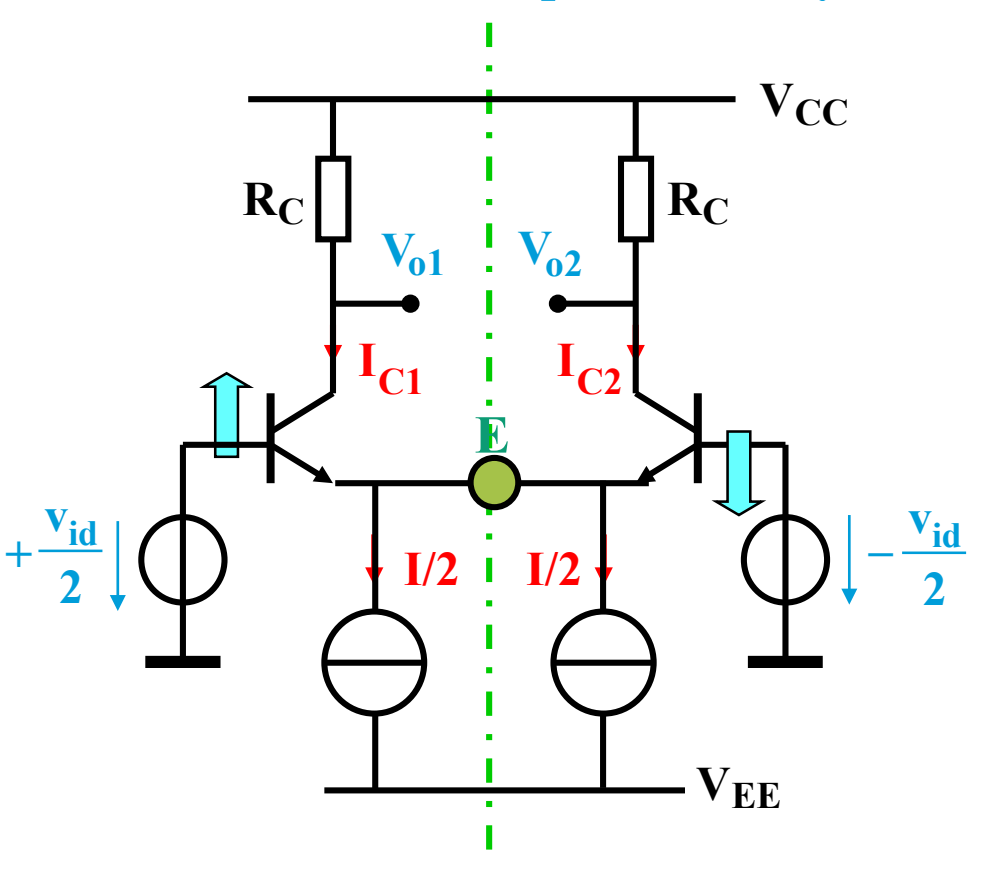


4.1. GAIN EN TENSION DIFFÉRENTIEL A_d

MÉTHODE 3

Méthode du demi-circuit équivalent

Cette méthode repose sur la symétrie parfaite de l'ampli différentiel



On applique aux entrées des petits signaux symétriques :

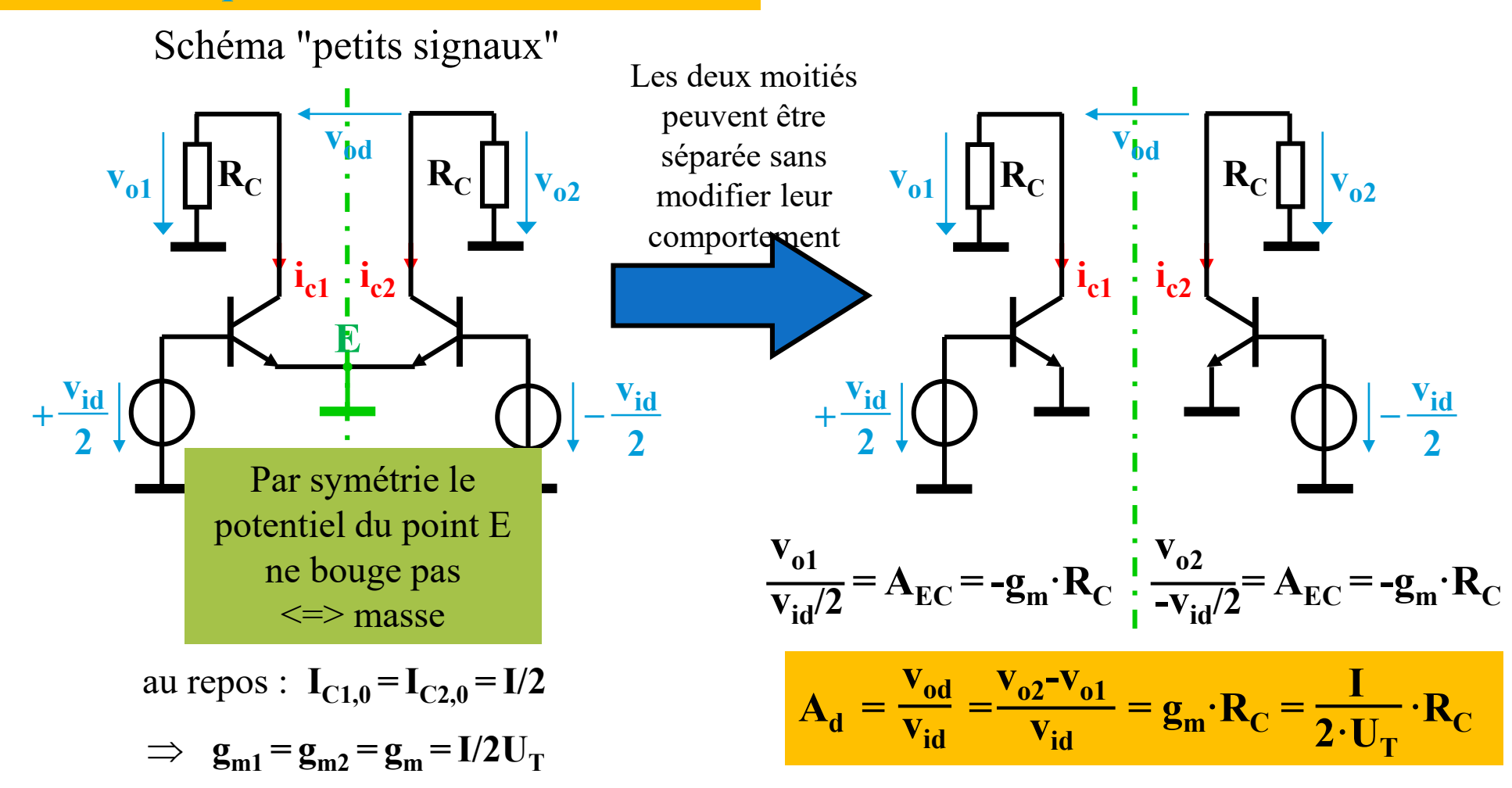
$$V_{i1} = -V_{i2} = V_{id}/2$$

En raison de la symétrie, le potentiel du point E reste constant. Dans le schéma "petit signaux" cela équivaut à une masse!

4.1. GAIN EN TENSION DIFFÉRENTIEL A_d

MÉTHODE 3

Demi-circuit équivalent en mode différentiel



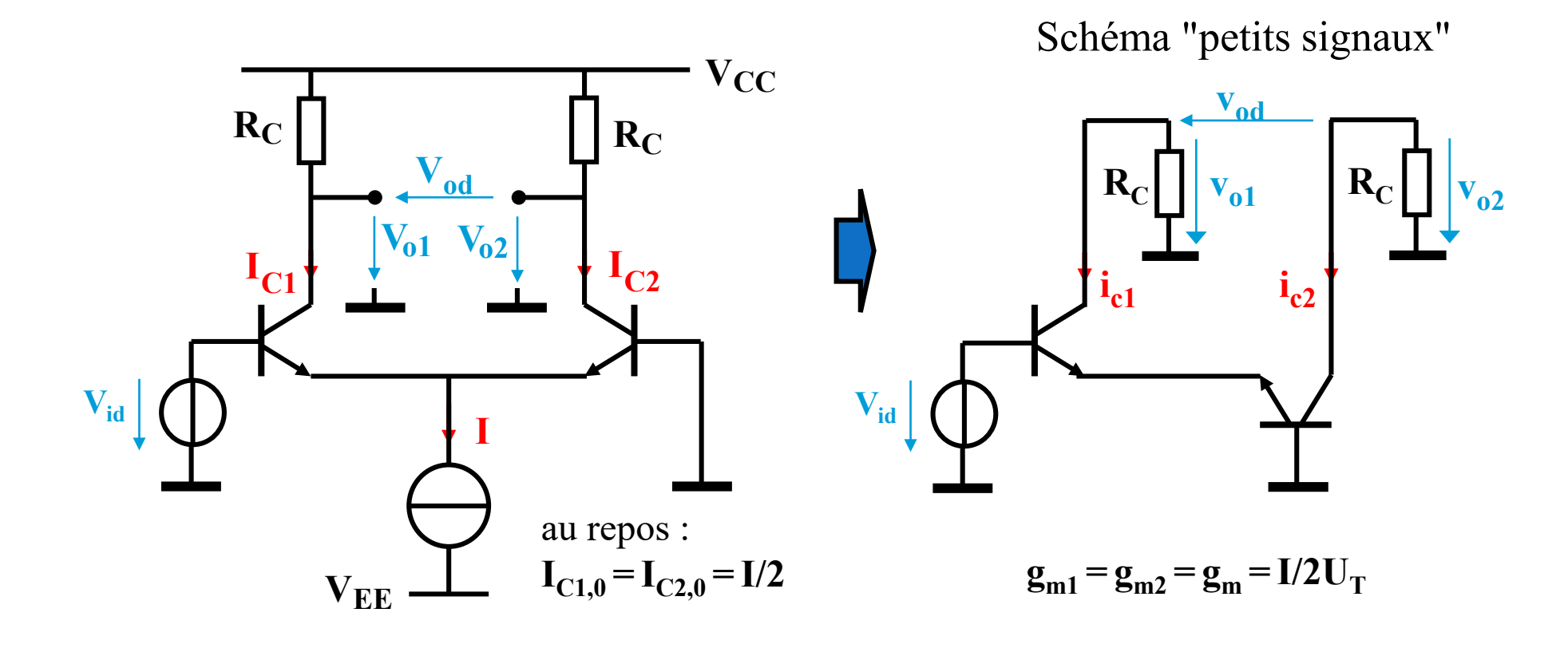
4.1. GAIN EN TENSION DIFFÉRENTIEL A_d

MÉTHODE 4

27

Méthode de l'entrée asymétrique

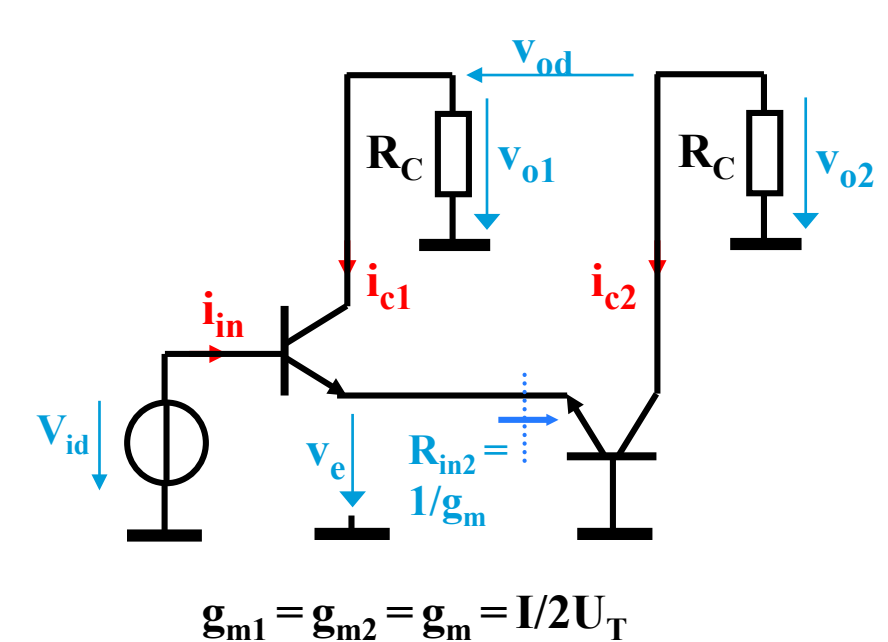
On applique la totalité de la tension d'entrée sur une seule des entrées, l'autre entrée étant connectée à la masse. Cette opération ne modifie en rien la tension différentielle d'entrée ni le gain différentiel.



4.1. GAIN EN TENSION DIFFÉRENTIEL A_d ET RÉSISTANCE D'ENTRÉE R_{id}

Méthode de l'entrée asymétrique

Schéma "petits signaux"



$$si: \beta_1 = \beta_2 = \beta$$

MÉTHODE 4

$$\begin{split} &\frac{v_{o1}}{v_{id}} = A_{ECd\acute{e}g.} = \frac{-g_m \cdot R_C}{1 + g_m \cdot R_{in2}} = -\frac{g_m \cdot R_C}{2} \\ &\frac{v_{o2}}{v_{id}} = \frac{v_e}{v_{id}} \cdot \frac{v_{o2}}{v_e} = A_{CC} \cdot A_{BC} \\ &\frac{v_{o2}}{v_{id}} = \frac{g_m \cdot R_{in2}}{1 + g_m \cdot R_{in2}} \cdot g_m \cdot R_C = +\frac{g_m \cdot R_C}{2} \end{split}$$

$$\mathbf{A}_{d} = \frac{\mathbf{v}_{od}}{\mathbf{v}_{id}} = \frac{\mathbf{v}_{o2} - \mathbf{v}_{o1}}{\mathbf{v}_{id}} = \mathbf{g}_{m} \cdot \mathbf{R}_{C} = \frac{\mathbf{I}}{2 \cdot \mathbf{U}_{T}} \cdot \mathbf{R}_{C}$$

$$\mathbf{R}_{id} = \frac{\mathbf{v}_{id}}{\mathbf{i}_{in}} = \frac{1}{\mathbf{g}_{be1}} + \mathbf{\beta}_1 \cdot \mathbf{R}_{in2}$$

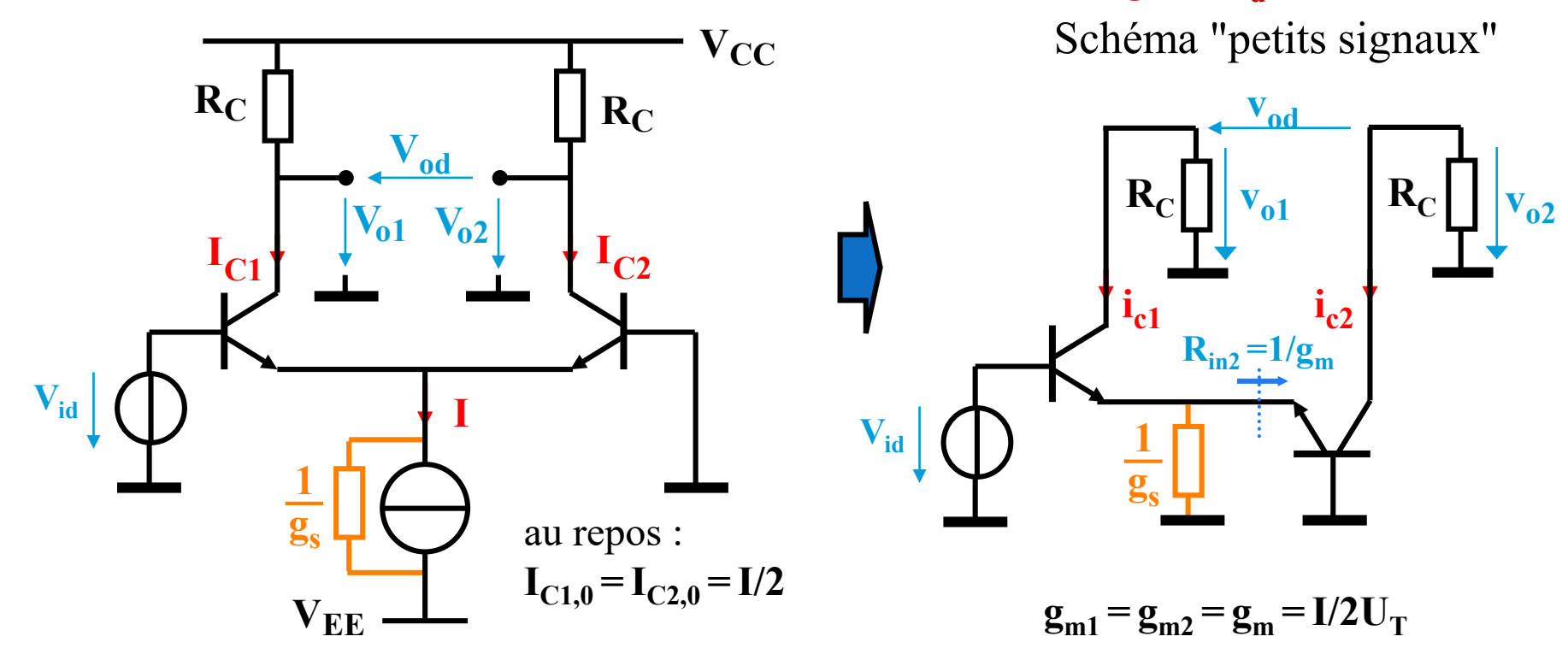
$$R_{id} = \frac{V_{id}}{I_{in}} = \frac{2}{g_{be}} = \frac{2\beta}{g_{m}} = \frac{4 \cdot \beta \cdot U_{T}}{I}$$

4.1. GAIN EN TENSION DIFFÉRENTIEL A_d

MÉTHODE 4

Méthode de l'entrée asymétrique

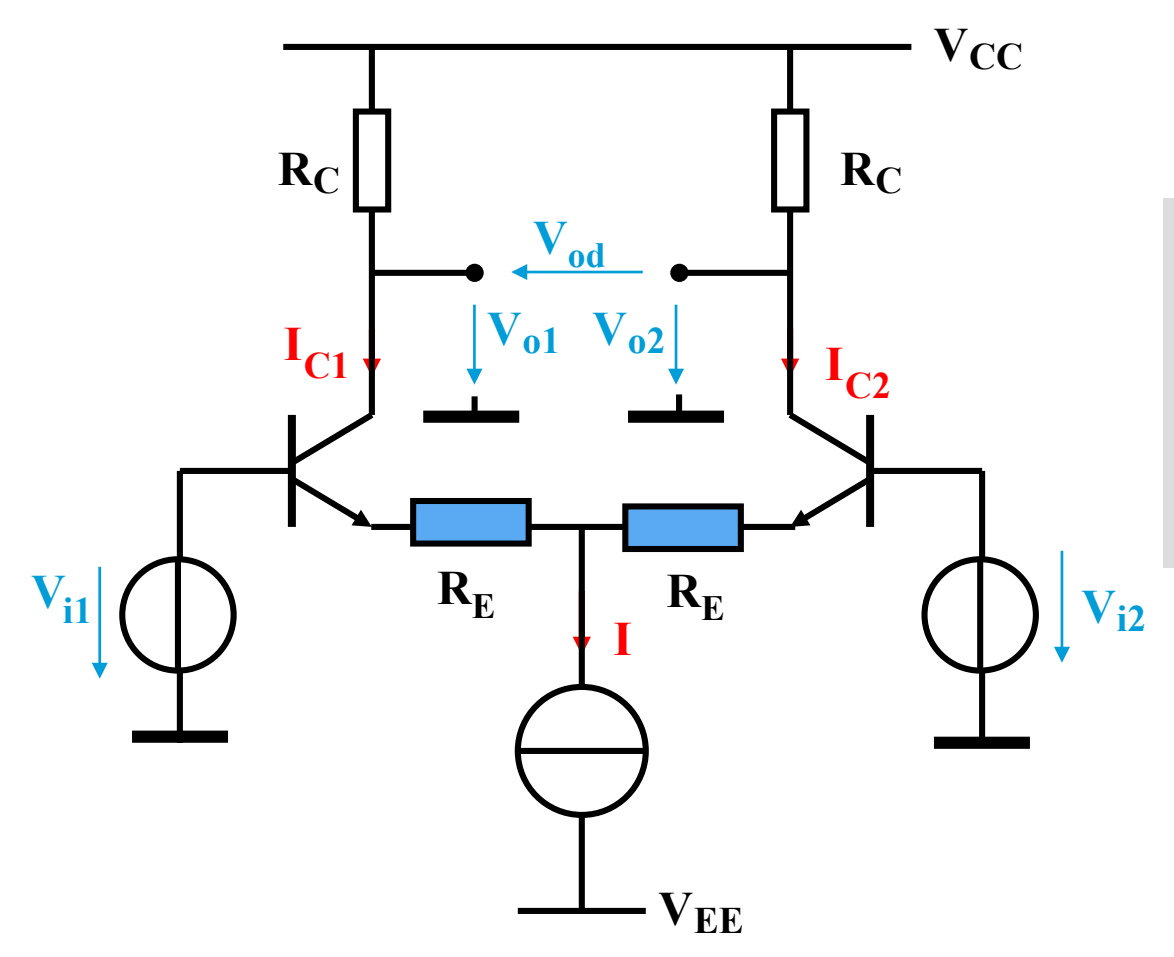
Effet de la résistance non-infinie de la source de courant sur le gain A_d



 g_s n'affecte pas le gain différentiel A_d pour autant que $g_s << g_m$

4.2. L'AMPLI DIFFÉRENTIEL DÉGÉNÉRÉ

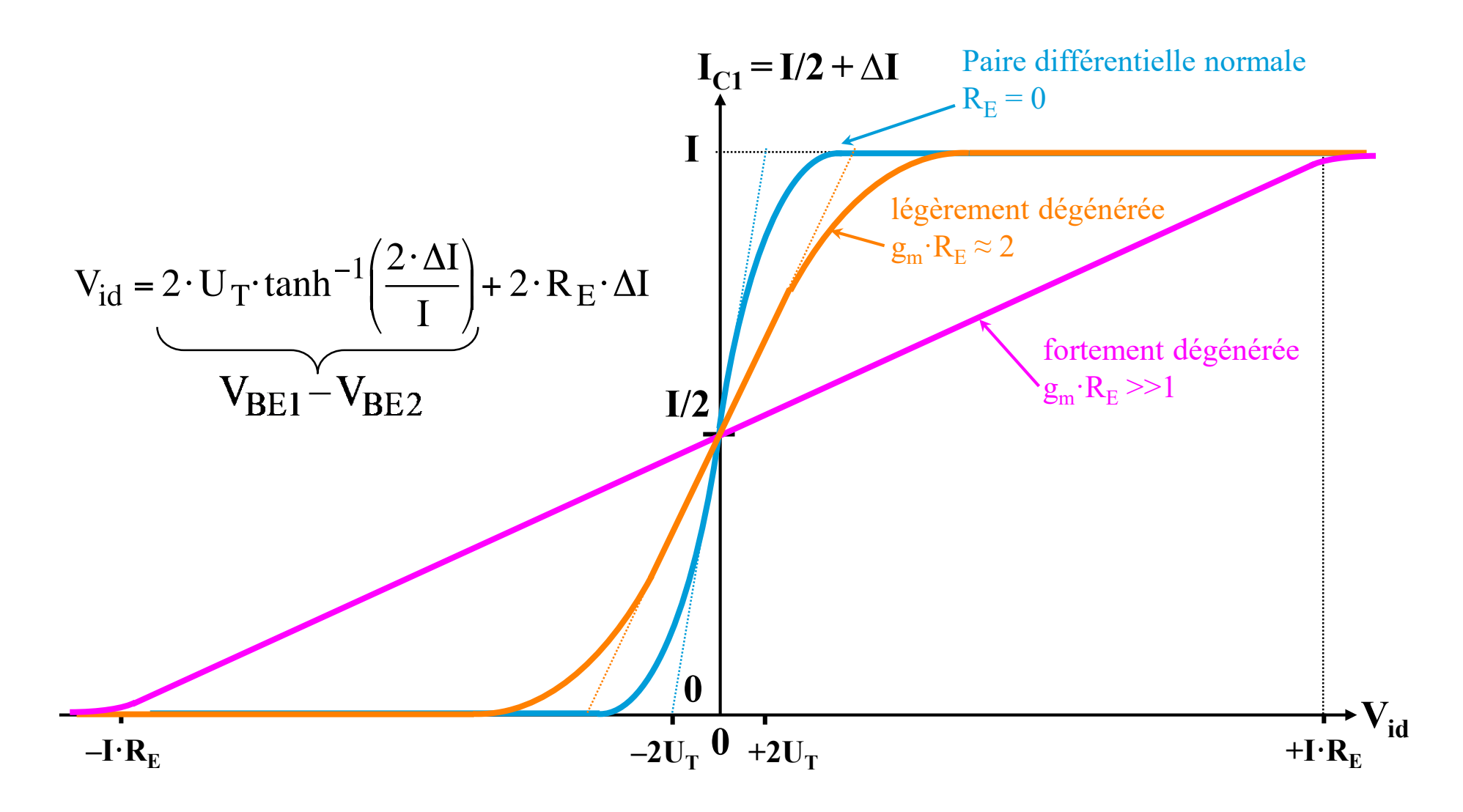
SCHÉMA



Effet des résistances R_E:

- Réduction du gain A_d
- Contrôle précis de la valeur du gain $\mathbf{A}_{\mathbf{d}}$
- Augmentation de la plage de linéarité
- Augmentation de la résistance d'entrée différentielle \mathbf{R}_{id}

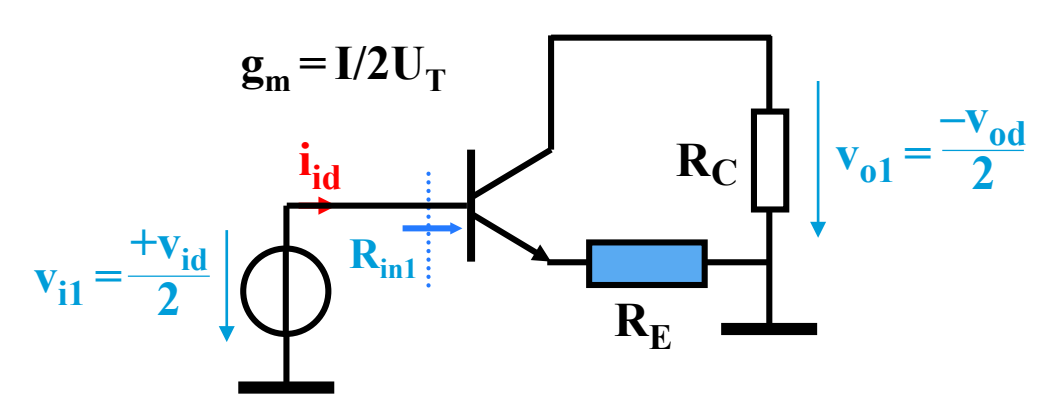
4.2. CARACTÉRISTIQUE "GRAND SIGNAUX" DE L'AMPLI DIFFÉRENTIEL DÉGÉNÉRÉ



4.2. GAIN EN TENSION DIFFÉRENTIEL A_d DE L'AMPLI DIFFÉRENTIEL DÉGÉNÉRÉ

Méthode du demi-circuit équivalent en mode différentiel

Schéma "petits signaux"



$$\frac{\mathbf{v}_{o1}}{\mathbf{v}_{i1}} = \mathbf{A}_{ECd\acute{e}g.} = \frac{-\mathbf{g}_{m} \cdot \mathbf{R}_{C}}{1 + \mathbf{g}_{m} \cdot \mathbf{R}_{E}}$$

$$\frac{\mathbf{v_{od}}}{\mathbf{v_{id}}} = \frac{-2\mathbf{v_{o1}}}{2\mathbf{v_{i1}}} = -\frac{\mathbf{v_{o1}}}{\mathbf{v_{i1}}}$$

$$\mathbf{R}_{\text{in1}} = \frac{\mathbf{v}_{\text{i1}}}{\mathbf{i}_{\text{id}}} = \frac{1}{\mathbf{g}_{\text{be}}} + \mathbf{\beta} \cdot \mathbf{R}_{\text{E}}$$

$$\mathbf{R}_{id} = \frac{\mathbf{v}_{id}}{\mathbf{i}_{id}} = \frac{2\mathbf{v}_{i1}}{\mathbf{i}_{id}} = 2 \cdot \mathbf{R}_{in1}$$

$$R_{id} = \frac{V_{id}}{i_{id}} = \frac{2}{g_{be}} + 2 \cdot \beta \cdot R_E$$

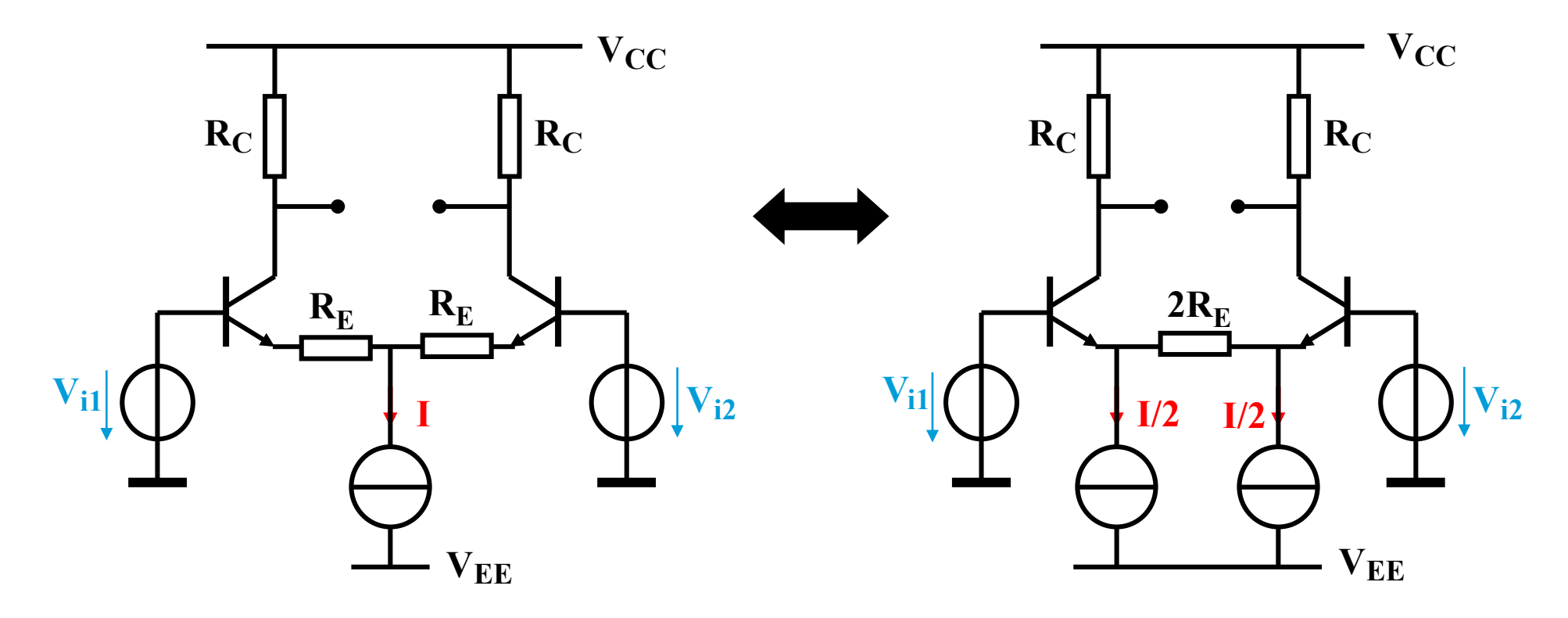
sortie différentielle :
$$A_d = \frac{g_m \cdot R_C}{1 + g_m \cdot R_E}$$

$$\operatorname{si}: \mathbf{R}_{\mathrm{E}} >> \frac{1}{\mathbf{g}_{\mathrm{m}}}$$
 $\mathbf{A}_{\mathrm{d}} = \frac{\mathbf{R}_{\mathrm{C}}}{\mathbf{R}_{\mathrm{E}}}$

sortie asymétrique : gain divisé par 2

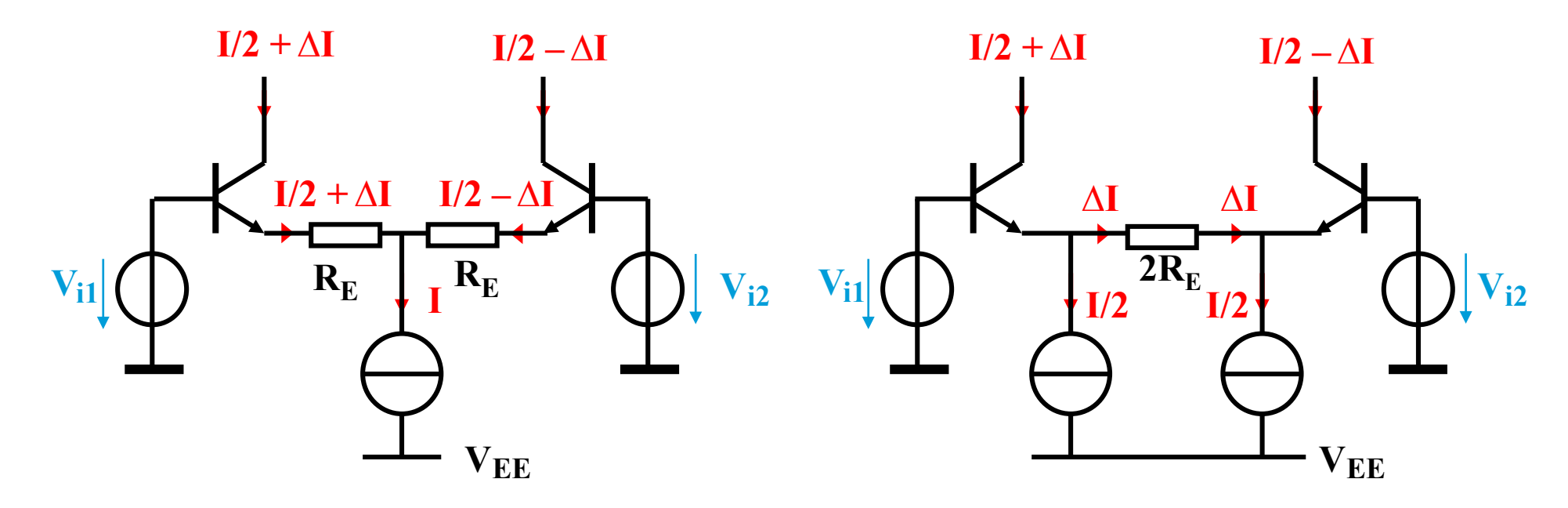
4.2. AMPLI DIFFÉRENTIEL DÉGÉNÉRÉ, RÉALISATION PRATIQUE

VARIANTE DU SCHÉMA DE BASE



Le comportement "petits signaux" et le gain A_d ainsi que la résistance d'entrée R_{id} différentiels sont identiques car ces deux variantes ont le même demi-circuit équivalent et le même schéma "petits signaux".

4.2. AMPLI DIFFÉRENTIEL DÉGÉNÉRÉ, DYNAMIQUE D'ENTRÉE



Les résistances \mathbf{R}_{E} sont parcourues par le courant de polarisation et le courant différentiel.

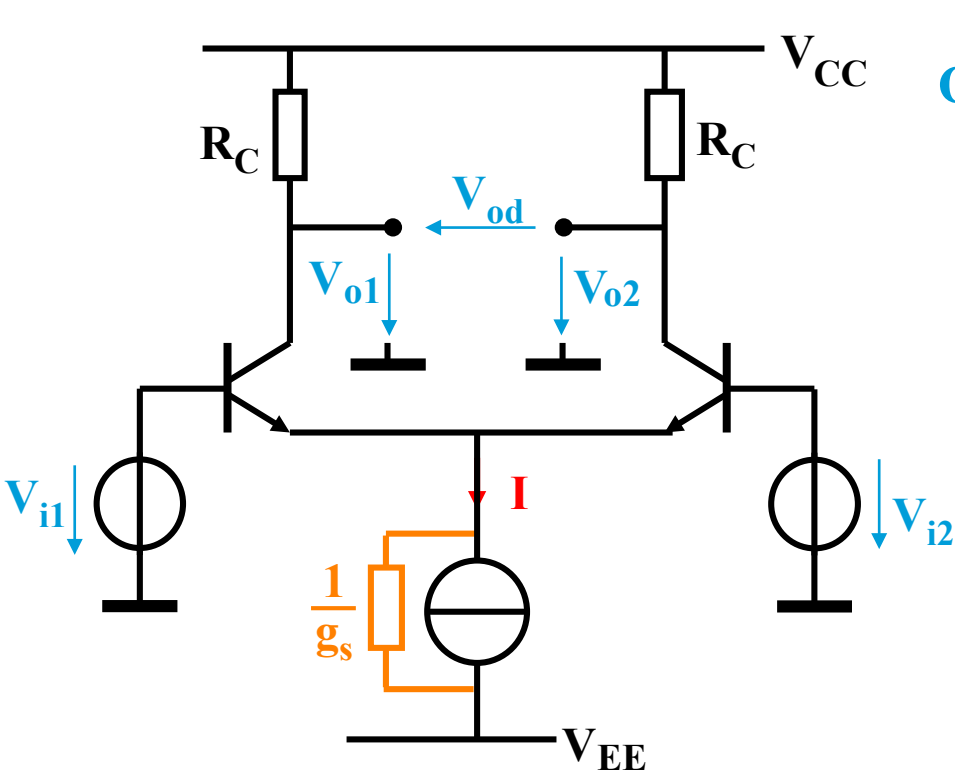
La chute de tension constante $R_E \cdot I/2$ diminue d'autant la dynamique d'entrée de mode commun.

La résistance $2R_E$ est parcourue uniquement par le courant différentiel.

Solution préférée en circuit intégré.

2ème séance (25/09)

4.3. GAIN DE MODE COMMUN A_c



On applique le même signal aux 2 entrées de l'ampli différentiel :

$$\mathbf{V}_{i1} = \mathbf{V}_{i2} = \mathbf{V}_{icm}$$

Le gain de mode commun A_c est défini dans ces conditions par:

$$A_{c} = \frac{\Delta V_{o1}}{V_{icm}} = \frac{\Delta V_{o2}}{V_{icm}} \quad (*)$$

(*) Valable pour un appariement parfait des composants

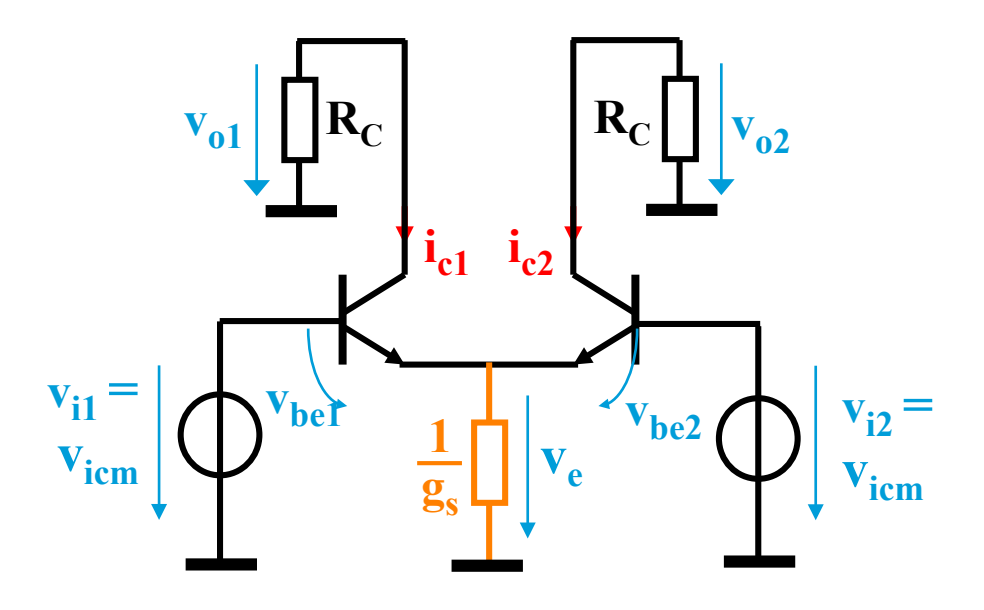
- Le gain de mode commun est un défaut des amplis différentiels, essentiellement lié à la conductance parasite g_s de la source de courant I de polarisation.
- Le signal de sortie de mode commun apparaît entre une sortie et la masse. Il n'est pas perceptible sur la sortie différentielle (*).

4. L'AMPLIFICATEUR DIFFERENTIEL:

COMPORTEMENT "PETITS SIGNAUX" AVEC CHARGES RÉSISTIVES

4.3. GAIN DE MODE COMMUN A_c

Schéma "petits signaux"



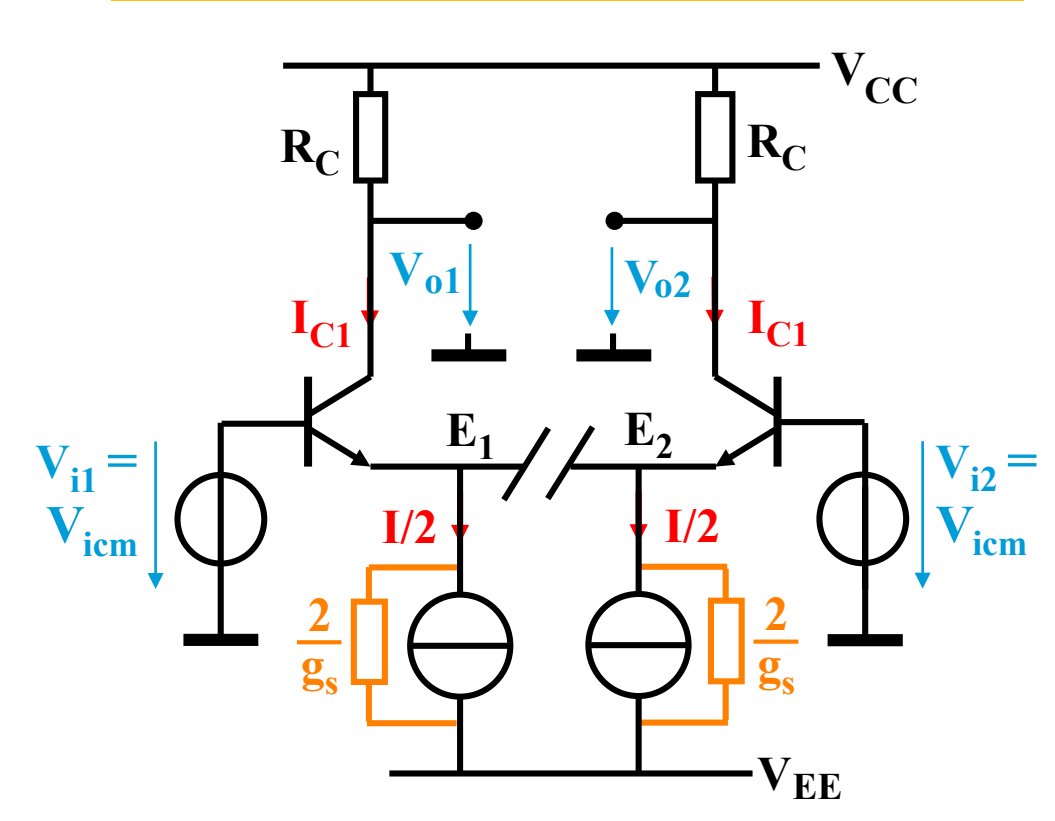
Méthode par calcul direct

$$\begin{aligned} v_{i1} &= v_{i2} &=> v_{be1} = v_{be2} = v_{be} \\ i_{e1} &\approx i_{c1} = g_m \cdot v_{be1} = g_m \cdot v_{be} \\ i_{e2} &\approx i_{c2} = g_m \cdot v_{be2} = g_m \cdot v_{be} \\ v_{icm} &= v_{be} + v_e = v_{be} + \frac{i_{c1} + i_{c2}}{g_s} = v_{be} + \frac{2g_m \cdot v_{be}}{g_s} \\ v_{oj} &= -R_C \cdot g_m \cdot v_{be} \\ &=> \frac{v_{oj}}{v_{icm}} = \frac{-g_m \cdot R_C}{1 + g_m \cdot \frac{2}{g_s}} \end{aligned}$$
si: $g_m >> g_s$

Gain de mode commun:
$$\frac{V_{oj}}{V_{icm}} = A_c = \frac{-g_s \cdot R_C}{2}$$
 avec: j = 1 ou 2

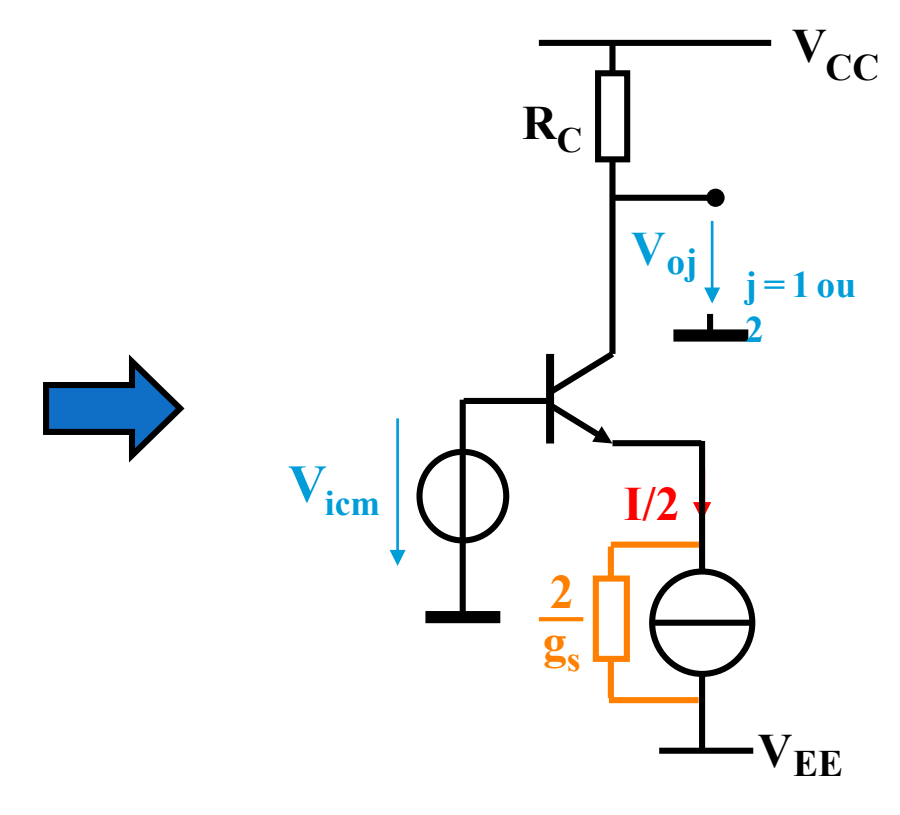
Conclusion: pour réduire A_c il faut utiliser une source de courant à très faible conductance interne

4.3. GAIN DE MODE COMMUN A_c



Si $V_{i1} = V_{i2}$, alors $V_{BE1} = V_{BE2}$ et donc $I_{C1} = I_{C2}$. Il en résulte que le courant dans la connexion entre les nœuds E_1 et E_2 est nul. Celle-ci peut donc être coupée (supprimée) sans modifier le comportement du circuit.

Méthode du demi-circuit équivalent



Il reste alors deux circuits identiques dit demi-circuits équivalents de mode commun.

4.3. GAIN DE MODE COMMUN A_c

Méthode du demi-circuit équivalent

Demi-schéma équivalent en mode commun

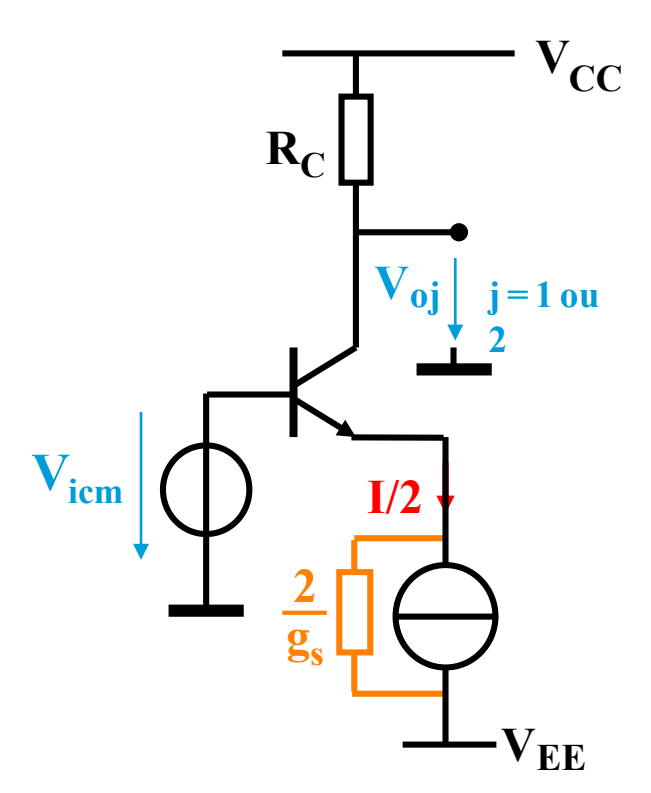
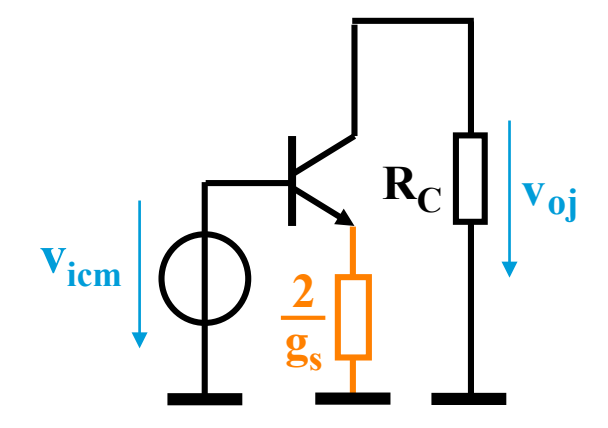


Schéma "petits signaux"



Gain de mode commun:

$$\frac{\mathbf{v_{oj}}}{\mathbf{v_{icm}}} = \mathbf{A_{ECd\acute{e}g.}} = \frac{-\mathbf{g_m \cdot R_C}}{\mathbf{1 + g_m \cdot \frac{2}{g}}}$$
si: $\mathbf{g_m} >> \mathbf{g_s}$

$$\frac{\mathbf{v}_{\text{oj}}}{\mathbf{v}_{\text{icm}}} = \mathbf{A}_{\text{c}} = \frac{-\mathbf{g}_{\text{s}} \cdot \mathbf{R}_{\text{C}}}{2}$$

Conclusion: Pour réduire A_c il faut utiliser une source de courant à très faible conductance interne

4.4. TAUX DE RÉJECTION DU MODE COMMUN COMMON MODE REJECTION RATIO

Le « CMRR » est une caractéristique fondamentale des amplis différentiels, définie comme le rapport entre le gain de mode différentiel A_d et le gain de mode commun A_c :

$$CMRR = \frac{A_d}{A_c}$$

ou

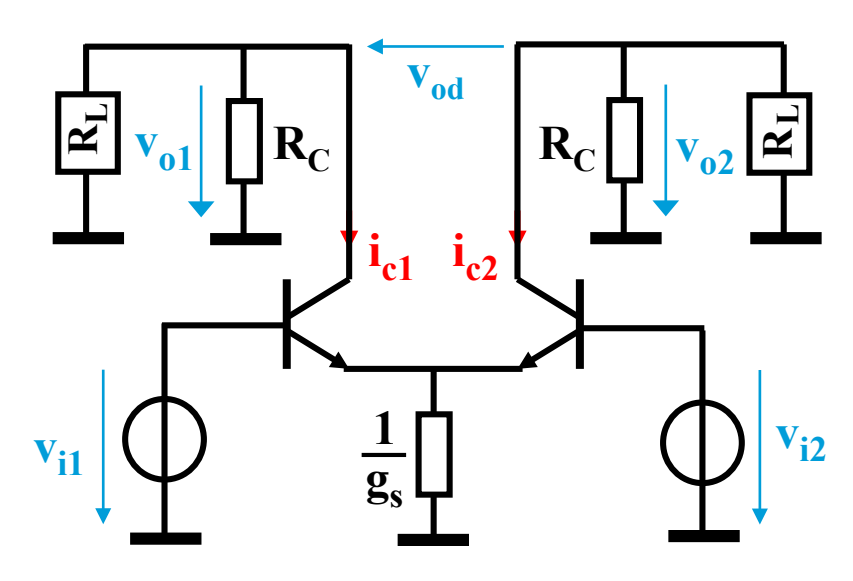
CMRR [dB] =
$$20 \cdot \log \frac{A_d}{A_c}$$

Pour les amplis différentiels de qualité, ce rapport est supérieur à 100 dB.

4.5. EFFET DE CHARGE(S) EXTÉRIEURE(S)

CHARGES ASYMÉTRIQUES

Schéma "petits signaux"



 R_{L} apparaît en parallèle sur R_{C} tant en mode différentiel qu'en mode commun

sortie symétrique:

$$\mathbf{A_d} = \frac{\mathbf{v_{od}}}{\mathbf{v_{id}}} = \mathbf{g_m} \cdot \frac{\mathbf{R_C} \cdot \mathbf{R_L}}{\mathbf{R_C} + \mathbf{R_L}}$$

sortie asymétrique : gain différentiel divisé par 2

$$\mathbf{A}_{d} = \frac{\mathbf{v}_{oj}}{\mathbf{v}_{id}} = \pm \frac{\mathbf{g}_{m}}{2} \cdot \frac{\mathbf{R}_{C} \cdot \mathbf{R}_{L}}{\mathbf{R}_{C} + \mathbf{R}_{L}}$$

$$j = 1$$
 ou 2

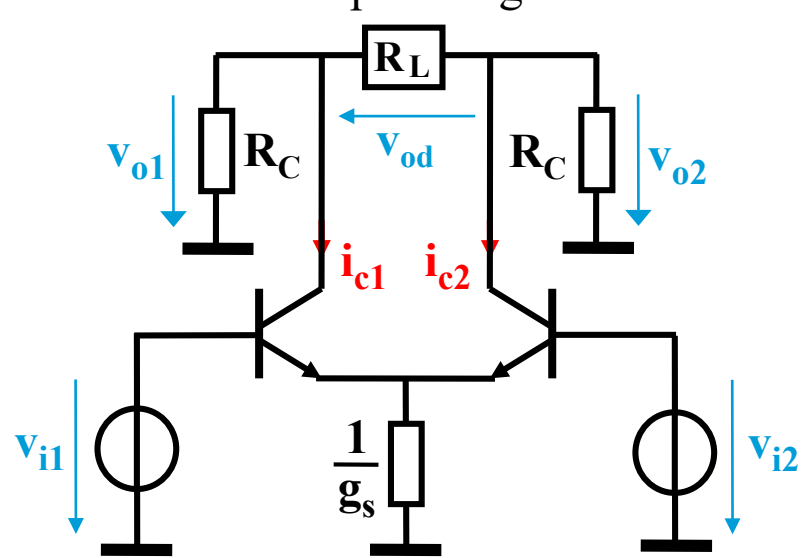
$$A_{c} = \frac{V_{oj}}{V_{icm}} = -\frac{g_{s}}{2} \cdot \frac{R_{C} \cdot R_{L}}{R_{C} + R_{L}}$$

$$j = 1$$
 ou 2

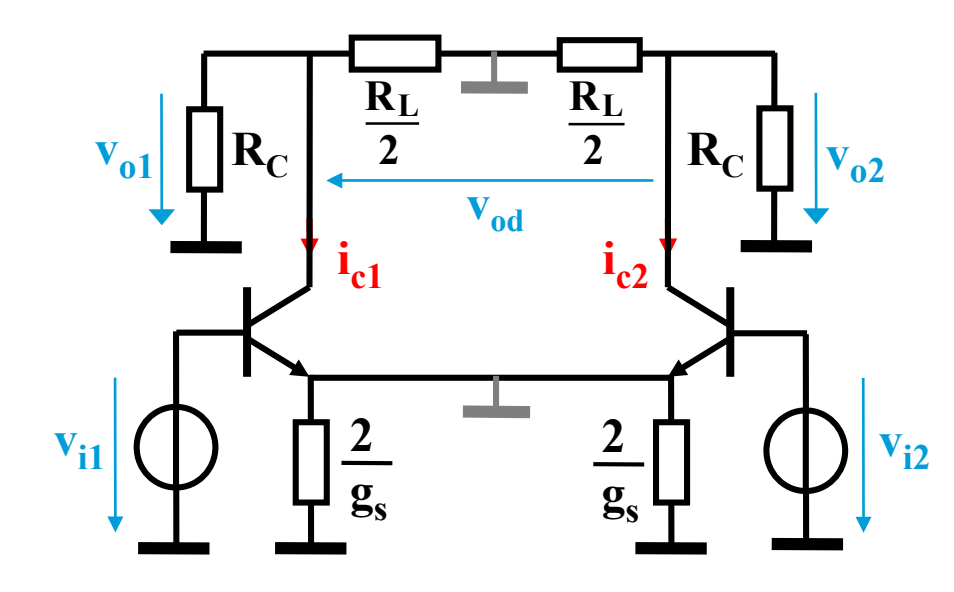
4.5. EFFET DE CHARGE(S) EXTÉRIEURE(S)

CHARGE DIFFÉRENTIELLE

Schéma "petits signaux"



Demi-schéma équivalent en mode différentiel



 $R_L/2$ apparaît en parallèle sur R_C

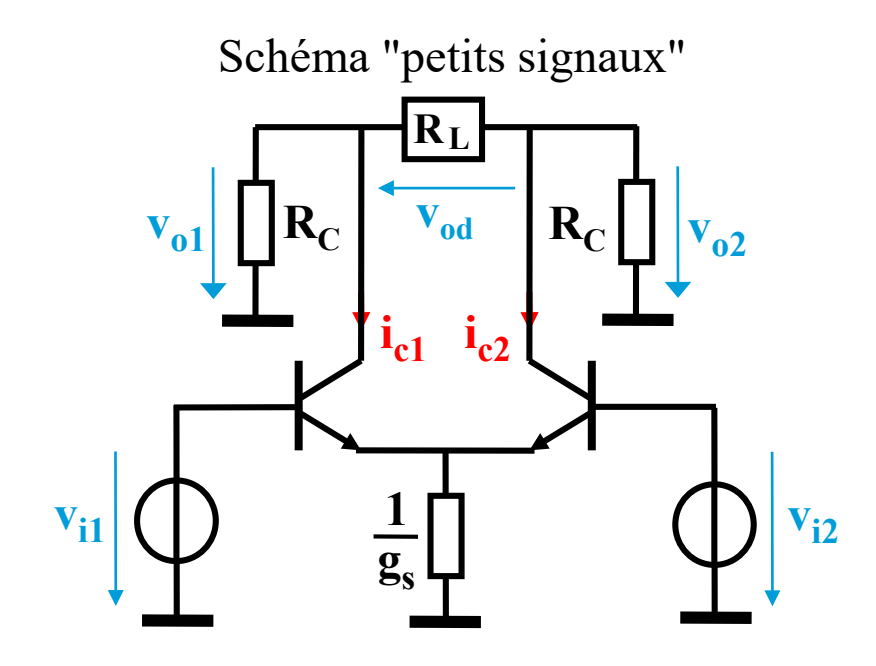
sortie symétrique:

$$A_d = \frac{v_{od}}{v_{id}} = g_m \cdot \frac{R_C \cdot R_L/2}{R_C + R_L/2}$$

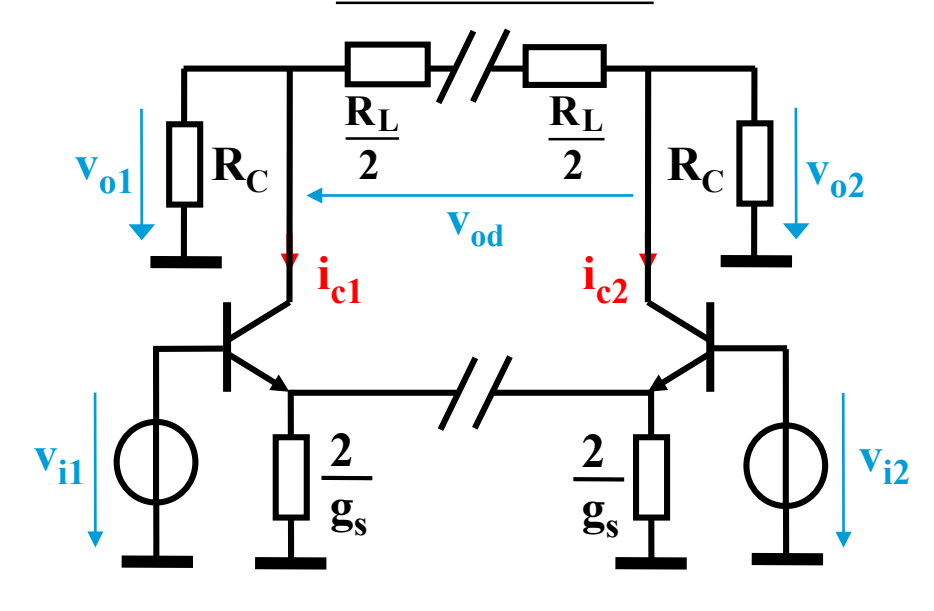
sortie asymétrique : gain différentiel divisé par 2

4.5. EFFET DE CHARGE(S) EXTÉRIEURE(S)

CHARGE DIFFÉRENTIELLE



Demi-schéma équivalent en mode commun

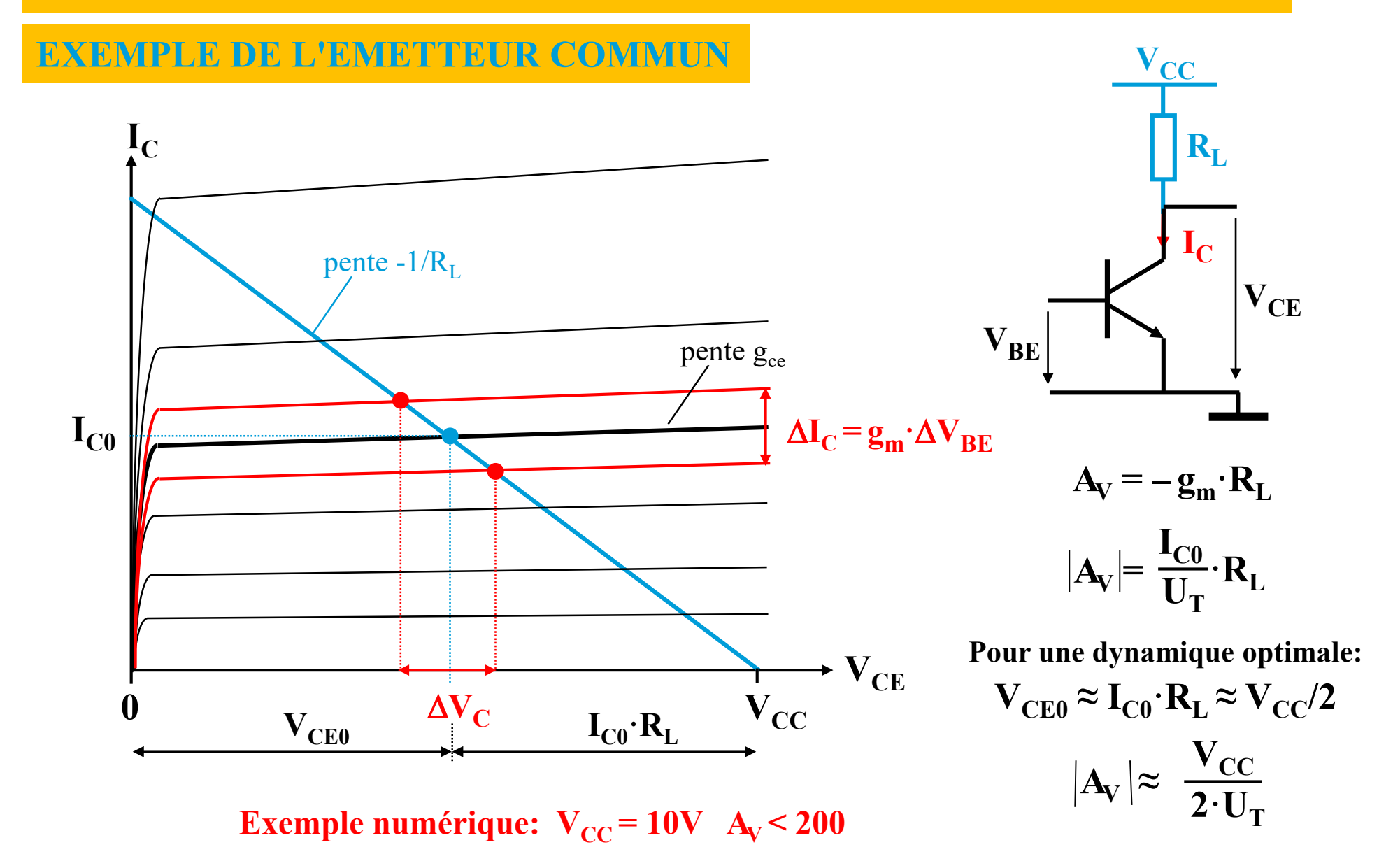


R_L est sans effet

$$\mathbf{A}_{\mathbf{C}} = \frac{\mathbf{v}_{\mathbf{oj}}}{\mathbf{v}_{\mathbf{icm}}} = -\frac{\mathbf{g}_{\mathbf{s}} \cdot \mathbf{R}_{\mathbf{C}}}{2}$$

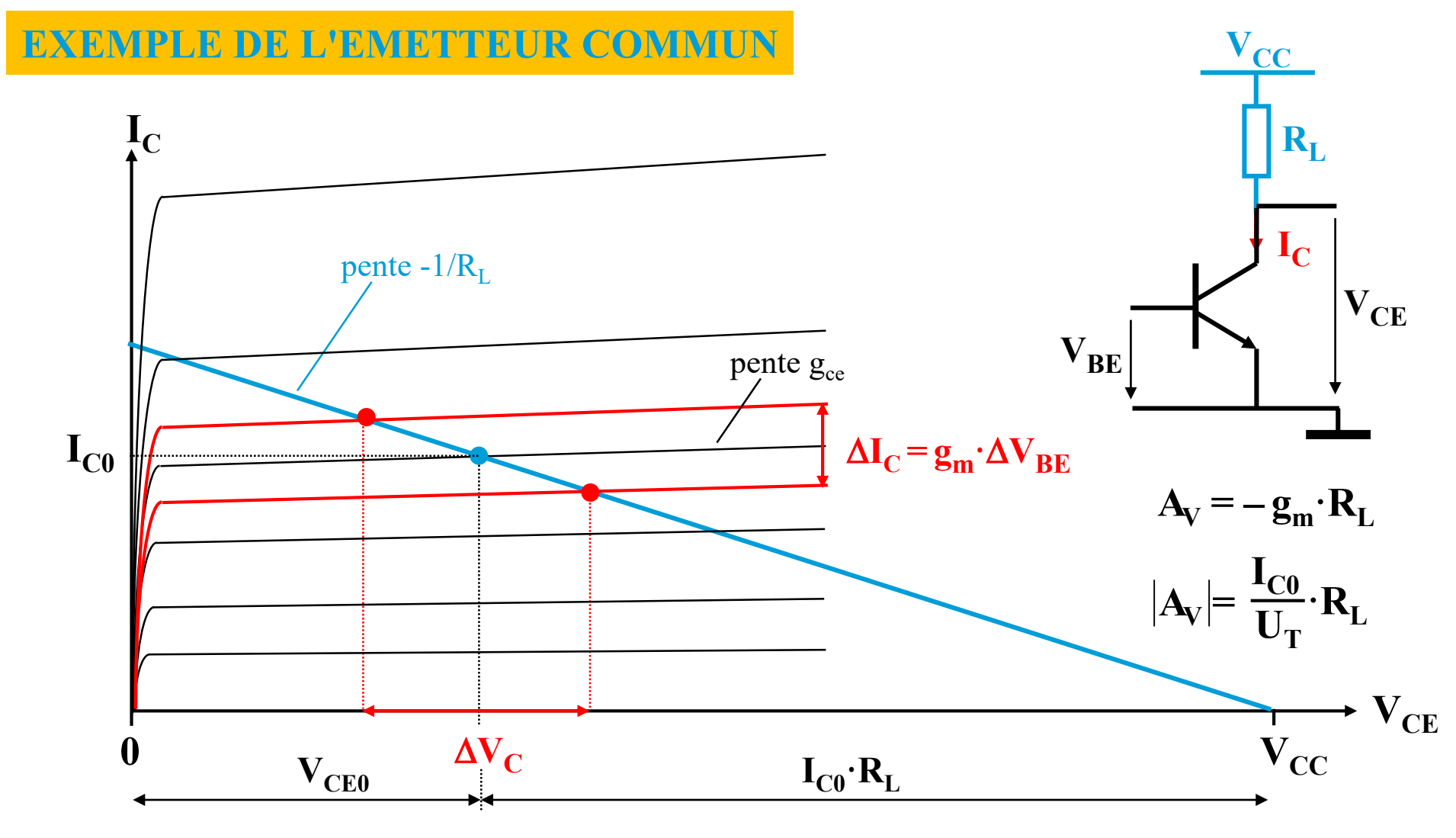
$$j = 1$$
 ou 2

LIMITE DU GAIN EN TENSION DES AMPLIS À CHARGES RÉSISTIVES



44

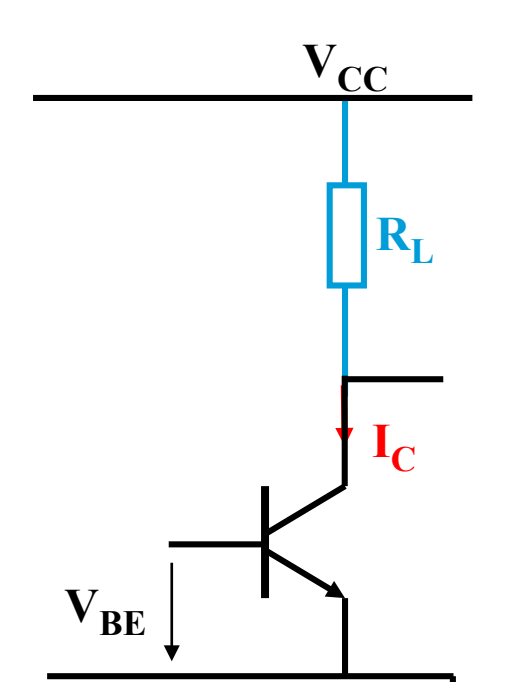
LIMITE DU GAIN EN TENSION DES AMPLIS À CHARGES RÉSISTIVES



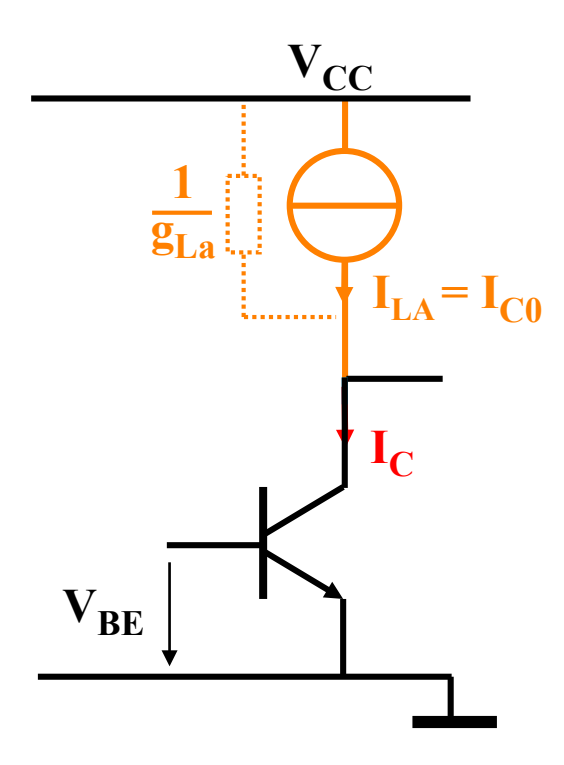
PRINCIPE DE LA CHARGE ACTIVE

EXEMPLE DE L'EMETTEUR COMMUN

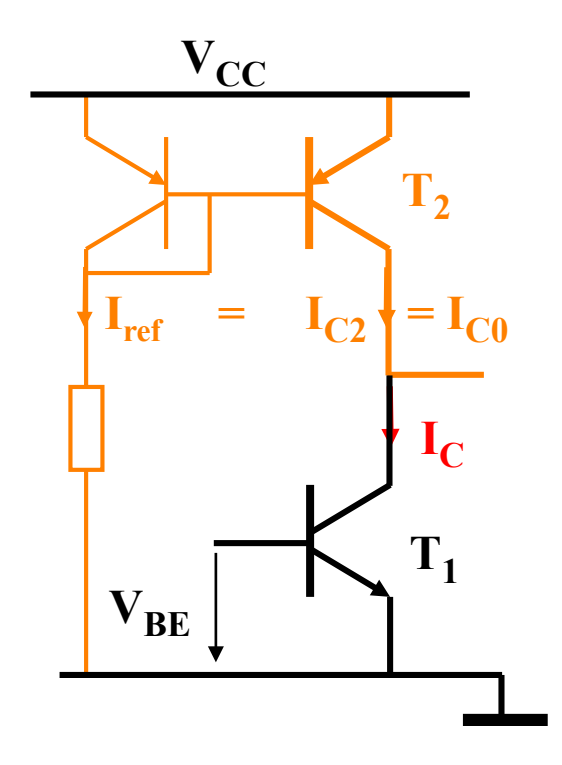
La résistance de charge est remplacée par ...



une source de courant

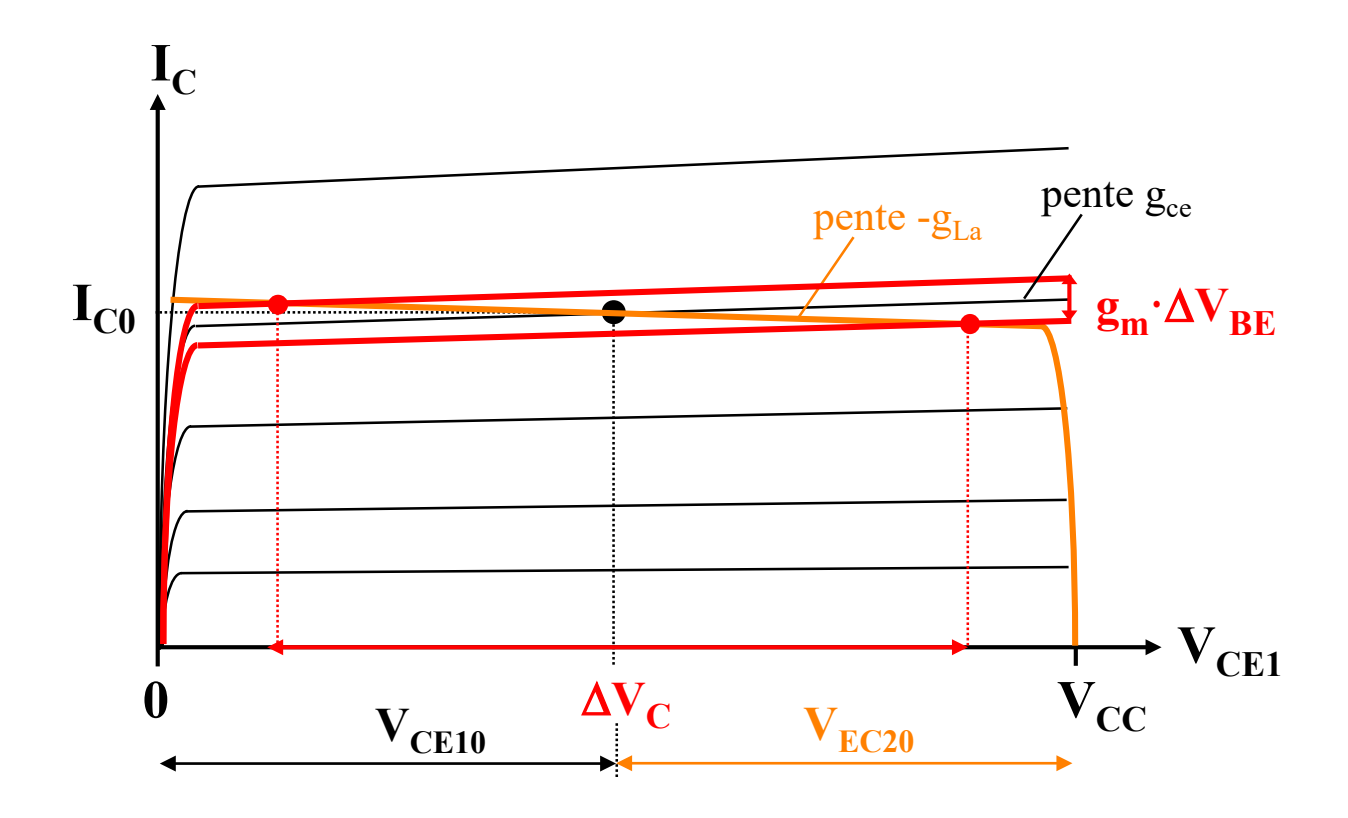


Exemple de réalisation



FONCTIONNEMENT

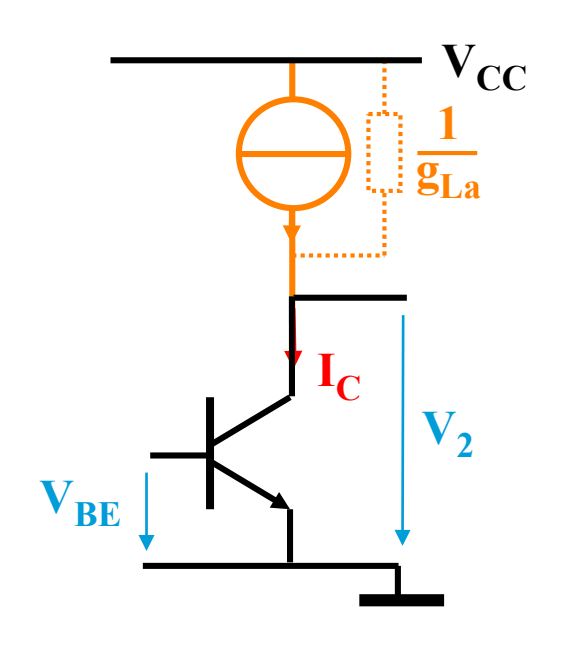
EXEMPLE DE L'EMETTEUR COMMUN



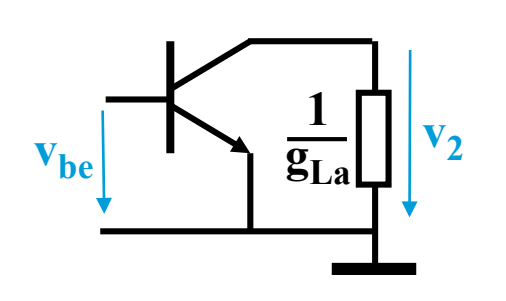
Le gain est limité uniquement par la conductance de sortie de T_1 et celle de la source de courant qui forme la charge active (T_2 dans cet exemple).

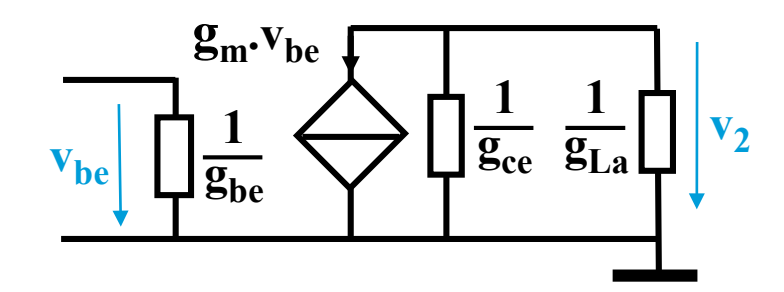
ETUDE "PETITS SIGNAUX" - GAIN EN TENSION A_v

EXEMPLE DE L'EMETTEUR COMMUN



Schémas petits signaux



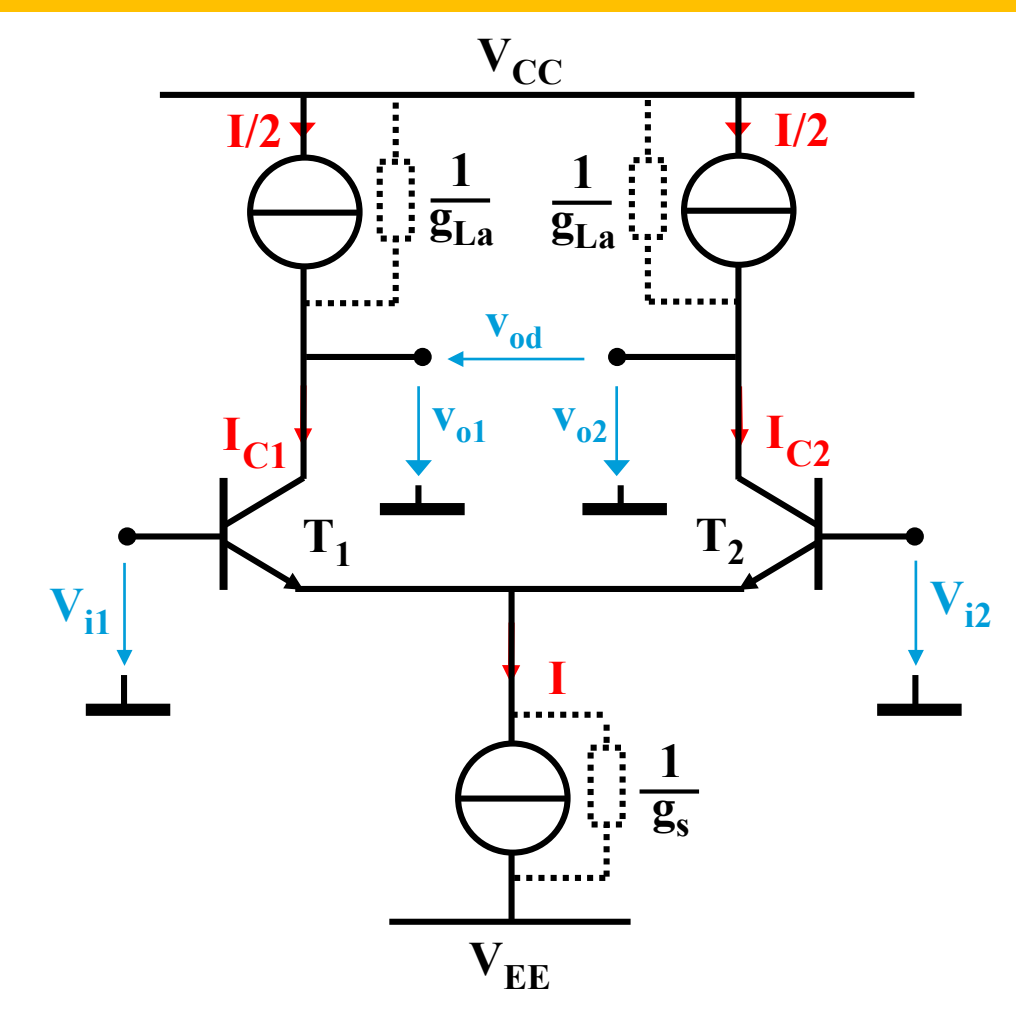


$$\mathbf{v}_2 = -\mathbf{g}_{\mathbf{m}} \cdot \mathbf{v}_{\mathbf{be}} \cdot \frac{1}{\mathbf{g}_{\mathbf{ce}} + \mathbf{g}_{\mathbf{La}}}$$

$$A_{v} = -\frac{g_{m}}{g_{ce} + g_{La}}$$

CHARGE SYMÉTRIQUE AVEC DEUX SOURCES DE COURANT

SORTIE(S) DIFFÉRENTIELLE OU ASYMÉTRIQUE(S)



CHARGE SYMÉTRIQUE AVEC DEUX SOURCES DE COURANT

GAINS EN TENSION DIFFÉRENTIEL ET DE MODE COMMUN

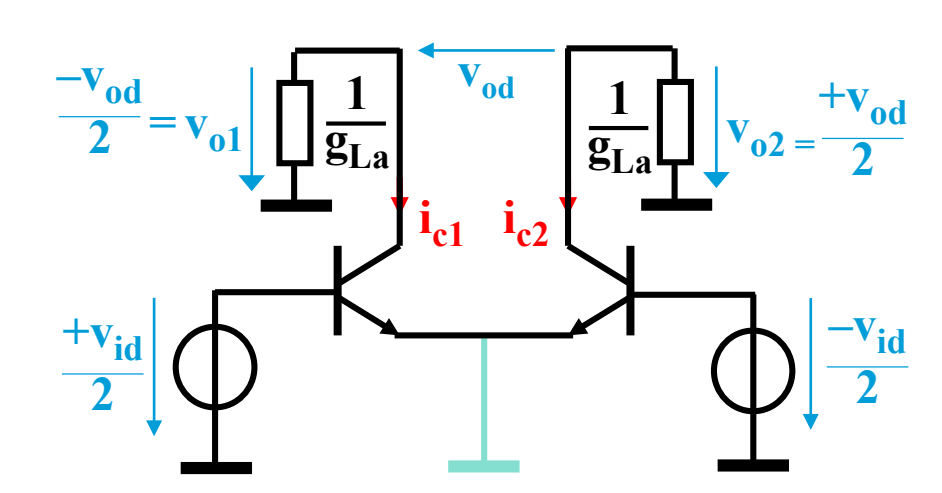
Demi-schémas équivalents "petits signaux"

divisé par 2

pour les sorties

asymétriques

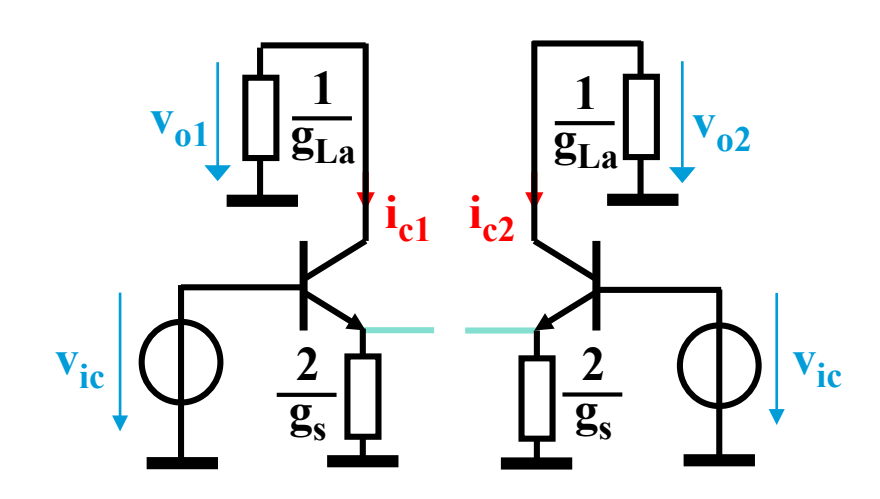
Mode différentiel



$$\mathbf{A_d} = \frac{\mathbf{g_m}}{\mathbf{g_{La}} + \mathbf{g_{ce}}}$$

avec: $\mathbf{g_m} = \frac{\mathbf{I}}{2 \cdot \mathbf{I}}$ $\mathbf{g_{ce}} = \frac{\mathbf{I}}{2 \cdot \mathbf{V}}$

Mode commun

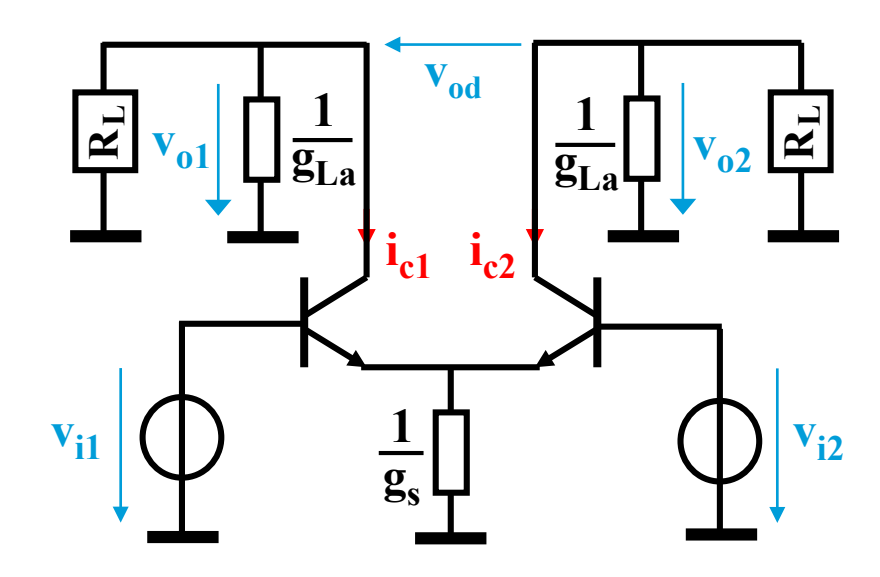


$$\mathbf{A}_{\mathbf{c}} = -\frac{\mathbf{g}_{\mathbf{s}}}{2 \cdot \mathbf{g}_{\mathbf{La}}}$$

© Le gain de mode commun augmente considérablement

CHARGE SYMÉTRIQUE AVEC DEUX SOURCES DE COURANT

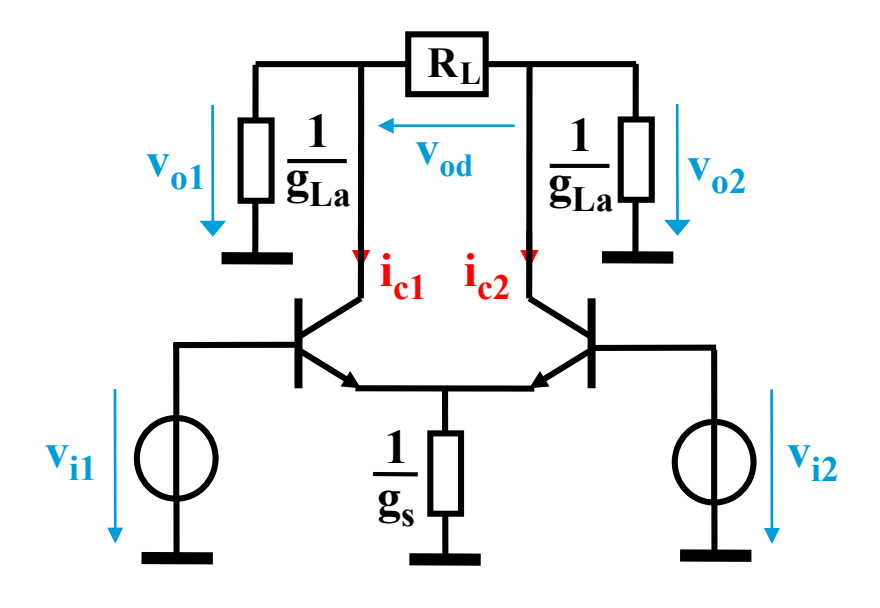
AVEC CHARGE(S) EXTÉRIEURE(S)



$$A_d = -\frac{g_m}{g_{ce} + g_{La} + 1/R_L}$$

$$A_c = -\frac{g_s}{2 \cdot (g_{La} + 1/R_L)}$$

Schémas "petits signaux"



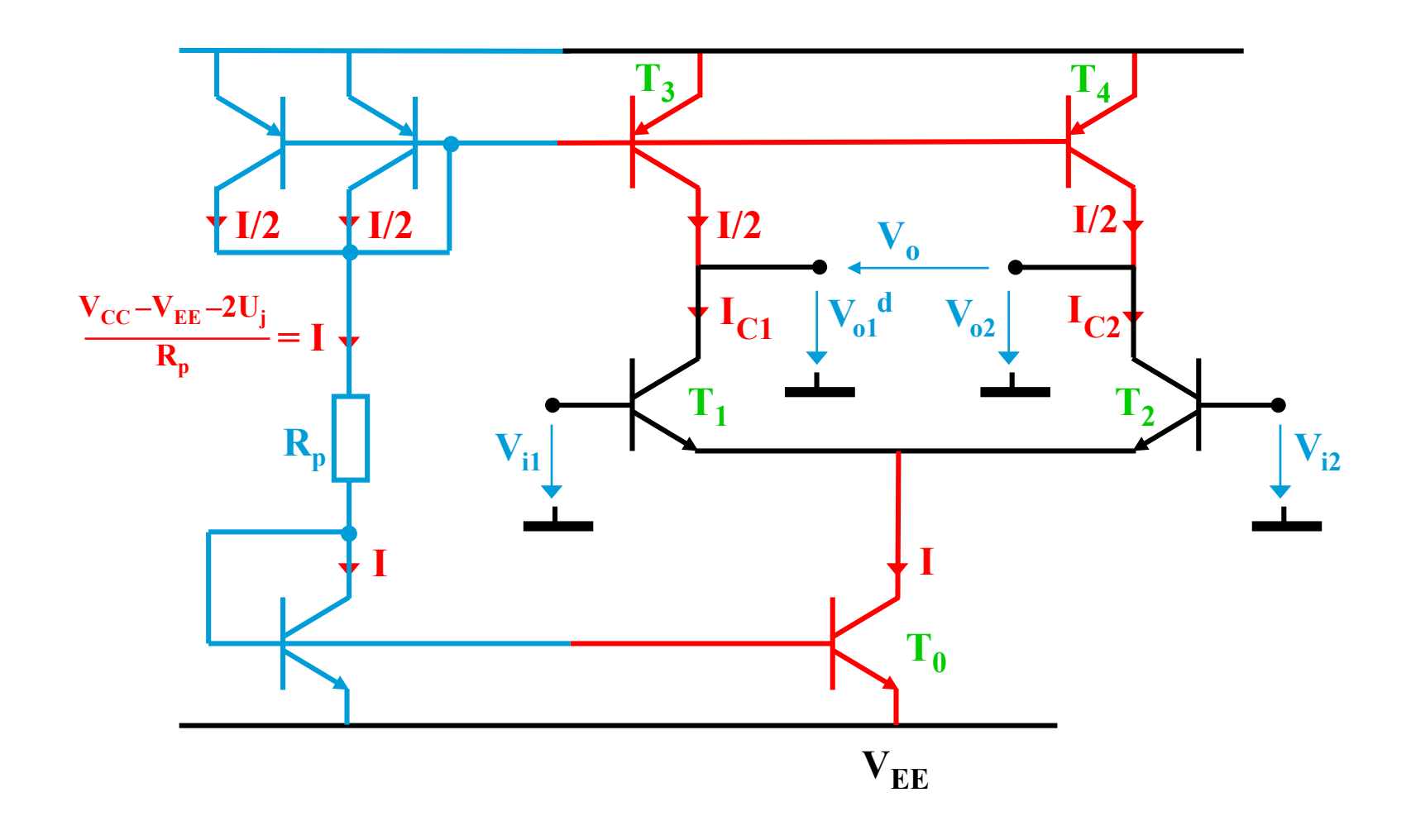
Réduit de moitié pour les sorties asymétriques

$$A_d = -\frac{g_m}{g_{ce} + g_{La} + 2/R_L}$$

$$\mathbf{A_c} = -\frac{\mathbf{g_s}}{2 \cdot \mathbf{g_{La}}}$$

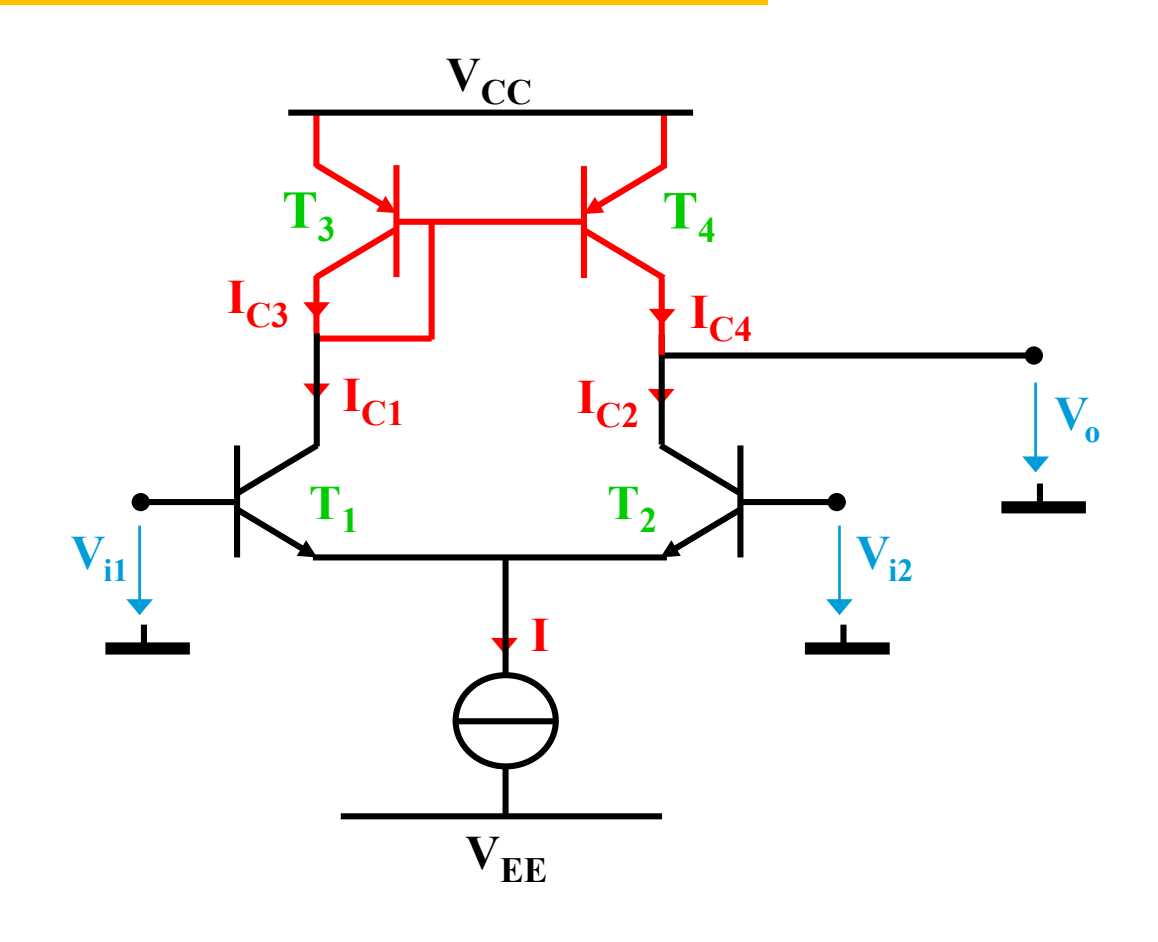
CHARGE SYMÉTRIQUE AVEC DEUX SOURCES DE COURANT

EXEMPLE DE RÉALISATION



CHARGE ASYMÉTRIQUE AVEC MIROIR DE COURANT

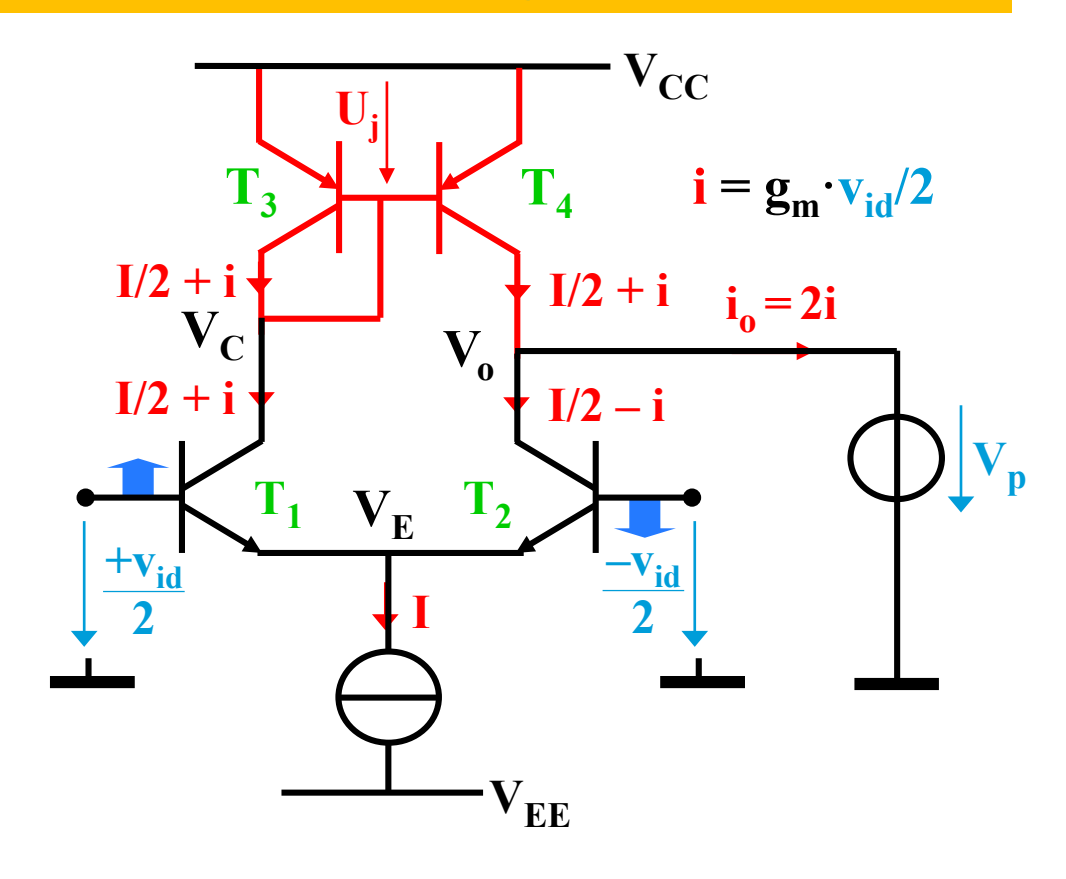
SORTIE ASYMÉTRIQUE UNIQUEMENT



Une seule sortie asymétrique!

CHARGE ASYMÉTRIQUE AVEC MIROIR DE COURANT

SORTIE ASYMÉTRIQUE EN COURANT



Sortie en court-circuit

sur un point à potentiel fixe

$$V_C = V_{CC} - U_J \approx cst$$

 $V_E \approx cst$ par symétrie
 $V_o = V_p = cst$

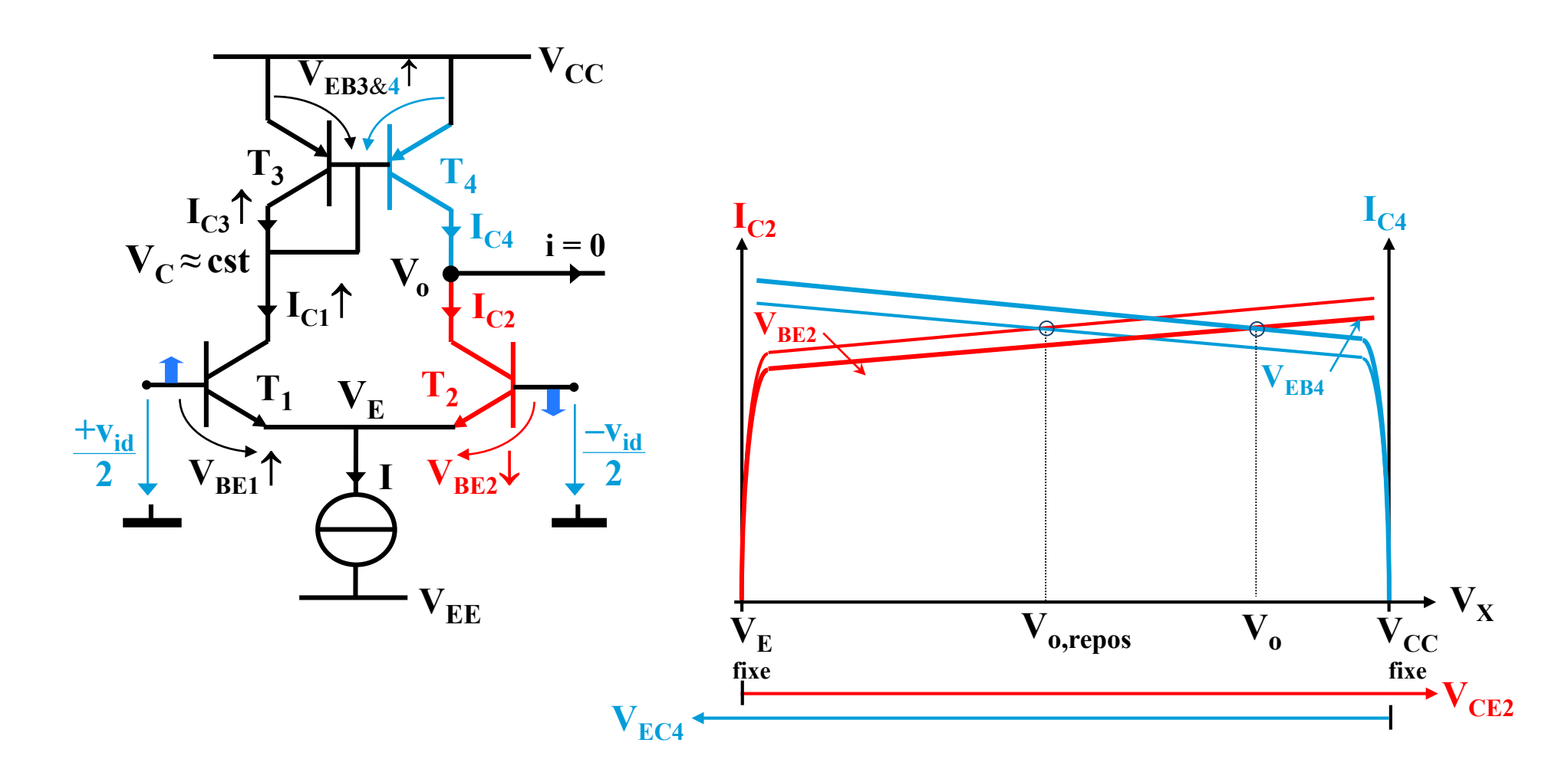
 \Rightarrow g_{ce} sans influence, les transistors se comportent en sources de courant parfaites

transconductance en court-circuit :
$$G_{md} = \frac{\mathbf{i}_0}{\mathbf{v}_{id}}\Big|_{\mathbf{v}_0 = 0} = \mathbf{g}_m = \frac{\mathbf{I}}{2 \cdot \mathbf{U}_T}$$

CHARGE ASYMÉTRIQUE AVEC MIROIR DE COURANT

SORTIE ASYMÉTRIQUE EN TENSION

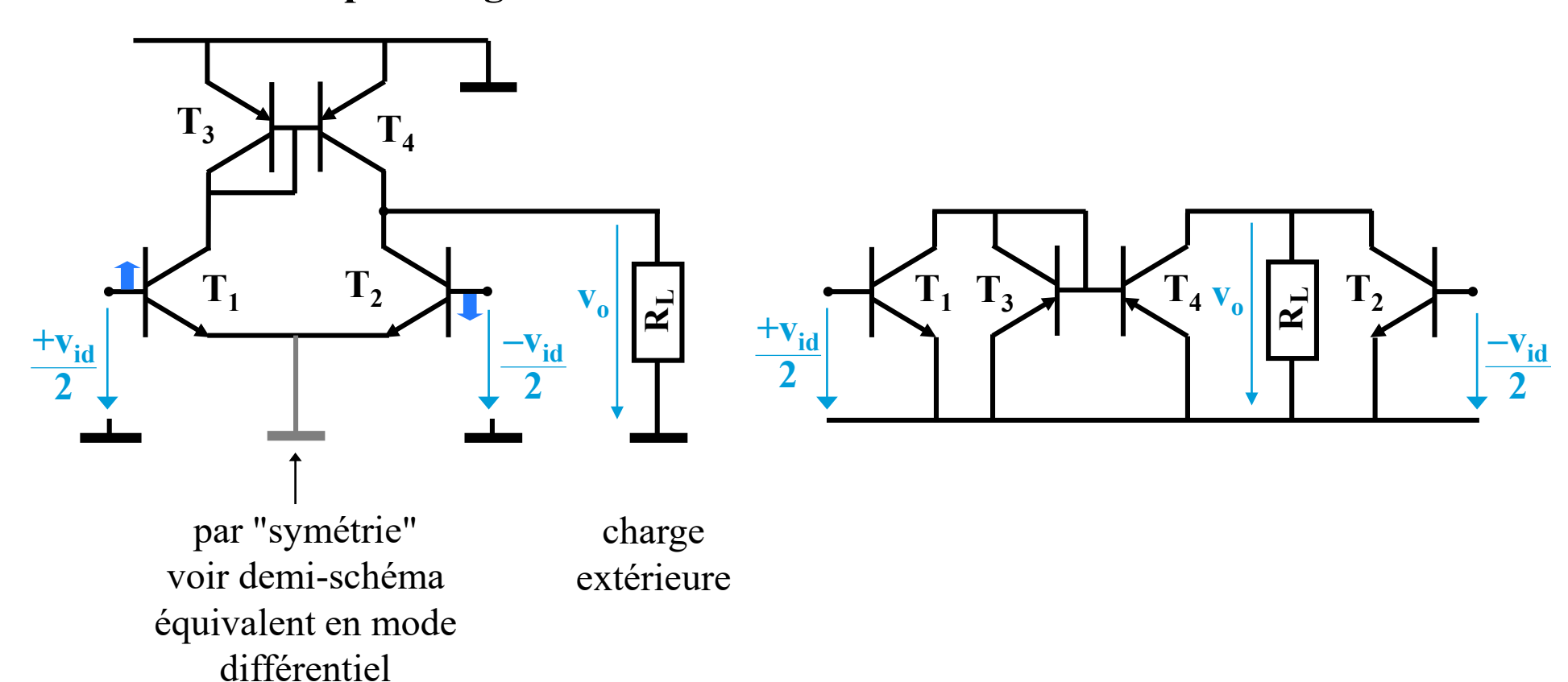
Sortie en circuit ouvert



CHARGE ASYMÉTRIQUE AVEC MIROIR DE COURANT

GAIN EN TENSION DIFFÉRENTIEL A_d (1/2)

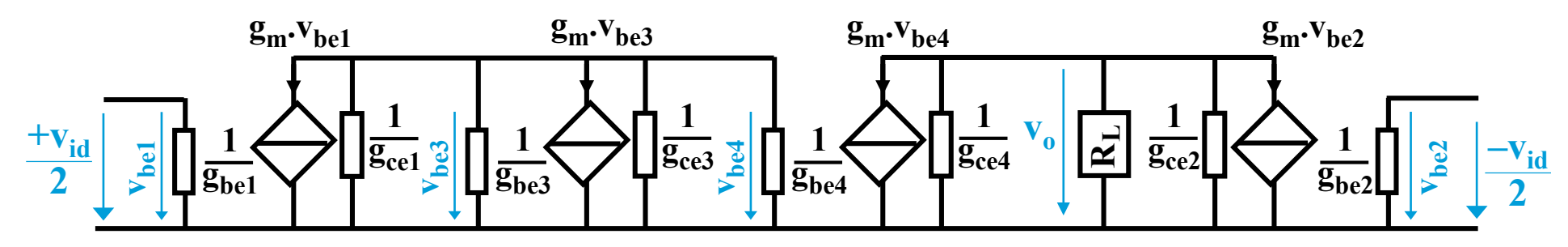
Schéma "petits signaux"



CHARGE ASYMÉTRIQUE AVEC MIROIR DE COURANT

GAIN EN TENSION DIFFÉRENTIEL A_d (2/2)

Schéma petits signaux détaillé



$$\begin{aligned} v_{be3} &= v_{be4} & \text{et} & g_m \cdot v_{be1} + g_m \cdot v_{be3} + (g_{be3} + g_{be4} + g_{ce1} + g_{ce3}) \cdot v_{be3} \approx g_m \cdot v_{be1} + g_m \cdot v_{be3} = 0 \\ &=> v_{be3} = v_{be4} = -v_{be1} = -v_{id}/2 & g_{La} \\ v_o &= -(g_m \cdot v_{be2} + g_m \cdot v_{be4})/(g_{ce2} + g_{ce4} + 1/R_L) = g_m \cdot v_{id}/(g_{ce2} + g_{ce4} + 1/R_L) \end{aligned}$$

$$A_d = \frac{V_o}{V_{id}} = \frac{g_m}{g_{ce2} + g_{La} + 1/R_L}$$

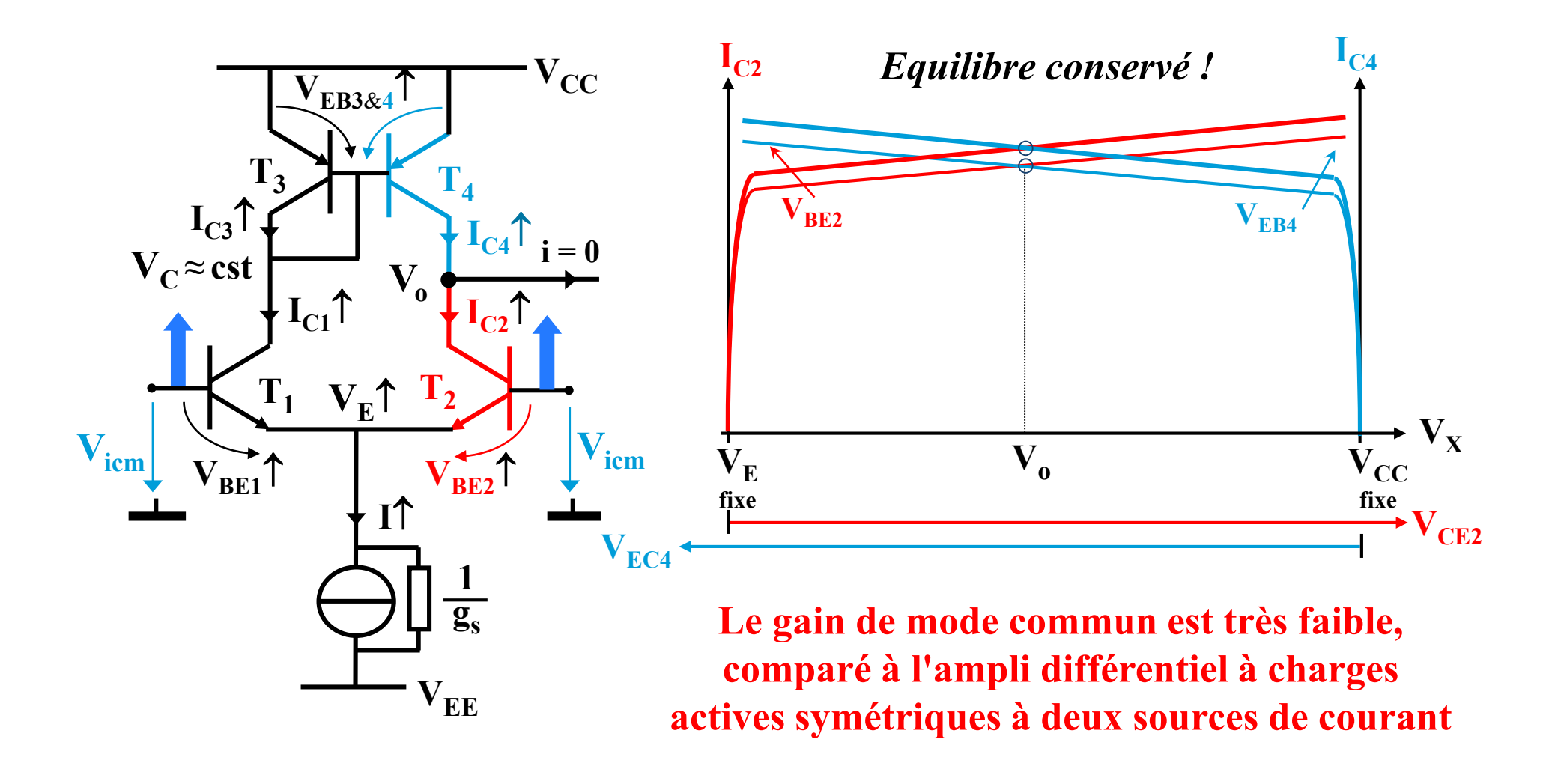
 $\mathbf{g_{La}}$ conductance de la charge active de T_2 = conductance de sortie du miroir $\mathbf{g_{ce4}}/\mathbf{\beta_{4}} < \mathbf{g_{La}} < \mathbf{g_{ce4}}$ suivant la structure du miroir

Sortie asymétrique, pour tant même A_d que pour la sortie différentielle du montage à charges symétriques par deux sources de courant!

CHARGE ASYMÉTRIQUE AVEC MIROIR DE COURANT

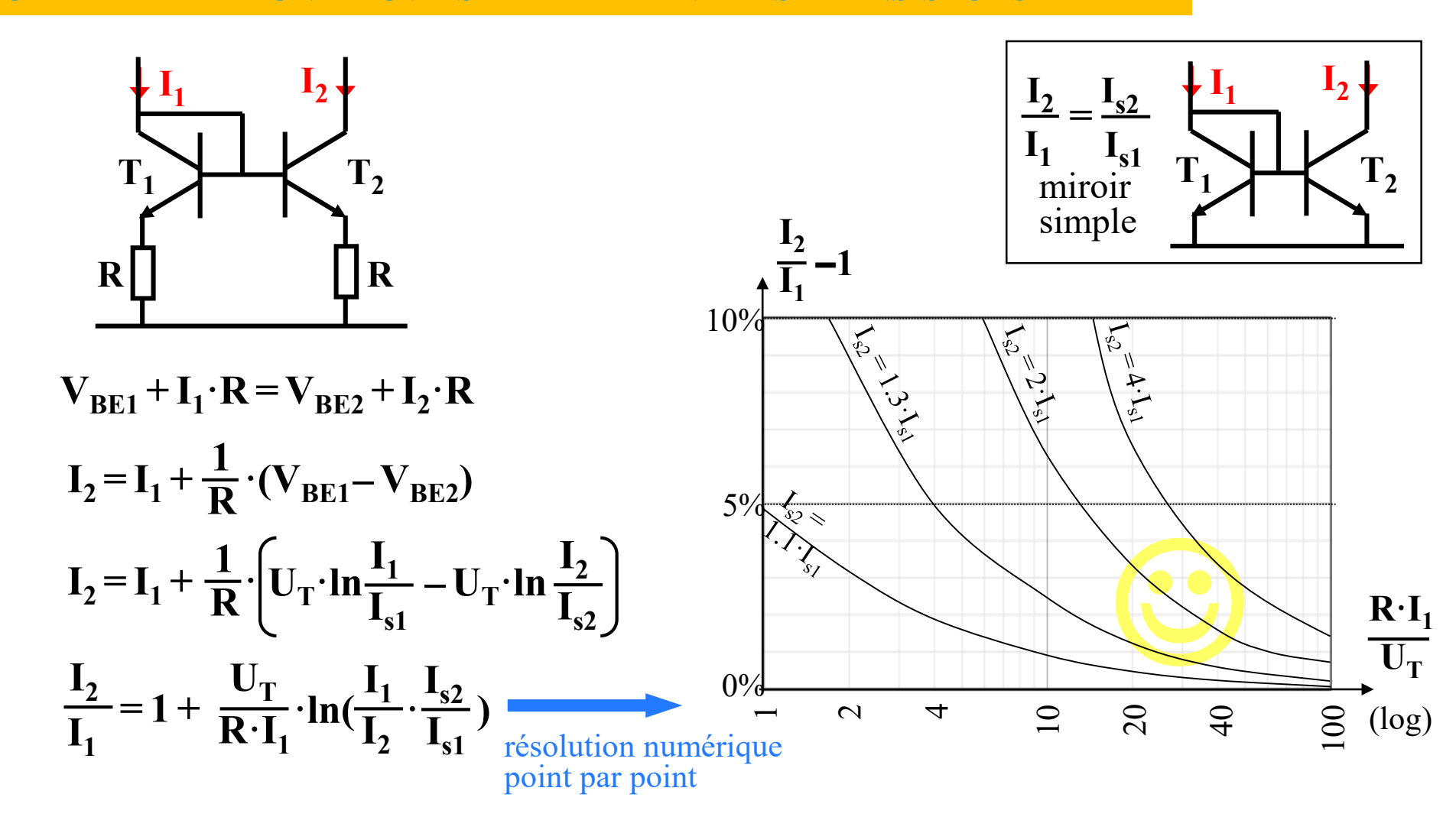
GAIN EN TENSION DE MODE COMMUNA.

Sortie en circuit ouvert



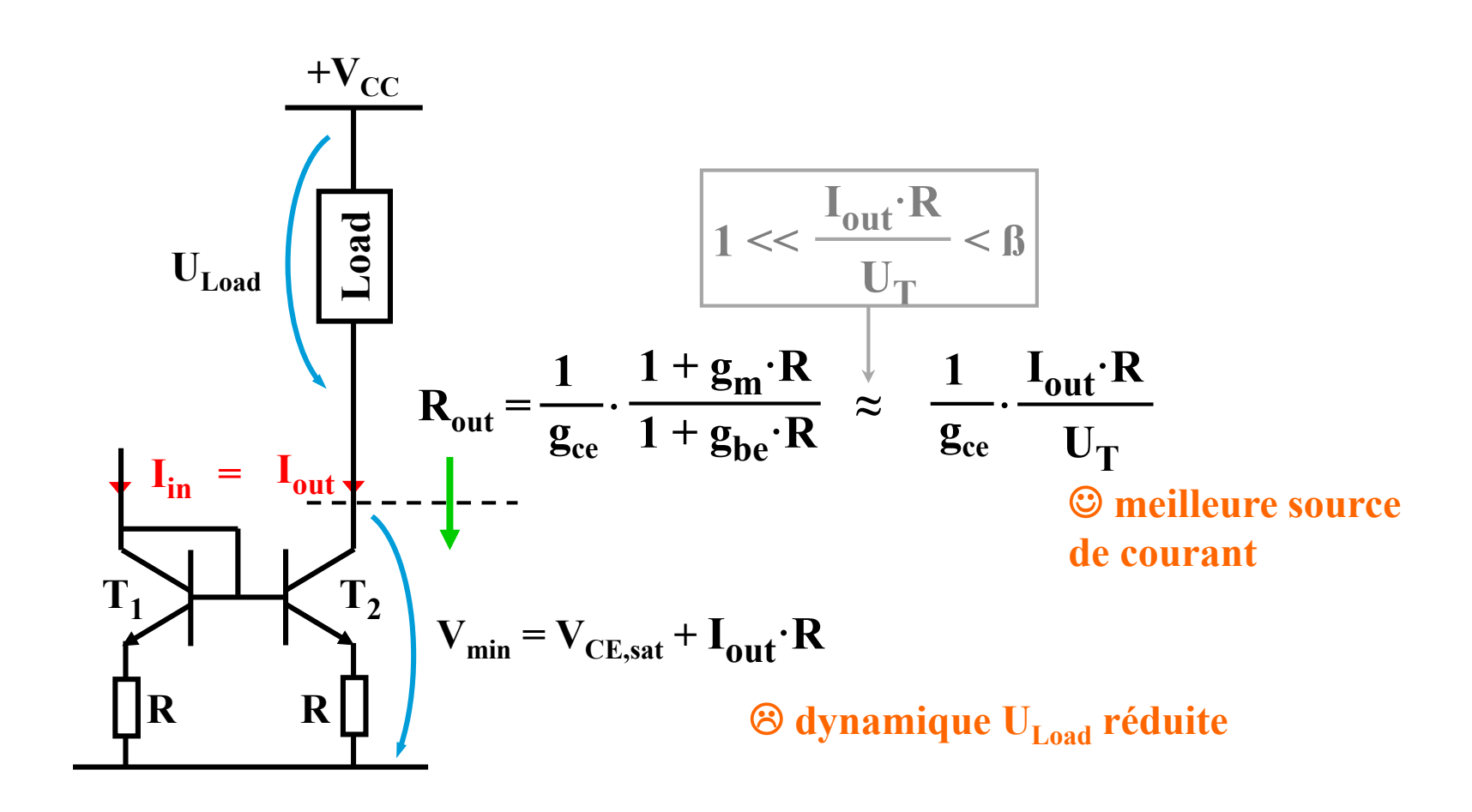
UTILISATION DE COMPOSANTS DISCRETS

AJOUT DE RÉSISTANCES D'ÉMETTEUR DANS UN MIROIR DE COURANT POUR RÉDUIRE L'EFFET D'UN MAUVAIS APPARIEMENT DES TRANSISTORS

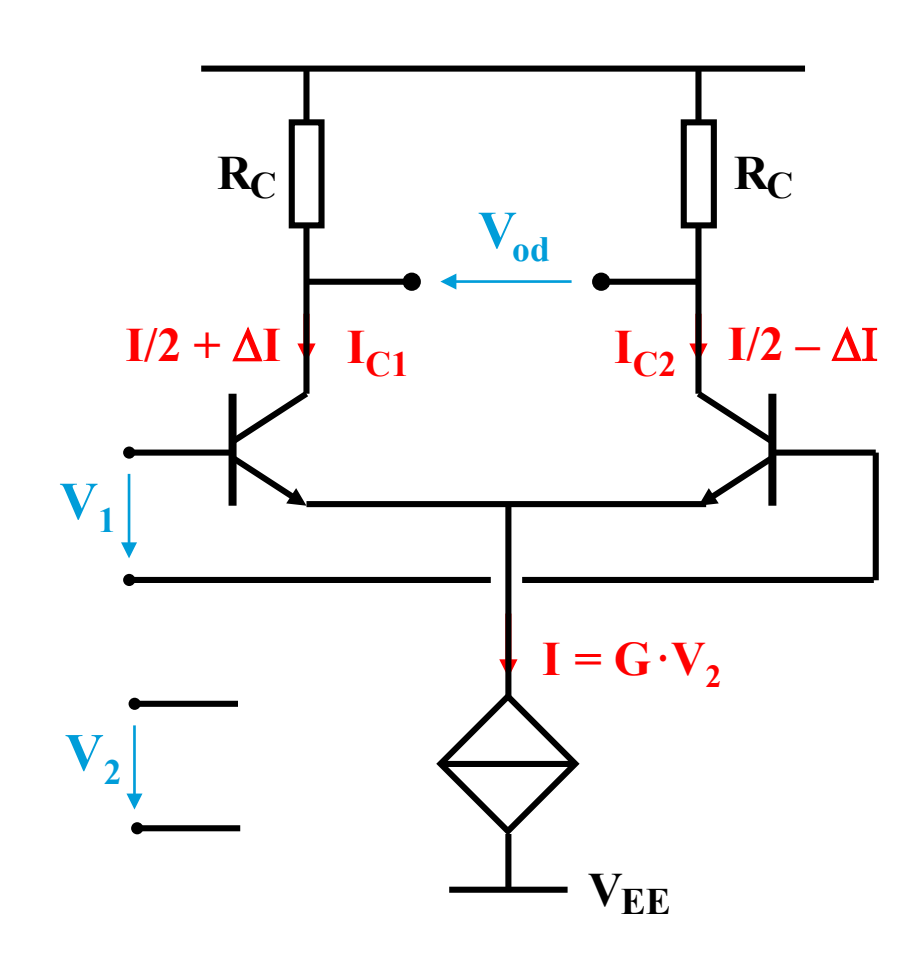


UTILISATION DE COMPOSANTS DISCRETS

AUTRES EFFETS DE L'AJOUT DE RÉSISTANCES D'ÉMETTEUR DANS UN MIROIR DE COURANT



AMPLI DIFFERENTIEL A TRANSCONDUCTANCE VARIABLE MULTIPLIEUR ANALOGIQUE "DEUX QUADRANTS"



$$V_{od} = 2 \cdot \Delta I \cdot R_C = I \cdot R_C \cdot \tanh(\frac{V_1}{2 \cdot U_T})$$

Pour $|V_1|$ < une dizaine de mV

$$\mathbf{V}_{od} = \mathbf{I} \cdot \mathbf{R}_{C} \cdot \frac{\mathbf{V}_{1}}{2 \cdot \mathbf{U}_{T}}$$

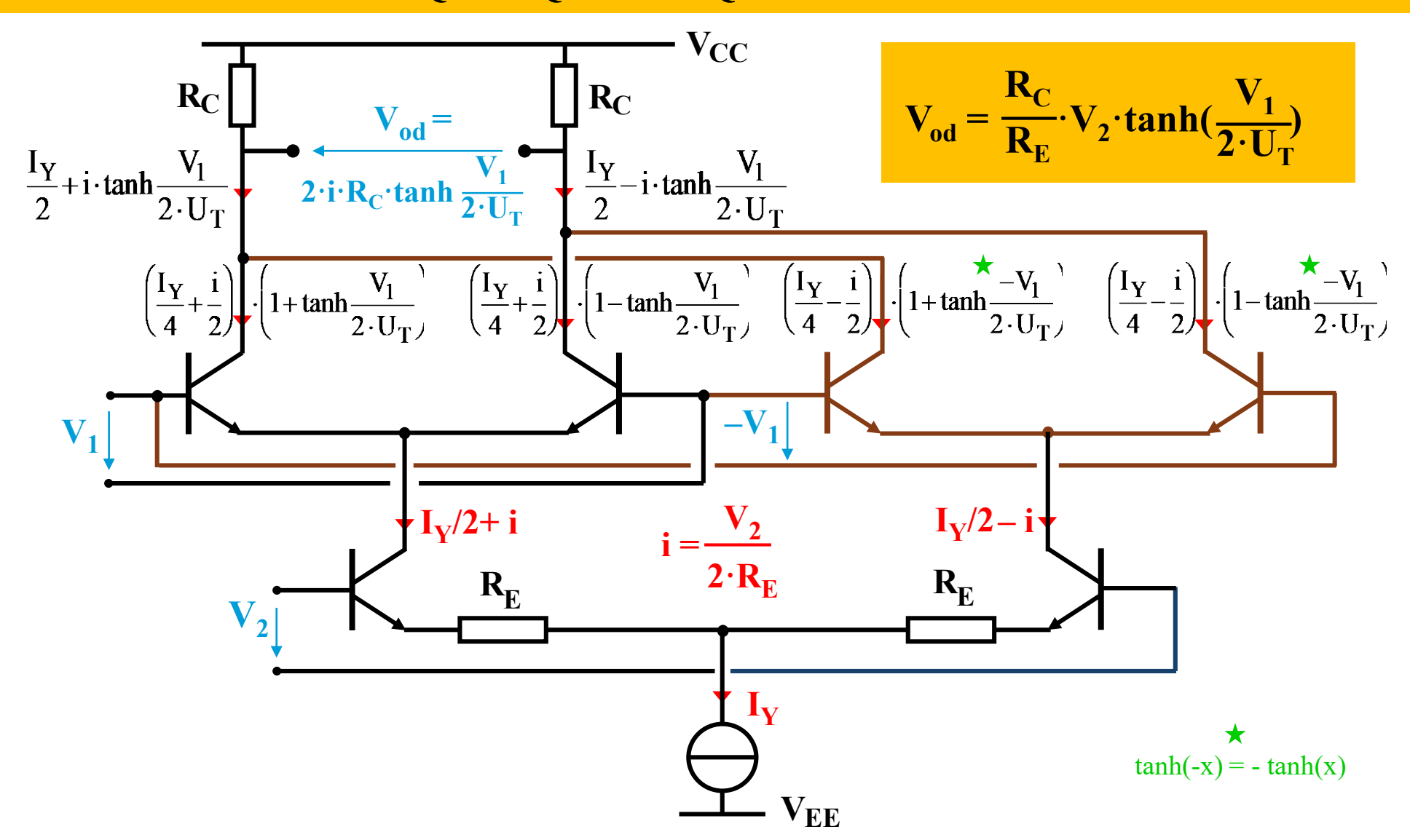
En remplaçant la source I = cst par une source commandée

$$V_{od} = G \cdot V_2 \cdot R_C \cdot \frac{V_1}{2 \cdot U_T}$$

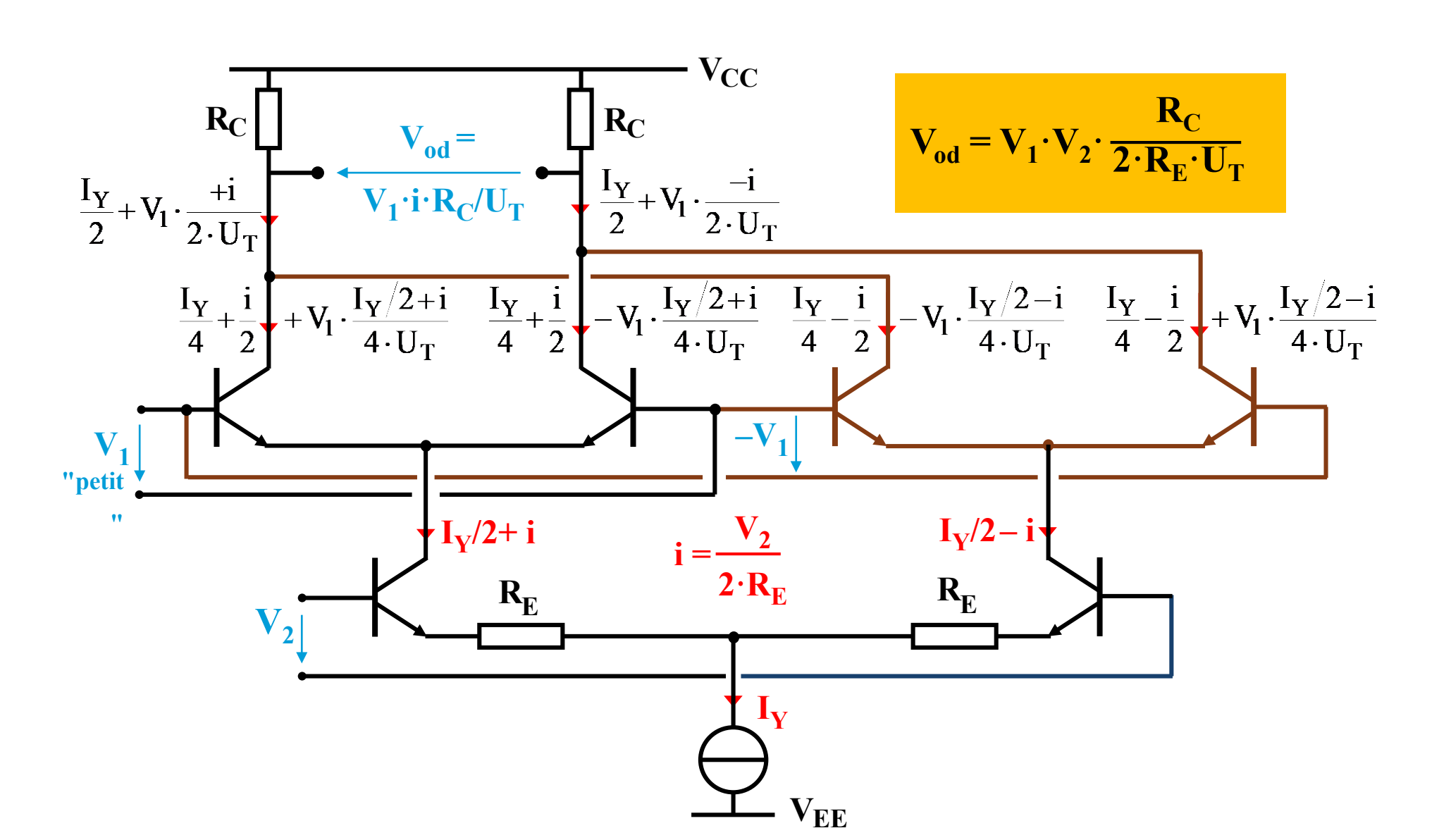
$$> 0 \implies V_2 \text{ unipolaire}$$

$$\mathbf{V}_{od} = \mathbf{V}_1 \cdot \mathbf{V}_2 \cdot \frac{\mathbf{G} \cdot \mathbf{R}_C}{2 \cdot \mathbf{U}_T}$$

MULTIPLIEUR ANALOGIQUE "QUATRE QUADRANTS" A CELLULE DE "GILBERT"



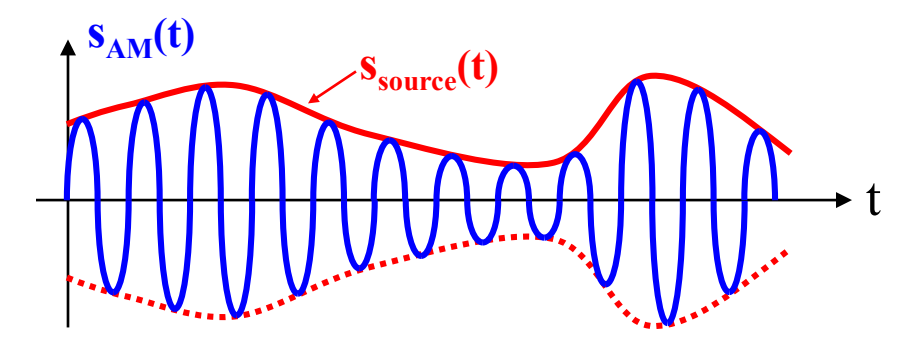
MULTIPLIEUR ANALOGIQUE "QUATRE QUADRANTS" A CELLULE DE "GILBERT"



MULTIPLIEUR ANALOGIQUE "QUATRE QUADRANTS" A CELLULE DE "GILBERT"

APPLICATIONS:

• Modulation AM: $s_{AM}(t) = s_{source}(t) \cdot sin(2\pi \cdot f_{porteuse} \cdot t)$



• Démodulation AM synchrone:

$$s_{AM}(t) \cdot \sin(2\pi \cdot f_{porteuse} \cdot t) = s_{source}(t) \cdot \sin(2\pi \cdot f_{porteuse} \cdot t) \cdot \sin(2\pi \cdot f_{porteuse} \cdot t)$$

$$= \frac{1}{2} \cdot s_{source}(t) - \frac{1}{2} \cdot s_{source}(t) \cdot \cos(2\pi \cdot 2f_{porteuse} \cdot t)$$

• Changement de fréquence:

$$\sin(2\pi \cdot \mathbf{f}_1 \cdot \mathbf{t}) \cdot \sin(2\pi \cdot \mathbf{f}_2 \cdot \mathbf{t}) = \frac{1}{2} \cdot \cos(2\pi \cdot (\mathbf{f}_2 - \mathbf{f}_1) \cdot \mathbf{t}) - \frac{1}{2} \cdot \cos(2\pi \cdot (\mathbf{f}_2 + \mathbf{f}_1) \cdot \mathbf{t})$$

• Détection de phase: $\sin(2\pi \cdot f_1 \cdot t + \phi) \cdot \sin(2\pi \cdot f_1 \cdot t) = \frac{1}{2} \cdot \cos(\phi) - \frac{1}{2} \cdot \cos(2\pi \cdot 2f_1 \cdot t)$